

UNIVERSITAT POLITÈCNICA DE CATALUNYA

Programa de Màster

AUTOMÀTICA Y ROBÒTICA

Trabajo Final de Màster

PLANIFICACIÒN Y EJECUCIÒN DE TRAYECTORIAS  
LIBRES DE SINGULARIDADES EN ROBOTS PARALELOS 3-RRR

**Alejandro Rajoy Niubó**

Directores:

Oriol Bohigas y Lluís Ros

Octubre 2015

# Planificación y ejecución de trayectorias libres de singularidades en robots paralelos 3-RRR

por Alejandro Rajoy Niubó

Este trabajo se ha presentado en la Universitat Politècnica de Catalunya para la obtención del título de Máster

Programa de Máster:  
Automática y Robótica

Este trabajo se ha realizado en el:  
Institut de Robòtica i Informàtica Industrial, CSIC-UPC

Directores:  
Oriol Bohigas y Lluís Ros

Tribunal evaluador:  
Dr. Federico Thomas Arroyo  
Dr. Ramón Costa Castelló  
Dr. Lluís Ros Giralt

La última versión de este documento se puede descargar de <http://www.iri.upc.edu/people/arajoy>.

# PLANIFICACIÓN Y EJECUCIÓN DE TRAYECTORIAS LIBRES DE SINGULARIDADES EN ROBOTS PARALELOS 3-RRR

Alejandro Rajoy Niubó

## Resumen

Este proyecto desarrolla un sistema que permite evaluar experimentalmente un método de planificación de movimientos libres de singularidades propuesto por Bohigas y col. en 2013. El sistema incluye (1) un robot paralelo 3-RRR, (2) un planificador que calcula trayectorias libres de singularidades y colisiones entre dos configuraciones dadas del robot, (3) un sistema de control que permite ejecutar las trayectorias con bajo error de posicionado, y (4) una interfaz gráfica que facilita la especificación de los problemas a resolver, así como la simulación, ejecución y análisis de las trayectorias resultantes.

Para calcular las trayectorias definimos un sistema de ecuaciones que integra todas las restricciones de exclusión de singularidades y colisiones, y exploramos el espacio solución de este sistema utilizando métodos numéricos de continuación multidimensional. La integración de todas las restricciones en un único sistema evita la utilización de detectores de colisión, permitiendo el cálculo de las trayectorias en períodos de tiempo generalmente muy breves. El proyecto describe detalladamente los subsistemas de planificación, ejecución y control, e ilustra su funcionamiento mediante un experimento práctico que abarca todo el proceso, desde la definición de las configuraciones inicial y final, hasta la síntesis, acondicionamiento, y ejecución de la trayectoria, así como la captura y análisis de los datos sensoriales del robot a lo largo de todo el movimiento. El proyecto, finalmente, identifica algunos puntos que se podrían considerar en futuras extensiones de este trabajo.



# Agradecimientos

Me gustaría agradecer a Lluís Ros su dedicación y soporte, durante la realización del máster, como profesor, y en esta última etapa, como director de este trabajo fin de máster. Sin su aportación, el resultado sería muy diferente al presentado. También quiero dar las gracias a muchas otras personas que, de un modo u otro han contribuido a este trabajo. A Oriol Bohigas, por su codirección y guía en la primera etapa. A Montserrat Manubens, por haber proporcionado la financiación necesaria, y por realizar los pasos iniciales que han permitido la realización de este proyecto. A Patrick Grosch, por el diseño, realización y ensamblaje de la elementos mecánicos, así como por dar solución a los problemas que fueron apareciendo. A Josep Maria Porta por su ayuda en la parte de planificación y filtrado de caminos. A Jordi Riera por sus clarificaciones y aportaciones en la parte de control. Y por último, pero no menos importante, a mi familia y amigos por su comprensión y apoyo.



# Índice general

<b>Resumen</b>	<b>I</b>
<b>Agradecimientos</b>	<b>III</b>
<b>Figuras</b>	<b>VII</b>
<b>1. Introducción</b>	<b>1</b>
1.1. Motivación . . . . .	1
1.2. Objetivo . . . . .	2
1.3. Alcance y asunciones . . . . .	2
1.3.1. El robot físico . . . . .	2
1.3.2. El planificador de trayectorias . . . . .	4
1.3.3. El sistema de control . . . . .	4
1.3.4. La interfaz de usuario . . . . .	5
1.4. Trabajos relacionados . . . . .	5
1.5. Estructura de la memoria . . . . .	7
<b>2. Planificación de las trayectorias</b>	<b>9</b>
2.1. Configuraciones singulares . . . . .	9
2.2. Estructura del robot 3-RRR . . . . .	12
2.3. El espacio de configuraciones . . . . .	13
2.3.1. Las restricciones de ensamblado . . . . .	14
2.3.2. Las restricciones de exclusión de singularidades . . . . .	16
2.3.3. Las restricciones de no colisión . . . . .	20
2.4. La estrategia de planificación . . . . .	22
2.4.1. Conversión de las restricciones en igualdades . . . . .	23
2.4.2. La variedad de navegación . . . . .	24
2.4.3. Búsqueda sobre la variedad . . . . .	24
2.4.4. Visualización del espacio de configuraciones . . . . .	28
2.5. Conversión de caminos en trayectorias . . . . .	33
<b>3. Ejecución y control de las trayectorias</b>	<b>37</b>
3.1. Arquitectura del sistema . . . . .	37
3.2. Elementos integrantes . . . . .	39
3.2.1. Servomotor . . . . .	39
3.2.2. Codificador angular . . . . .	40
3.2.3. Conector rotativo . . . . .	41
3.2.4. Placa Arduino . . . . .	41
3.2.5. Driver de comunicación con el servomotor . . . . .	42
3.2.6. Memoria externa . . . . .	42
3.2.7. Conversor serie-USB . . . . .	43
3.3. Conexión de los elementos integrantes . . . . .	43
3.4. Comunicación entre dispositivos . . . . .	44
3.4.1. Comunicación servomotor - Arduino . . . . .	44
3.4.2. Comunicación Arduino - Matlab . . . . .	47

---

3.5. La interfaz de usuario . . . . .	48
3.6. Control de movimientos . . . . .	51
3.6.1. Estrategia de control . . . . .	51
3.6.2. Ajuste del controlador interno . . . . .	53
3.6.3. Diseño del controlador externo . . . . .	54
<b>4. Experimentos</b>	<b>61</b>
4.1. Generación de trayectorias . . . . .	61
4.2. Ejecución de trayectorias . . . . .	64
<b>5. Conclusiones</b>	<b>71</b>
5.1. Contribuciones . . . . .	71
5.2. Posibles mejoras y trabajo futuro . . . . .	71
<b>Bibliografía</b>	<b>75</b>
<b>A. Presupuesto</b>	<b>79</b>
<b>B. Los ficheros de cálculo</b>	<b>81</b>
B.1. Ficheros para efectuar la planificación . . . . .	81
B.2. Ficheros para el cálculo de las singularidades . . . . .	87
B.2.1. Fichero para calcular las singularidades inversas . . . . .	87
B.2.2. Fichero para calcular las singularidades directas . . . . .	91
<b>C. Documentación técnica de los elementos</b>	<b>95</b>

# Lista de figuras

1.1. El robot 3- <u>RRR</u> construido . . . . .	3
1.2. El robot 2- <u>RRR</u> <i>Dextar</i> . . . . .	6
2.1. Estructura del robot paralelo 3- <u>RRR</u> . . . . .	13
2.2. Condición de clausura cinemática . . . . .	14
2.3. Dos lazos cinemáticos independientes del robot 3- <u>RRR</u> . . . . .	15
2.4. Efectos de una singularidad directa . . . . .	18
2.5. Efectos de una singularidad inversa . . . . .	19
2.6. Detección de colisiones entre eslabones distales . . . . .	21
2.7. Progresión del método de continuación basado en $A^*$ . . . . .	25
2.8. Continuación mediante árboles de expansión rápida . . . . .	27
2.9. Secciones del espacio de trabajo del robot . . . . .	29
2.10. Secciones manteniendo constante el modo de trabajo . . . . .	30
2.11. Exploración de $\mathcal{C}$ manteniendo constante el modo de trabajo . . . . .	31
2.12. Exploración de $\mathcal{C}$ liberando el modo de trabajo . . . . .	32
2.13. Obtención de la trayectoria angular . . . . .	34
3.1. Imagen del bloque mecánico . . . . .	38
3.2. Diagrama de bloques de la solución adoptada . . . . .	38
3.3. Servomotor Dynamixel MX-64T . . . . .	39
3.4. Codificador angular AVAGO AEAT-6012 . . . . .	40
3.5. Esquema de funcionamiento de un conector rotativo . . . . .	41
3.6. Esquema del driver de comunicación implementado . . . . .	42
3.7. Esquema de conexión de los elementos integrantes . . . . .	45
3.8. Interfaz de usuario implementada . . . . .	49
3.9. Ejemplo de gráfica con datos adquiridos durante la ejecución de una trayectoria . . . . .	52
3.10. Esquema de bloques del controlador de un actuador . . . . .	53
3.11. Respuesta del servomotor a diferentes parámetros en su PID interno . . . . .	54
3.12. Datos experimentales utilizados para la identificación . . . . .	55
3.13. Modelo Simulink del sistema de control de una articulación . . . . .	57
3.14. Resultados de simulación sin prealimentación de velocidad . . . . .	58
3.15. Resultados de simulación con prealimentación de velocidad . . . . .	59
4.1. Camino utilizado en el experimento . . . . .	62
4.2. Camino utilizado en el experimento, equiespaciado . . . . .	63
4.3. Posición y velocidad angular de cada punto de la trayectoria experimentada . . . . .	64
4.4. Capturas de la secuencia seguida en la ejecución de la trayectoria . . . . .	65
4.5. Camino seguido por el robot durante la ejecución de la trayectoria . . . . .	66
4.6. Datos adquiridos durante la ejecución sin control de posición . . . . .	68
4.7. Datos adquiridos durante la ejecución con control de posición . . . . .	69



# Lista de tablas

3.1. Uso de la memoria externa SRAM . . . . .	43
3.2. Comandos aceptados por el servomotor . . . . .	44
3.3. Comandos aceptados por Arduino desde Matlab . . . . .	47
A.1. Material mecánico utilizado en la construcción del robot . . . . .	79
A.2. Material eléctrico/electrónico utilizado en la construcción del robot . . . . .	80



# 1

## Introducción

### 1.1 Motivación

La Robótica se encuentra en una etapa de gran expansión. La aparición de mecanismos innovadores es continua, y es previsible que su uso se incremente notablemente en múltiples ámbitos en un futuro próximo. Ya sea en laboratorios de investigación, en medicina, o en la industria, encontramos robots paralelos, dispositivos hápticos, vehículos aéreos no tripulados, manos antropomórficas, humanoides, y otros dispositivos robóticos, realizando funciones que difícilmente podríamos haber imaginado hace unas décadas. La capacidad de ejecutar movimientos complejos de forma precisa y robusta es un aspecto clave en estas máquinas, pero el análisis y la planificación de tales movimientos no es un proceso trivial. Requiere una comprensión profunda de unas configuraciones, denominadas *singulares*, en las que el rendimiento cinetostático del sistema se reduce drásticamente. Cerca de estas configuraciones, el robot puede sufrir pérdidas de destreza o controlabilidad, y puede no ser capaz de equilibrar o regular las fuerzas que ejerce sobre el entorno. Un buen planificador de movimientos, debe mantener al robot alejado de tales configuraciones, evitando especialmente aquellas que comprometan la propia integridad del mecanismo.

Hasta hace poco, la literatura robótica no ofrecía métodos satisfactorios para planificar movimientos libres de singularidades, pero resultados recientes del grupo de Cinemática y Diseño de Robots del IRI permiten ahora tratar este problema con gran generalidad [1]. Este grupo ha desarrollado un método capaz de obtener caminos libres de singularidades en mecanismos robóticos de geometría arbitraria. Dadas dos configuraciones no singulares del mecanismo, el método permite encontrar un camino que las conecta, si éste existe, manteniendo un margen de seguridad con respecto a las singularidades en todo momento. El desarrollo teórico de este método está consolidado, pero hasta el momento sólo se ha probado en simulación. La motivación principal de este proyecto es evaluar su funcionamiento también experimentalmente.

## 1.2 Objetivo

El objetivo de este proyecto es construir un sistema robótico que permita evaluar experimentalmente el método de planificación de movimientos libres de singularidades propuesto en [1]. Para satisfacer este objetivo desarrollaremos:

1. Un robot físico que sirva para validar el método de planificación.
2. Un planificador capaz de calcular trayectorias libres de singularidades y colisiones entre dos configuraciones dadas del robot.
3. Un sistema de control que permita ejecutar las trayectorias sobre el robot, incurriendo en el menor error de trazado posible.
4. Una interfaz gráfica que facilite la especificación de los problemas de planificación a resolver, la ejecución, y el análisis de las trayectorias resultantes.

## 1.3 Alcance y asunciones

A continuación detallamos el alcance del proyecto, y las hipótesis de trabajo que se han tenido en cuenta en cada uno de los puntos anteriores.

### 1.3.1. El robot físico

Se ha optado por construir un robot 3-RRR porque su estructura mecánica es lo suficientemente sencilla (Fig. 1.1 y Sección 2.2), a la vez que presenta singularidades de gran complejidad (Capítulo 2). La planificación de movimientos libres de singularidades en este tipo de robots es, de hecho, un problema abierto de la cinemática computacional, lo cual supone un reto sustancial para este proyecto.

La construcción del robot incluye el diseño y montaje de su esqueleto mecánico, la selección e instalación de los sensores y actuadores, y la implementación de toda la electrónica y los algoritmos asociados para la adquisición de señales y ejecución de instrucciones. La financiación disponible para esta construcción ha sido limitada, motivo por el cual se han centrado los esfuerzos en obtener un prototipo de bajo coste que sea suficiente para las necesidades del proyecto. Los gastos de construcción se han sufragado mediante fondos del proyecto intramural CSIC “CUIK-IT: Un sistema modular para el análisis cinemático y la construcción de manipuladores planares”, del Instituto de Robótica e Informática Industrial.



Figura 1.1: El robot 3-RRR construido.

Para la construcción del robot físico se ha contado con el apoyo del Servicio de Diseño Mecatrónico del IRI. El desarrollo del esqueleto mecánico ha ido a cargo de este servicio íntegramente, incluyendo su diseño, la selección de materiales y elementos mecánicos, la impresión estereolitográfica de varias piezas, y el montaje y ensamblado final. Los aspectos electrónicos o electromecánicos del robot, en cambio, se han resuelto íntegramente como parte de este

trabajo fin de máster. Éstos incluyen la selección, conexión y programación de los sensores, los actuadores, los elementos de transmisión de señales, y las placas de control utilizadas.

### 1.3.2. El planificador de trayectorias

El planificador debe generar trayectorias libres de singularidades. En un robot paralelo existen, en general, dos tipos de singularidades: las directas, que dan lugar a pérdidas de control y/o incapacidad para soportar fuerzas externas, y las inversas, que implican una pérdida de destreza en el efector final. El sistema desarrollado se ha centrado en evitar sólo las primeras porque son, en primera instancia, las perjudiciales para el robot. Como se explica en la Sección 2.3.2, el segundo tipo de singularidades también se podría evitar si se quisiera, implicando pocas modificaciones en el planificador desarrollado.

El planificador, además, debe evitar configuraciones en las que el robot entre en colisión consigo mismo. Aunque por simplicidad no se han tratado las colisiones del robot con su entorno, éstas se podrían incorporar siguiendo las indicaciones dadas en la Sección 2.4.3.

Utilizaremos la estrategia de planificación descrita en [1], con algunas mejoras tomadas de [2], ya que el propósito de este trabajo es verificar el funcionamiento de esta estrategia experimentalmente. La estrategia es aplicable a robots de geometría arbitraria, pero los programas sólo se prepararan para calcular trayectorias en el caso del robot 3-RRR construido. El tratamiento de robots con estructuras alternativas requeriría generalizar aspectos como la obtención del sistema de ecuaciones, la consideración de colisiones, o la visualización de resultados, quedando todo ello fuera del ámbito de este trabajo.

### 1.3.3. El sistema de control

Para simplificar el proyecto, se asumirá que los actuadores del robot se mueven con velocidades y aceleraciones bajas. Puesto que el robot se mantendrá alejado de singularidades directas, sus eslabones se moverán, normalmente, con velocidades y aceleraciones también bajas. Por tanto, las fuerzas de inercia del mecanismo se podrán considerar bajas o despreciables, y asimilables a perturbaciones que el sistema de control debe de poder compensar.

El robot se construirá mediante elementos ligeros, y en la mayoría de casos trabajará en un plano horizontal, haciendo que las fuerzas gravitatorias debidas al peso de los elementos sean también bajas o despreciables.

Estas hipótesis simplifican el diseño y sintonización del sistema de control, haciendo que un esquema de control articular independiente sea suficiente para seguir las trayectorias planificadas [3] con errores aceptables.

### 1.3.4. La interfaz de usuario

Para facilitar el desarrollo del sistema, y su mantenimiento futuro, la interfaz de usuario se implementará en Matlab, al ser éste un lenguaje de programación de alto nivel muy extendido en ingeniería, y con amplio soporte a largo plazo. Esta interfaz dispondrá de funcionalidad para:

1. Permitir una fácil especificación de las configuraciones inicial y final del robot, así como de eventuales puntos de paso intermedios requeridos.
2. Calcular una trayectoria factible que una las configuraciones especificadas.
3. Simular la ejecución de la trayectoria sobre un modelo gráfico del robot.
4. Ejecutar la trayectoria sobre el robot físico.
5. Interpretar el movimiento del robot, visualizando su evolución en pantalla, al tiempo que se grafican el espacio de trabajo y las singularidades presentes en él.
6. Guardar trayectorias o cargar otras previamente planificadas.
7. Graficar todos los datos necesarios para evaluar el funcionamiento del robot durante la ejecución de las trayectorias, incluyendo las consignas de posición y velocidad angular, las respuestas medidas por los sensores, y los errores asociados en función del tiempo.

## 1.4 Trabajos relacionados

La planificación de movimientos es un aspecto central en la robótica [4–6], y existen numerosas estrategias para llevarla a cabo, incluso en robots de geometría general [7–12]. Hasta la fecha, sin embargo, la mayoría de trabajos ha omitido el tratamiento de las configuraciones singulares, un aspecto que resulta clave cuando existen cadenas cinemáticas cerradas en el mecanismo [13, 14]. Si bien es cierto que hay estrategias para atravesar estas configuraciones [15, 16], éstas recurren a la inercia del mecanismo, y no garantizan la precisión de posicionado ni la equilibrabilidad de las fuerzas soportadas cerca de una singularidad. Lo aconsejable, por tanto, es mantener al robot alejado de estas configuraciones, evitando así pérdidas de rigidez, o demandas de par motor inasumibles. En los manipuladores comerciales, esto se consigue imponiendo límites articulares que excluyan la presencia de singularidades, y asumiendo, en contrapartida, reducciones drásticas del espacio de trabajo. El uso de un planificador como el presentado en este proyecto, en cambio, permite trabajar con el rango completo de movimientos posibles, circunvalando las singularidades como si de obstáculos físicos se tratara.



Figura 1.2: El robot 2-RRR *Dexter*.

Dejando de lado los estudios que se centran en la evasión de singularidades en tiempo real [17–19], que tienen un propósito distinto, los pocos algoritmos que permiten planificar trayectorias libres de singularidades se basan en la deformación de caminos paramétricos [20, 21], la resolución de ecuaciones diferenciales sujetas a condiciones de contorno [22], o el tratamiento del conjunto singular como un obstáculo explícitamente representado [23]. Estas estrategias funcionan bien en situaciones favorables, pero [20] y [22] mencionan limitaciones relativas al cálculo de las trayectorias en algunos casos, y el método en [23] es computacionalmente intensivo, porque requiere obtener aproximaciones politópicas del conjunto singular. De un modo u otro, además, en [20–23] se utilizan parametrizaciones explícitas del espacio de configuraciones, lo cual dificulta extender estos métodos para tratar manipuladores con una geometría distinta de la asumida. El método utilizado en este proyecto, en cambio, no recurre a tales parametrizaciones, y es aplicable a manipuladores no redundantes de geometría general. En contraste con [23], además, trata las singularidades implícitamente, no explícitamente como obstáculos, dando lugar a tiempos de cálculo muy reducidos.

De entre los anteriores trabajos, el más relacionado con este proyecto es el llevado a cabo por Bonev. y col. sobre el robot *Dexter* (Fig. 1.2 y todo su sistema de planificación [21]). Este robot presenta similitudes con respecto a nuestro robot 3-RRR. Ambos manipuladores son paralelos, utilizan patas de estructura RRR, y presentan singularidades directas e inversas, evitándose sólo las primeras en los movimientos planificados. *Dexter* posee un eficaz planificador capaz de calcu-

lar trayectorias de tiempo mínimo entre configuraciones dadas, y tanto su diseño mecatrónico, como su funcionamiento dinámico son excelentes, hasta el punto de haber dado lugar a una versión comercial de todo el sistema [24], orientado especialmente al entorno académico.

El robot *Dextar*, sin embargo, sólo posee dos actuadores, lo cual permite controlar la posición Cartesiana de su efector final, pero no su orientación. Esto simplifica notablemente su espacio de configuraciones y facilita una rápida planificación de sus movimientos explotando su estructura mecánica específica. Nuestro robot 3-RRR se encuentra aún en una fase de prototipo, pero supone un avance con respecto a *Dextar* en tanto que la orientación del efector sí se puede controlar, y su planificador, como ya se ha explicado, es aplicable a mecanismos de estructura general.

## 1.5 Estructura de la memoria

El resto de la memoria sigue la siguiente estructura.

- En el capítulo 2 explicamos el método de planificación de trayectorias empleado. Un aspecto interesante del enfoque utilizado es que se basa en la continuación numérica del espacio solución de un sistema de ecuaciones que incluye, solamente, las configuraciones no singulares y libres de colisión del robot. Al navegar por este espacio, las singularidades y colisiones se evitan de manera natural, sin tener que recurrir a los costosos tests de factibilidad comúnmente utilizados por los planificadores clásicos.
- En el capítulo 3 vemos los elementos necesarios para la ejecución de trayectorias en el robot 3-RRR desarrollado, haciendo énfasis en la función que desempeña cada componente, y el modo en el que interactúan entre sí. También exponemos la estrategia de control adoptada, así como los métodos seguidos para su ajuste.
- En el capítulo 4 mostramos un ejemplo de planificación y ejecución sobre el sistema desarrollado, viendo los resultados de un problema de planificación concreto. Analizamos el camino planificado, su posterior suavizado, la generación de la trayectoria factible a partir del camino, su ejecución, y todos los datos proporcionados por los sensores del robot a lo largo de la trayectoria para valorar la eficacia del sistema de control.
- En el capítulo 5 describimos las principales conclusiones de este proyecto, y enumeramos un conjunto de puntos que dan pie a trabajo futuro.

La memoria contiene también tres anexos: el presupuesto del proyecto, los ficheros de cálculo utilizados y la documentación técnica de los elementos montados en el robot. Finalmente, en un CD adjunto, se incluye el código íntegro de los programas implementados.



# 2

## Planificación de las trayectorias

En este capítulo veremos cómo se pueden planificar trayectorias libres de singularidades en un robot 3-RRR. Comenzaremos caracterizando los dos grandes tipos de singularidades que afectan el comportamiento de un robot paralelo genérico (las singularidades directas e inversas) y viendo cuál es su relación con los fenómenos de pérdida de control y de destreza mencionados en el capítulo anterior. A continuación presentaremos la estructura particular del robot 3-RRR, y formularemos un sistema de ecuaciones que define su espacio de configuraciones “factibles”, es decir, aquellas que no dan lugar a una singularidad, ni a colisiones del robot consigo mismo. Finalmente, explicaremos el método adoptado para planificar trayectorias dentro de este espacio, basado en técnicas numéricas de continuación multidimensional.

### 2.1 Configuraciones singulares

La configuración de un mecanismo robótico se puede describir mediante un vector  $\mathbf{q}$  de  $n_q$  coordenadas generalizadas, el cual determina la orientación y posición de todos sus eslabones en un determinado instante de tiempo. Existe total libertad en la elección de la forma y dimensión de  $\mathbf{q}$ , pero debe describir una y sólo una configuración. Llamamos *espacio de configuraciones* de un mecanismo al conjunto  $\mathcal{C}$  de todas las configuraciones que éste puede adoptar.

Los movimientos instantáneos de un mecanismo en una configuración  $\mathbf{q}$  se pueden caracterizar mediante un sistema de ecuaciones lineales,

$$\mathbf{L} \mathbf{m} = \mathbf{0} \tag{2.1}$$

donde  $\mathbf{L}$  es una matriz que depende de  $\mathbf{q}$ , y  $\mathbf{m}$  es el *vector velocidad*, el cual contiene suficientes coordenadas como para calcular la velocidad de cualquier punto del mecanismo [25]. En general

el vector  $\mathbf{m}$  toma la forma

$$\mathbf{m} = \begin{bmatrix} \mathbf{m}_v \\ \mathbf{m}_u \\ \mathbf{m}_p \end{bmatrix}$$

donde  $\mathbf{m}_v$ ,  $\mathbf{m}_u$ , y  $\mathbf{m}_p$  engloban las coordenadas de la velocidad de entrada (relativas a los grados de libertad actuados), las de la salida (relativas al efector final) y pasivas (las restantes coordenadas de velocidad) respectivamente. La Ec. (2.1) se puede obtener de diversas maneras, bien derivando las ecuaciones que definen  $\mathcal{C}$  con respecto del tiempo, bien planteándolas directamente mediante la Teoría de Torsores.<sup>1</sup> En cualquier caso, por el hecho de que  $\mathbf{m}$  caracteriza completamente el estado de velocidad, esta ecuación permite hacer un estudio exhaustivo de todas las singularidades del mecanismo [13, 14, 26, 27].

Las singularidades de un mecanismo robótico aparecen en situaciones donde el problema cinemático instantáneo directo, o bien el inverso, son irresolubles o de solución indeterminada.

Recordemos que:

- El problema cinemático instantáneo directo consiste en encontrar  $\mathbf{m}$ , cuando la velocidad de entrada  $\mathbf{m}_v$  es conocida.
- El problema cinemático instantáneo inverso consiste en encontrar  $\mathbf{m}$ , cuando la velocidad de salida  $\mathbf{m}_u$  es conocida.

Para definir los dos grandes grupos de singularidades con que se encuentra un robot, consideramos las particiones

$$\mathbf{m} = \begin{bmatrix} \mathbf{m}_v \\ \mathbf{m}_y \end{bmatrix}, \quad \mathbf{m} = \begin{bmatrix} \mathbf{m}_u \\ \mathbf{m}_z \end{bmatrix},$$

donde  $\mathbf{m}_y$  y  $\mathbf{m}_z$  proporcionan las velocidades restantes en  $\mathbf{m}$  tras la eliminación de  $\mathbf{m}_v$  y  $\mathbf{m}_u$ , respectivamente. De la misma manera, consideramos las particiones de  $\mathbf{L}$

$$\mathbf{L} = \begin{bmatrix} \mathbf{L}_v & \mathbf{L}_y \end{bmatrix}, \quad \mathbf{L} = \begin{bmatrix} \mathbf{L}_u & \mathbf{L}_z \end{bmatrix}.$$

Podemos ahora escribir la Ec. (2.1) de las dos siguientes formas

$$\mathbf{L}_v \mathbf{m}_v + \mathbf{L}_y \mathbf{m}_y = \mathbf{0}, \quad (2.2)$$

$$\mathbf{L}_u \mathbf{m}_u + \mathbf{L}_z \mathbf{m}_z = \mathbf{0}. \quad (2.3)$$

<sup>1</sup>Screw Theory en inglés.

Como se asume que el mecanismo no es redundante, tanto  $\mathbf{m}_v$  como  $\mathbf{m}_u$  contienen  $n$  coordenadas de velocidad, donde  $n$  es la dimensión de  $\mathcal{C}$ . En particular, el número de columnas de  $\mathbf{L}$  excede su número de filas en exactamente  $n$ , y, por tanto, las matrices  $\mathbf{L}_y$  y  $\mathbf{L}_z$  son de dimensión  $n \times n$ . Así pues, a partir de las ecuaciones anteriores, para configuraciones en las que  $\mathbf{L}_y$  y  $\mathbf{L}_z$  sean no singulares, podemos escribir

$$\begin{aligned}\mathbf{m}_y &= -\mathbf{L}_y^{-1} \mathbf{L}_v \mathbf{m}_v, \\ \mathbf{m}_z &= -\mathbf{L}_z^{-1} \mathbf{L}_u \mathbf{m}_u,\end{aligned}$$

que proporcionan la solución a los problemas cinemáticos instantáneos directo e inverso del mecanismo.

Se dice que una configuración  $\mathbf{q}$  es una *singularidad directa* cuando la matriz  $\mathbf{L}_y$  evaluada en  $\mathbf{q}$  es singular. De forma análoga,  $\mathbf{q}$  es una *singularidad inversa* cuando  $\mathbf{L}_z$  evaluada en  $\mathbf{q}$  es singular.

Observemos los dos siguientes fenómenos que se producen en una singularidad directa. Por un lado, de la Ec. (2.2) vemos que si en una singularidad directa la velocidad de los actuadores  $\mathbf{m}_v$  es nula, el mecanismo aún puede adoptar infinitas velocidades porque la ecuación queda reducida al sistema homogéneo  $\mathbf{L}_y \mathbf{m}_y = \mathbf{0}$ , y  $\mathbf{L}_y$  es de rango deficiente. Por otro lado, la Ec. (2.2) se puede reescribir como  $\mathbf{L}_y \mathbf{m}_y = \mathbf{b}$ , donde  $\mathbf{b} = -\mathbf{L}_v \mathbf{m}_v$ . Fijémonos que cuando  $\mathbf{L}_y$  es singular, si  $\mathbf{m}_v$  es no nulo,  $\mathbf{b} \neq \mathbf{0}$  en general, y el sistema sólo será resoluble si  $\mathbf{b}$  pertenece al espacio imagen de  $\mathbf{L}_y$ . Al ser  $\mathbf{L}_y$  singular, sin embargo, este espacio será de dimensión inferior a  $n$ , y por tanto, en una singularidad directa, un valor arbitrario del vector  $\mathbf{m}_v$  difícilmente corresponderá a una velocidad factible del mecanismo.

Ambos fenómenos se pueden observar en la práctica. Al pasar por una singularidad directa, el mecanismo pierde rigidez (primer fenómeno), y puede incluso romperse porque su velocidad es raramente compatible con la disposición de los enlaces cinemáticos (segundo fenómeno).

Se puede hacer un análisis similar con la Ec. (2.3), y concluir que en una singularidad inversa, si bloqueamos el efector final (fijamos  $\mathbf{m}_u = \mathbf{0}$ ), el mecanismo no es rígido, y no todas las velocidades de salida  $\mathbf{m}_v$  son posibles, con lo cual el mecanismo experimenta una pérdida de destreza en su efector final. Es decir, el espacio de pequeños desplazamientos que este efector puede realizar pasa a ser de dimensión inferior.

A la hora de planificar los movimientos del mecanismo, es prioritario evitar las singularidades directas, porque son aquellas que pueden dañar más el mecanismo y conducen a una pérdida de control de su movimiento. En determinadas aplicaciones se querrá además evitar el paso por singularidades inversas, para mantener una destreza máxima a lo largo de toda la trayectoria, y poder así corregir errores de pose del efector en cualquier dirección.

## 2.2 Estructura del robot 3-RRR

El mecanismo 3-RRR consta de una plataforma triangular móvil unida mediante tres patas a un soporte o base. Cada pata es una cadena cinemática formada por tres articulaciones de revolución - una actuada y dos pasivas - y dos eslabones (Fig. 2.1). Los actuadores de este mecanismo están montados en las articulaciones de la base,  $J_{1,1}$ ,  $J_{1,2}$ , y  $J_{1,3}$ , de aquí el carácter subrayado en la denominación 3-RRR. Variando los ángulos girados en estas tres articulaciones, conseguimos controlar la posición y orientación de la plataforma triangular. Al actuar la plataforma mediante las tres patas en paralelo, el robot exhibe una mayor rigidez que la de un brazo serie triactuado estándar, lo cual lo hace especialmente efectivo en aplicaciones que requieran una mayor precisión de posicionado.

Nombraremos las diversas articulaciones y eslabones del mecanismo como se indica en la Fig. 2.1. Los eslabones 2, 3 y 4 reciben el nombre de eslabones *proximales*, y los 5, 6 y 7, eslabones *distales*. El eslabón 1 coincide con la base anclada al suelo y el 8 con el triángulo móvil, que actúa como *efector final*.

En el prototipo desarrollado para este proyecto, las coordenadas de las articulaciones de la base en el sistema de referencia absoluto  $OXY$  de la Fig. 2.1 son, en centímetros:

$$\begin{aligned} J_{1,1} &= (0, 0), \\ J_{1,2} &= (23.5, 0), \\ J_{1,3} &= (11.75, 20.35). \end{aligned}$$

Los eslabones proximales de cada pata tienen una longitud de  $l_1 = 10$  cm, los distales de  $l_2 = 13.5$  cm y los lados del triángulo equilátero móvil  $l_3 = 12$  cm.

A cada eslabón  $k$  del robot se le asigna un sistema de referencia relativo  $\mathcal{F}_k$ . La Fig. 2.1 muestra en rojo el eje  $x$  de cada uno de estos sistemas de referencia. La orientación del eslabón  $k$  viene dada por el ángulo  $\theta_k$  que forma el eje  $x$  de su sistema de referencia  $\mathcal{F}_k$  con el eje  $x$  del sistema de referencia global  $OXY$ .

En todo el proyecto, para determinar la pose del efector final se utilizarán las coordenadas del baricentro  $P$  del triángulo móvil (Fig. 2.1), y el ángulo  $\theta_8$  de este triángulo. Así mismo, utilizaremos la notación

$$(x_{j,i}^k, y_{j,i}^k)$$

para referirnos a las coordenadas de la articulación  $J_{j,i}$  en el sistema de referencia  $\mathcal{F}_k$ . Cuando estas coordenadas estén referidas al sistema de referencia global  $OXY$ , no se especificará el superíndice  $k$ .

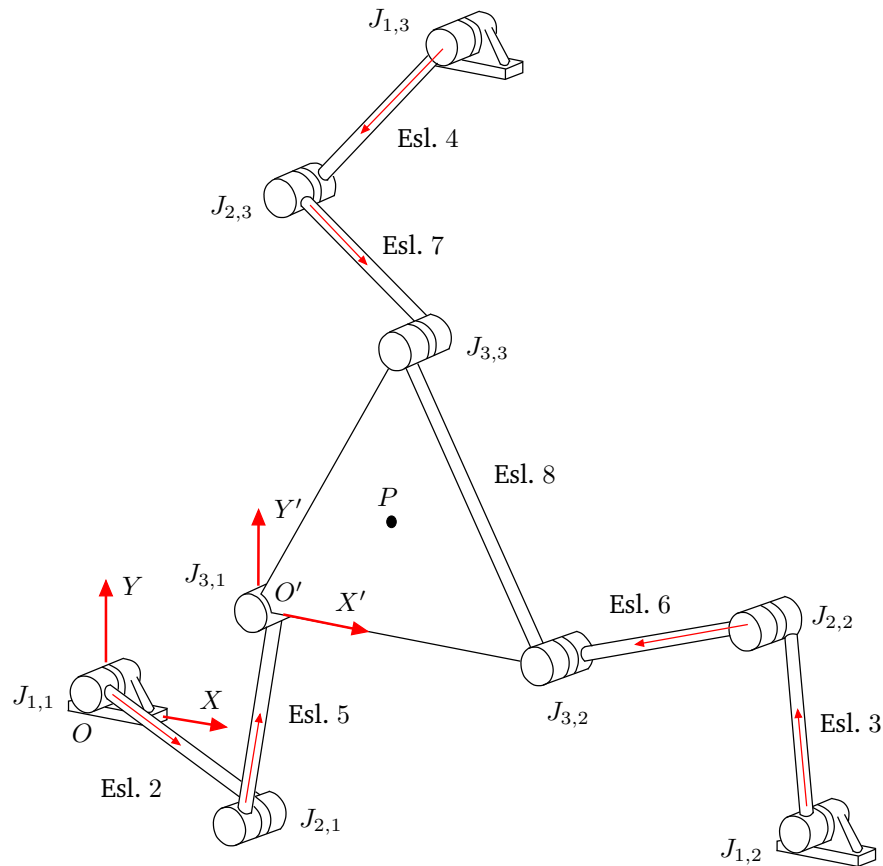


Figura 2.1: Estructura del robot paralelo 3-RRR. Todos los sistemas de referencia se indican en rojo. Para los sistemas de referencia solidarios a cada eslabón, sólo se indica la posición de su eje  $X$ . El eje  $Y$  se supone colocado a  $90^\circ$  en sentido antihorario.

## 2.3 El espacio de configuraciones

La configuración del robot en un determinado instante de tiempo se puede codificar mediante la tupla de ángulos

$$\mathbf{q} = (\theta_2, \theta_3, \theta_4, \theta_5, \theta_6, \theta_7, \theta_8).$$

Estos siete ángulos no pueden tomar valores arbitrarios. La configuración sólo será válida si los ángulos satisfacen las restricciones de ensamblado del robot, las restricciones de exclusión de singularidades, y las de no colisión. El espacio de configuraciones del robot será, por tanto, el conjunto de valores  $\mathbf{q}$  que satisfacen estas restricciones. Veámoslas en detalle.

### 2.3.1. Las restricciones de ensamblado

Aunque hay otras opciones, las restricciones de ensamblado de un mecanismo planar se imponen habitualmente de dos maneras: o bien forzando la conexión de cada articulación individualmente, o bien imponiendo el cierre de cada lazo cinemático. En este proyecto adoptaremos la segunda opción, ya que es la que genera, normalmente, un menor número de ecuaciones y variables.

Siguiendo este planteamiento, el cierre de un lazo cinemático se impone estableciendo que la suma de los vectores que van de cada articulación a la siguiente sea cero (Fig. 2.2). Matemáticamente esta condición se puede expresar así

$$\sum_{k=1}^n \mathbf{R}_k \cdot \mathbf{v}_k = 0, \quad (2.4)$$

donde  $\mathbf{v}_k$  es el vector que va del eslabón  $k$  al eslabón  $k+1$ , expresado en el sistema de referencia  $\mathcal{F}_k$ , y  $\mathbf{R}_k$  es la matriz de rotación de ángulo  $\theta_k$ , que proporciona la orientación de  $\mathcal{F}_k$  con respecto al sistema de referencia absoluto  $OXY$ .

Un mecanismo puede exhibir un gran número de lazos cinemáticos, pero basta con imponer las restricciones de cierre relativas a un conjunto maximal de lazos independientes, porque las restricciones de otros lazos siempre se pueden expresar como combinación lineal de éstas. Este conjunto maximal se puede obtener calculando los ciclos fundamentales del grafo de eslabones i articulaciones del mecanismo [28].

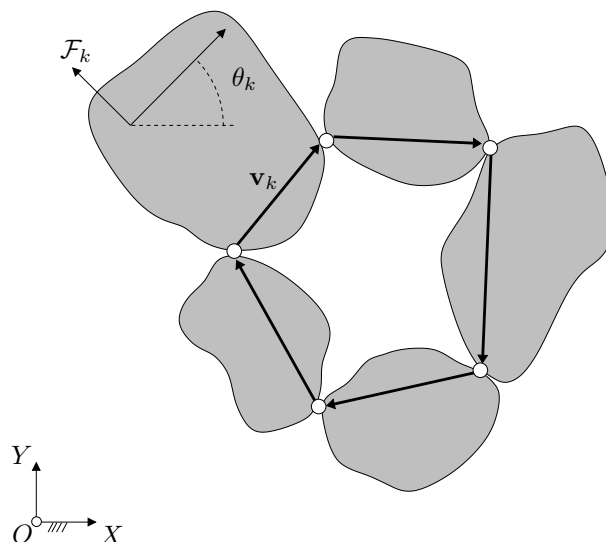


Figura 2.2: Condición de cierre de un lazo cinemático.

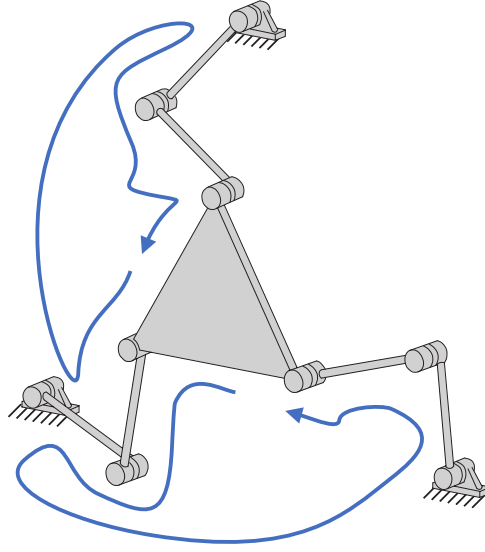


Figura 2.3: Dos lazos cinemáticos independientes del robot 3-RRR.

En particular, el mecanismo 3-RRR sólo posee dos ciclos fundamentales. Por ejemplo los de los lazos indicados en la Fig. 2.3. Utilizando estos dos lazos, las ecuaciones de ensamblado del robot 3-RRR son:

$$x_{1,2} + l_1 c_3 + l_2 c_6 - l_3 c_8 - l_2 c_5 - l_1 c_2 - x_{1,1} = 0, \quad (2.5)$$

$$y_{1,2} + l_1 s_3 + l_2 s_6 - l_3 s_8 - l_2 s_5 - l_1 s_2 - y_{1,1} = 0, \quad (2.6)$$

$$x_{1,3} + l_1 c_4 + l_2 c_7 - l_3 c_8 \cos(\phi) + l_3 s_8 \sin(\phi) - l_2 c_5 - l_1 c_2 - x_{1,1} = 0, \quad (2.7)$$

$$y_{1,3} + l_1 s_4 + l_2 s_7 - l_3 s_8 \cos(\phi) - l_3 c_8 \sin(\phi) - l_2 s_5 - l_1 s_2 - y_{1,1} = 0, \quad (2.8)$$

siendo  $s_i = \sin(\theta_i)$ ,  $c_i = \cos(\theta_i)$ , y  $\phi = \pi/3$ .

Estas ecuaciones, por sí solas, ya garantizan que  $\mathbf{q}$  define una configuración ensamblada del mecanismo. No obstante, para imponer fácilmente las restricciones de exclusión de singularidades y de no colisión, conviene introducir ecuaciones adicionales que expliciten las coordenadas  $(x_{j,i}, y_{j,i})$  de todas las articulaciones móviles. Estas restricciones son, simplemente:

$$x_{2,1} = x_{1,1} + l_1 c_2, \quad x_{2,2} = x_{1,2} + l_1 c_3, \quad x_{2,3} = x_{1,3} + l_1 c_4, \quad (2.9)$$

$$y_{2,1} = y_{1,1} + l_1 s_2, \quad y_{2,2} = y_{1,2} + l_1 s_3, \quad y_{2,3} = y_{1,3} + l_1 s_4, \quad (2.10)$$

$$x_{3,1} = x_{2,1} + l_2 c_5, \quad x_{3,2} = x_{2,2} + l_2 c_6, \quad x_{3,3} = x_{2,3} + l_2 c_7, \quad (2.11)$$

$$y_{3,1} = y_{2,1} + l_2 s_5, \quad y_{3,2} = y_{2,2} + l_2 s_6, \quad y_{3,3} = y_{2,3} + l_2 s_7. \quad (2.12)$$

### 2.3.2. Las restricciones de exclusión de singularidades

Utilizando la Teoría de Torsores [29] se puede ver que en el caso del robot 3-RRR, el estado de velocidad del robot queda unívocamente determinado por las velocidades angulares de las articulaciones activas  $J_{1,1}$ ,  $J_{1,2}$ ,  $J_{1,3}$ , y la velocidad de traslación y rotación del efector final. En este caso, por tanto, no hay que considerar coordenadas de velocidad pasivas, como podrían ser las de las articulaciones intermedias. La Ec. (2.1) se puede entonces formular en la forma simplificada

$$\mathbf{A} \cdot \hat{T} - \mathbf{B} \cdot \gamma = \mathbf{0} \quad (2.13)$$

donde los vectores  $\hat{T}$  y  $\gamma$  corresponden a  $\mathbf{m}_u$  y  $\mathbf{m}_v$ , y las matrices  $\mathbf{A}$  y  $\mathbf{B}$  a  $\mathbf{L}_y$  y  $\mathbf{L}_z$ . Así pues, una configuración del robot 3-RRR será una singularidad directa si

$$\det(\mathbf{A}) = 0, \quad (2.14)$$

e inversa si

$$\det(\mathbf{B}) = 0. \quad (2.15)$$

Los vectores  $\hat{T}$  y  $\gamma$  adoptan la forma

$$\hat{T} = \begin{bmatrix} v_{0,x} \\ v_{0,y} \\ \omega \end{bmatrix}, \quad \gamma = \begin{bmatrix} \omega_{1,1} \\ \omega_{1,2} \\ \omega_{1,3} \end{bmatrix}$$

donde:

- $(v_{0,x}, v_{0,y})$  es el vector velocidad del punto del efector que coincide instantáneamente con el origen del sistema de referencia  $OXY$ .
- $\omega$  es la velocidad angular del efector final.
- $\omega_{1,i}$  es la velocidad angular de la articulación  $J_{1,i}$ .

Las matrices  $\mathbf{A}$  y  $\mathbf{B}$ , por su lado, tienen la estructura

$$\mathbf{A} = \begin{bmatrix} \hat{s}_1^T \\ \hat{s}_2^T \\ \hat{s}_3^T \end{bmatrix}, \quad \mathbf{B} = \begin{bmatrix} \hat{s}_1^T \hat{S}_{1,1} & 0 & 0 \\ 0 & \hat{s}_2^T \hat{S}_{1,2} & 0 \\ 0 & 0 & \hat{s}_3^T \hat{S}_{1,3} \end{bmatrix},$$

donde  $\hat{s}_i$  es el vector de coordenadas de Plücker del eslabón distal de la pata  $i$ , y  $\hat{S}_{j,i}$  es el

vector de coordenadas de Plücker de la recta ortogonal al plano del robot que pasa por  $J_{j,i}$ . Aunque en las matrices  $\mathbf{A}$  y  $\mathbf{B}$  los vectores  $\hat{s}_i$  y  $\hat{S}_{j,i}$  se suponen normalizados, a efectos de las ecuaciones (2.14) y (2.15) no es necesario que lo estén, porque la normalización simplemente multiplica estas ecuaciones por un factor constante. Así, podremos considerar que

$$\hat{s}_1 = \hat{S}_{1,2} \times \hat{S}_{1,3}, \quad (2.16)$$

$$\hat{s}_2 = \hat{S}_{2,2} \times \hat{S}_{2,3}, \quad (2.17)$$

$$\hat{s}_3 = \hat{S}_{3,2} \times \hat{S}_{3,3}. \quad (2.18)$$

siendo

$$\hat{S}_{j,i} = \begin{bmatrix} y_{j,i} \\ -x_{j,i} \\ 1 \end{bmatrix}, \quad (2.19)$$

para toda articulación  $J_{j,i}$ .

A partir de las Ecs. (2.14) y (2.15), y usando las expresiones anteriores, se puede ver que las singularidades directas aparecen cuando las rectas soporte de los tres eslabones distales intersectan en un punto común, mientras que las inversas se dan cuando se alinean las tres articulaciones de una pata. Las figuras 2.4 y 2.5 muestran, en secuencia, una configuración no singular, una singularidad directa, una singularidad inversa, y una configuración que es, a la vez, singularidad directa e inversa. En estas figuras vemos cómo, de acuerdo con lo explicado en la Sección 2.1, en una y otra singularidad el mecanismo pierde rigidez al bloquear la entrada o la salida, respectivamente. La secuencia completa de estas figuras se puede ver en vídeo en [30].

Para excluir las singularidades directas o inversas de nuestro espacio de configuraciones, simplemente necesitamos imponer

$$\det(\mathbf{A}) \neq 0 \quad (2.20)$$

y/o

$$\det(\mathbf{B}) \neq 0 \quad (2.21)$$

según convenga. Como se ha comentado en la Sección 1.3, en nuestro caso nos centraremos en excluir únicamente las singularidades directas, porque son las más perjudiciales para el mecanismo (comprometen el control y pueden producir la rotura del mecanismo), y se permitirá, en cambio, el paso por singularidades inversas. Con leves cambios, podríamos optar también por excluir el paso por singularidades inversas, pero por un lado esto no es deseable, porque

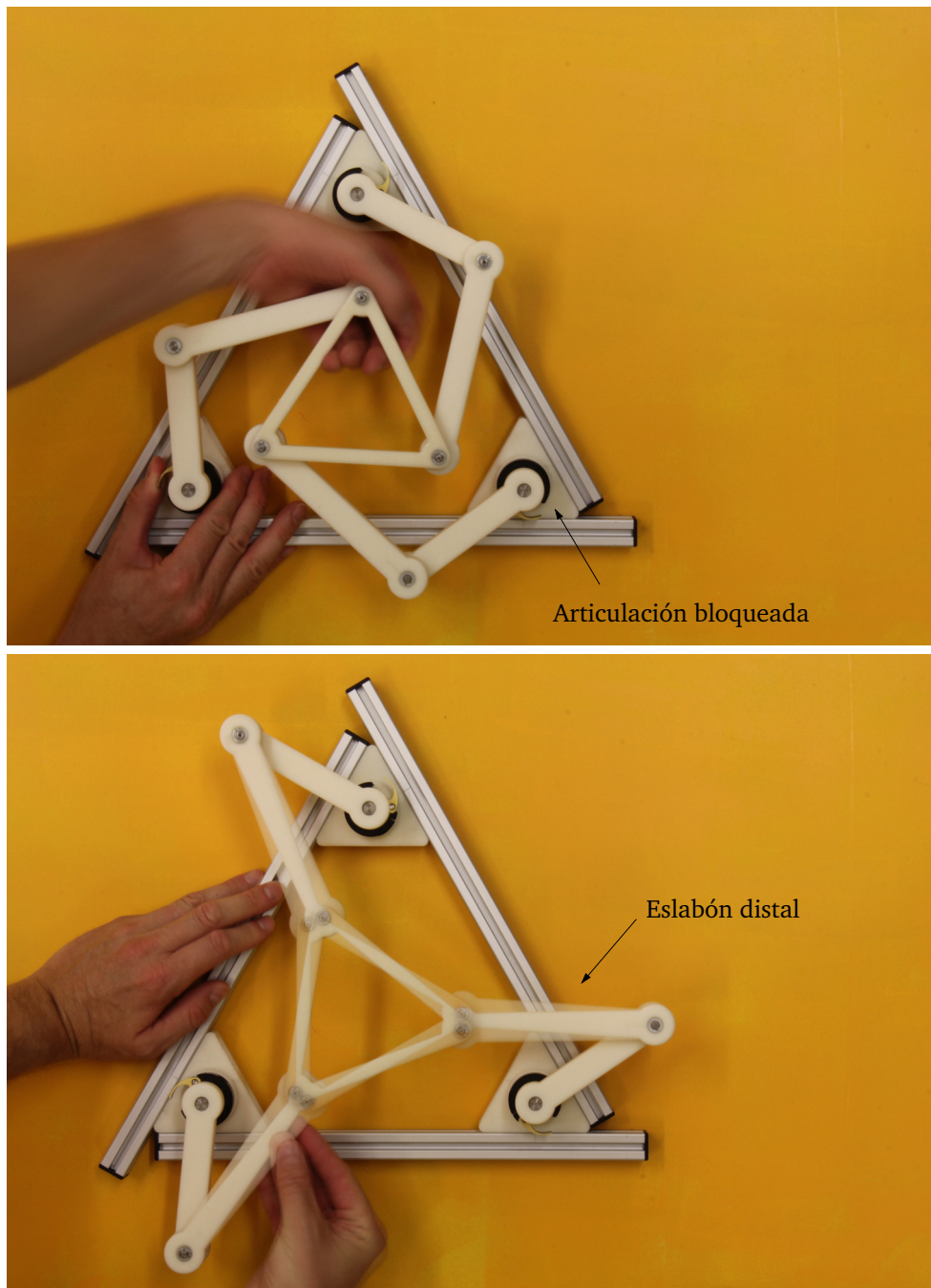


Figura 2.4: **Arriba:** Con las articulaciones de la base bloqueadas, el mecanismo se muestra rígido en configuraciones no singulares. **Abajo:** En una singularidad directa, los eslabones distales son concurrentes y tras bloquear las articulaciones de la base, el mecanismo pierde rigidez.

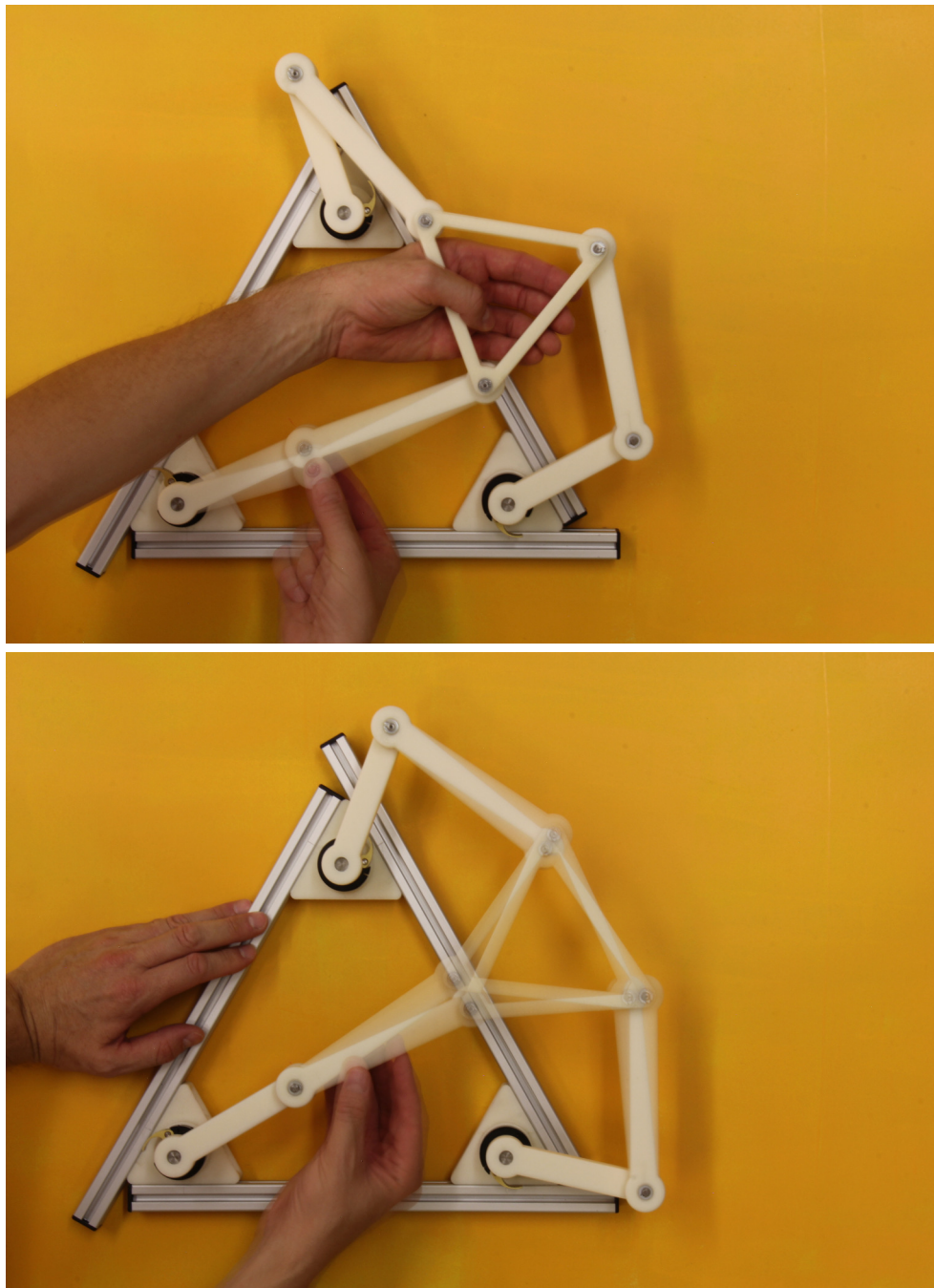


Figura 2.5: **Arriba:** En una singularidad inversa las articulaciones de una pata están alineadas y, bloqueando la plataforma móvil notamos que la pata no tiene rigidez. **Abajo:** Una configuración puede ser a la vez una singularidad directa e inversa.

reduciríamos el espacio de trabajo del robot, y tampoco es necesario, porque las pérdidas de destreza del efector no suponen, en nuestro contexto, ningún riesgo para el robot.

### 2.3.3. Las restricciones de no colisión

Tal y como se ha diseñado la geometría del robot (Fig. 2.1) sólo se pueden producir colisiones entre los eslabones distales de las patas. Los eslabones distales no pueden colisionar ni con los proximales ni con la plataforma móvil ya que se encuentran situados en planos diferentes, y los eslabones proximales no pueden colisionar entre ellos, porque las articulaciones  $J_{1,1}$ ,  $J_{1,2}$ ,  $J_{1,3}$  están suficientemente alejadas entre sí. Nos centraremos pues, en imponer la no colisión entre parejas de eslabones distales.

Los eslabones distales constan de dos zonas circulares centradas en las articulaciones, unidas mediante un tronco rectilíneo, con las medidas que se indican en la Fig. 2.6(a). Gracias a esta geometría, los troncos de los dos eslabones nunca pueden entrar en contacto y, como se ve en la Fig. 2.6(b), la única colisión posible es la del círculo de un eslabón con el contorno de otro eslabón. Por tanto, podemos decir que se producirá una colisión cuando el centro  $C$  del círculo entre en contacto con el perímetro  $p$  formado por los puntos que se encuentran a distancia  $r$  del eslabón. Sin embargo, utilizando el prototipo físico del robot podemos ver que el círculos de los eslabones distales tampoco pueden entrar en contacto entre ellos. Por tanto, en la práctica sólo tendremos que comprobar la inclusión de  $C$  en el rectángulo  $R$  indicado en la Fig. 2.6(c), de vértices  $P_1$ ,  $P_2$ ,  $P_3$ ,  $P_4$ .

El test de inclusión de un punto en un rectángulo es fácil de implementar algorítmicamente, pero para el método de planificación que propondremos necesitamos que la restricción de no colisión venga dada en la forma funcional

$$\psi(\mathbf{q}) > 0 \quad (2.22)$$

donde  $\psi(\mathbf{q})$  es una función diferenciable de  $\mathbf{q}$ . Evaluada en  $\mathbf{q}$ , esta función debe determinar si el centro  $C$  está en el exterior ( $\psi(\mathbf{q}) > 0$ ) o bien en el interior ( $\psi(\mathbf{q}) < 0$ ) del rectángulo  $R$ . Para encontrar esta función, aproximaremos el rectángulo  $R$  mediante la superelipse circunscrita indicada en la Fig. 2.6. Esta superelipse tiene la expresión

$$\left(\frac{x' - a}{s_x}\right)^4 + \left(\frac{y' - b}{s_y}\right)^4 = 1$$

en el sistema de referencia  $O'X'Y'$  de la figura, donde  $(a, b)$  son las coordenades de su centro, y  $s_x$  y  $s_y$  son las longitudes de sus semiejes. En nuestro caso,  $(a, b) = (6.75, 0)$  cm en  $O'X'Y'$ ,  $s_x = 6.75$  cm, y  $s_y = 2.70$  cm. Así pues, consideraremos que un círculo de un eslabón distal

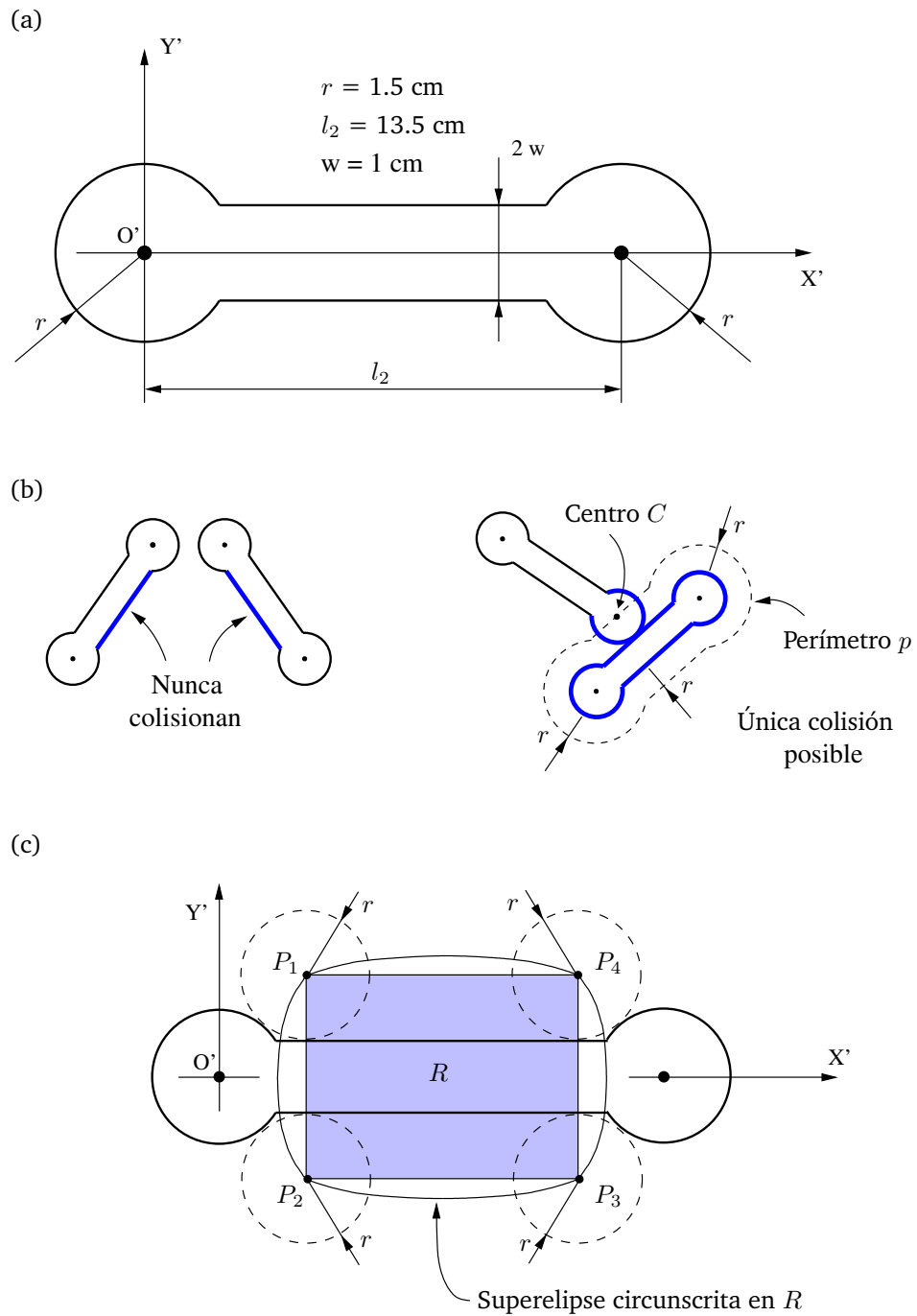


Figura 2.6: (a) Geometría de un eslabón distal. (b) Posibilidades de colisión entre eslabones distales. (c) Región  $R$  y su aproximación mediante una superelipse.

colisiona con un segundo eslabón, si el centro  $C$  de este círculo se encuentra dentro de la superelipse asociada al segundo eslabón.

Usando la expresión anterior y la notación definida en la Sección 2.2, podemos decir que el círculo de radio  $r$  centrado en  $J_{j,i}$  no colisionará con el eslabón distal  $k$  siempre y cuando

$$\left(\frac{x_{j,i}^k - a}{s_x}\right)^4 + \left(\frac{y_{j,i}^k - b}{s_y}\right)^4 - 1 > 0, \quad (2.23)$$

expresión que ya adopta la forma deseada en la Ec. (2.22).

Fijémonos en que el círculo de la articulación  $J_{j,i}$  de una pata puede entrar en colisión con los eslabones distales de las otras dos patas. Por tanto, como tenemos seis círculos en eslabones distales, deberemos considerar un total de doce desigualdades para garantizar que el robot no se encuentra en una autocolisión.

En la Ec. (2.23), sin embargo, nos faltan las expresiones de las coordenadas  $x_{j,i}^k$  y  $y_{j,i}^k$  en función de la configuración  $\mathbf{q}$ . Estas expresiones se obtienen utilizando el cambio de sistema de referencia

$$\begin{bmatrix} c_k & -s_k \\ s_k & c_k \end{bmatrix} \begin{bmatrix} x_{j,i}^k \\ y_{j,i}^k \end{bmatrix} + \begin{bmatrix} x_{2,l} \\ y_{2,l} \end{bmatrix} = \begin{bmatrix} x_{j,i} \\ y_{j,i} \end{bmatrix},$$

donde hemos supuesto que el índice  $l$  es el de la pata donde está montado el eslabón  $k$ , y que el sistema de referencia  $\mathcal{F}_k$  está centrado en la articulación  $J_{2,l}$ , de acuerdo con el convenio establecido en la Fig. 2.1. Aislando  $x_{j,i}^k$  y  $y_{j,i}^k$  resulta, en forma matricial:

$$\begin{bmatrix} x_{j,i}^k \\ y_{j,i}^k \end{bmatrix} = \begin{bmatrix} c_k & s_k \\ -s_k & c_k \end{bmatrix} \begin{bmatrix} x_{j,i} - x_{2,l} \\ y_{j,i} - y_{2,l} \end{bmatrix}. \quad (2.24)$$

## 2.4 La estrategia de planificación

Com acabemos de ver, el espacio de configuraciones  $\mathcal{C}$  del robot está formado por el conjunto de valores del vector  $\mathbf{q}$  que satisfacen, simultáneamente, las condiciones:

- De ensamblado: Ecs. (2.5)-(2.12).
- De exclusión de singularidades: Ecs. (2.16)-(2.20).
- De no colisión: Ecs. (2.23) y (2.24), usando todos los pares de eslabones implicados.

La búsqueda de un movimiento factible entre dos configuraciones  $\mathbf{q}_s$  y  $\mathbf{q}_g$  no singulares y libres de colisión equivale a encontrar un camino dentro del espacio  $\mathcal{C}$  que cumple estas ecuaciones.

Para calcular este camino aplicaremos métodos de continuación mutlidimensional sobre las ecuaciones anteriores [31]. Usando estos métodos podemos partir de  $\mathbf{q}_s$  para explorar  $\mathcal{C}$  sistemáticamente, utilizando el espacio tangente a  $\mathcal{C}$  para avanzar en cada momento, hasta eventualmente encontrar  $\mathbf{q}_g$ . Dependiendo del tipo de implementación escogida, el proceso de continuación acabará cuando se agote un tiempo máximo de búsqueda, o bien cuando se haya explorado el componente conexo de  $\mathcal{C}$  alcanzable desde  $\mathbf{q}_s$ . Esta metodología, sin embargo, requiere que el sistema de ecuaciones sólo contenga igualdades, y en nuestro caso las condiciones (2.20) y (2.23) son desigualdades. Así pues, antes de detallar la metodología, veremos como podemos transformar estas condiciones en igualdades.

### 2.4.1. Conversión de las restricciones en igualdades

Observemos que la restricción (2.20) se puede substituir por la igualdad equivalente

$$\det(\mathbf{A}) \cdot b = 1, \quad (2.25)$$

donde  $b$  es una nueva variable auxiliar añadida al sistema. Claramente, esta ecuación impide que  $\det(\mathbf{A})$  se anule, porque  $\det(\mathbf{A})$  será cero sólo cuando  $b = \pm\infty$ . Si bien es cierto que  $\det(\mathbf{A})$  se puede acercar a cero cuando  $b$  toma valores muy altos o bajos, esta posibilidad se elimina fijando un intervalo de validez para  $b$

$$b \in [b_{min}, b_{max}].$$

Este intervalo, además, acota el valor de  $\det(\mathbf{A})$ , y así aseguramos que el robot se mantiene suficientemente rígido y controlable a lo largo del camino. Fijémonos también que, para que haya un camino solución, el signo de  $\det(\mathbf{A})$  deberá ser el mismo tanto en  $\mathbf{q}_s$  como en  $\mathbf{q}_g$ , y el valor de  $b = 1/\det(\mathbf{A})$  en estas configuraciones deberá estar dentro del rango  $[b_{min}, b_{max}]$  que hayamos fijado.

La restricción (2.23) también se puede convertir en igualdad substituyéndola por

$$\left[ \left( \frac{x_{j,i}^k - a}{s_x} \right)^4 + \left( \frac{y_{j,i}^k - b}{s_y} \right)^4 - 1 \right] \cdot g_{i,j,k} = 1, \quad (2.26)$$

donde  $g_{i,j,k}$  es una nueva variable auxiliar. Dado que el término entre corchetes será positivo en  $\mathbf{q}_s$ , y la ecuación impide que se anule, el término se mantendrá positivo durante todo el proceso de continuación.

### 2.4.2. La variedad de navegación

Con estos cambios obtenemos un nuevo sistema de ecuaciones formado por las Ecs. (2.5)-(2.12), que fuerzan el ensamblado de los distintos eslabones, las Ecs. (2.16)-(2.19) y (2.25), que evitan las singularidades, y las Ecs (2.24) y (2.26), que impiden las autocolisiones. Este nuevo sistema se puede escribir de forma compacta así

$$\mathbf{F}(\mathbf{x}) = \mathbf{0}, \quad (2.27)$$

donde  $\mathbf{x}$  es una tupla que aglutina todas sus variables. Esta tupla contiene:

- Los ángulos del vector  $\mathbf{q}$ .
- Las coordenades absolutas,  $x_{j,i}$  y  $y_{j,i}$ , y relativas,  $x_{j,i}^k$  y  $y_{j,i}^k$ , de todas las articulaciones móviles.
- La variable  $b$  de la Ec. (2.25)
- Las variables  $g_{j,i,k}$  de las Ecs. (2.26).

El conjunto solución de este nuevo sistema

$$\mathcal{M} = \{\mathbf{x} : \mathbf{F}(\mathbf{x}) = \mathbf{0}\},$$

se denominará la *variedad de navegación* del robot, porque es una variedad diferencial que permite buscar movimientos factibles entre  $\mathbf{q}_s$  y  $\mathbf{q}_g$  mediante continuación numérica. Ciertamente, fijémonos que cada configuración  $\mathbf{q} \in \mathcal{C}$  corresponde a un punto  $\mathbf{x} \in \mathcal{M}$ , porque los valores de  $x_{j,i}$ ,  $y_{j,i}$ ,  $x_{j,i}^k$  y  $y_{j,i}^k$  correspondientes a  $\mathbf{q}$  se obtienen de las Ecs. (2.9)-(2.12) y (2.24), el valor de  $b$  se obtiene de la Ec. (2.25), y los valores de  $g_{j,i,k}$  se obtienen de la Ec. (2.26). Así, si  $\mathbf{x}_s$  y  $\mathbf{x}_g$  son los puntos de  $\mathcal{M}$  que corresponden a  $\mathbf{q}_s$  y  $\mathbf{q}_g$ , buscar un camino que conecte  $\mathbf{q}_s$  con  $\mathbf{q}_g$  sobre  $\mathcal{C}$  equivale a encontrar un camino de conexión entre  $\mathbf{x}_s$  y  $\mathbf{x}_g$  sobre  $\mathcal{M}$ .

### 2.4.3. Búsqueda sobre la variedad

Para determinar un camino que conecte  $\mathbf{x}_s$  y  $\mathbf{x}_g$  sobre  $\mathcal{M}$  utilizaremos el método de continuación multidimensional de Henderson [32], con las modificaciones introducidas en [1, 2] para guiar la búsqueda hacia  $\mathbf{x}_g$ . Este método proporciona una manera sistemática de recorrer  $\mathcal{M}$  continuamente desde  $\mathbf{x}_s$ , hasta que, o bien se encuentra  $\mathbf{x}_g$ , o bien se ha rastreado todo el componente conexo de  $\mathcal{M}$  alcanzable desde  $\mathbf{x}_s$ . El método es una generalización de las técnicas de continuación clásicas [33], y no es hasta hace muy poco se ha reconocido su valor en el

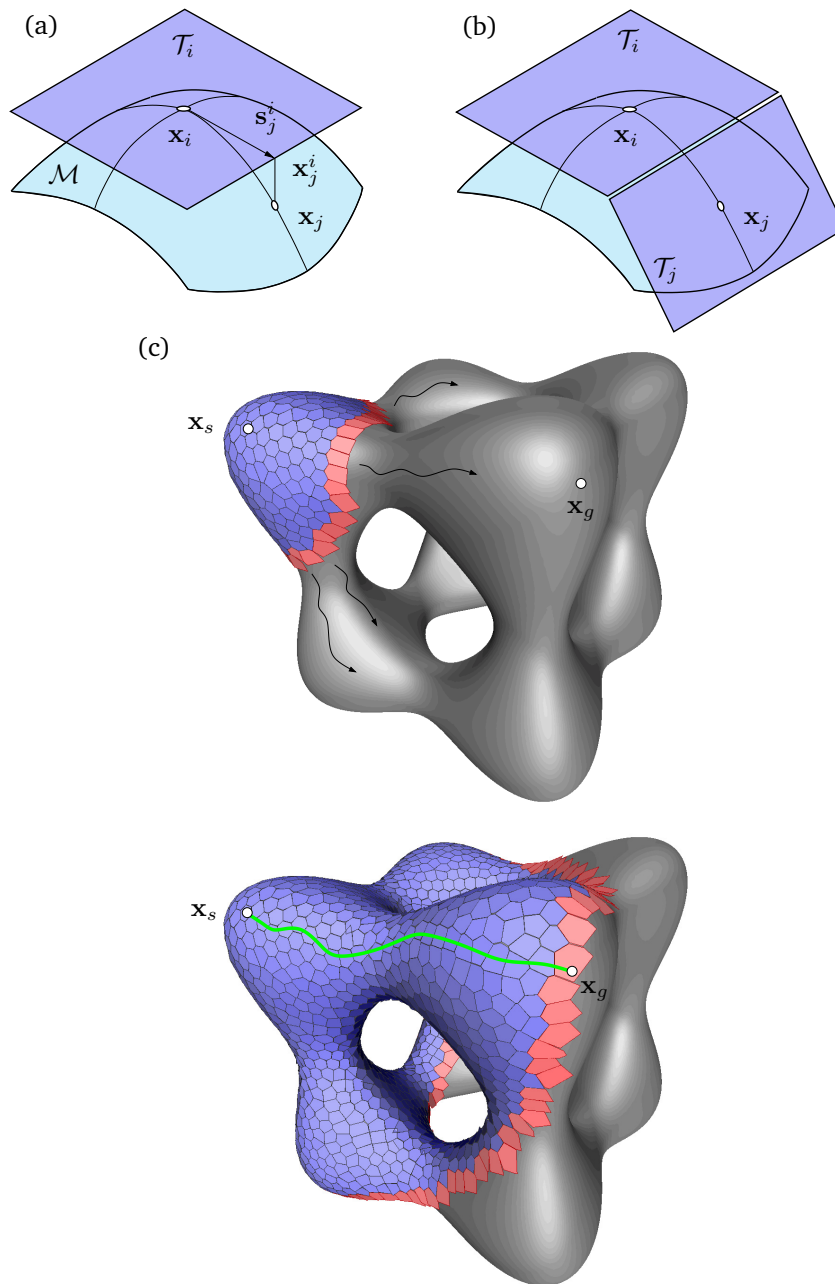


Figura 2.7: (a) Construcción de una carta local alrededor de  $x_i \in \mathcal{M}$ , y expansión en la dirección  $s_j^i$  para producir un nuevo punto  $x_j \in \mathcal{M}$ . (b) Construcción de una carta vecina en  $x_j$ , y recorte de su dominio teniendo en cuenta los dominios de cartas previamente existentes. (c) Evolución del método de continuación sobre la superficie de Chmutov, definida por  $3 + 8(x^4 + y^4 + z^4) = 8(x^2 + y^2 + z^2)$ , con el camino encontrado indicado en verde.

ámbito de la Robótica [34]. A continuación explicamos como funciona, y referimos al lector a [1, 2, 32] para más detalles.

El método explora  $\mathcal{M}$  construyendo un *atlas* de  $\mathcal{M}$  gradualmente, es decir, un conjunto de cartas locales que parametrizan, cada una, una pequeña región de  $\mathcal{M}$ . Para un punto dado  $\mathbf{x}_i \in \mathcal{M}$ , inicialmente fijado a  $\mathbf{x}_s$ , el método calcula el espacio tangente a  $\mathcal{M}$  en  $\mathbf{x}_i$ ,  $\mathcal{T}_i$ , y usa este espacio para parametrizar los puntos de  $\mathcal{M}$  en el vecindario de  $\mathbf{x}_i$  [Fig. 2.7 (a)]. Para continuar el rastreo de  $\mathcal{M}$ , el método escoge una dirección  $\mathbf{s}_j^i \in \mathcal{T}_i$ , proyecta el punto  $\mathbf{x}_j^i = \mathbf{x}_i + \mathbf{s}_j^i$  sobre  $\mathcal{M}$  para obtener  $\mathbf{x}_j$ , y genera una nueva carta sobre  $\mathcal{T}_j$ , el espacio tangente a  $\mathcal{M}$  en  $\mathbf{x}_j$ . El método guarda traza de las regiones de  $\mathcal{M}$  exploradas recortando mutuamente las cartas definidas sobre  $\mathcal{T}_i$  y  $\mathcal{T}_j$  [Fig. 2.7 (b)], e itera el proceso hasta que se localiza  $\mathbf{x}_g$  [Fig. 2.7 (c)], o bien se agota todo el componente conexo alcanzable desde  $\mathbf{x}_s$ . La estrategia dispone de mecanismos para adaptar la extensión de cada carta a la curvatura de  $\mathcal{M}$  [32], y se puede avanzar desde  $\mathbf{x}_i$  hasta  $\mathbf{x}_j$  mediante técnicas de multiprecisión que aseguren la continuidad [35].

El atlas se puede extender en amplitud, como en la Fig. 2.7 (c), o guiándolo heurísticamente hacia  $\mathbf{x}_g$ . Una posibilidad es utilizar una estrategia A\* [36], mediante la cual sólo se generan las cartas estrictamente necesarias para obtener un camino de coste mínimo  $\mathbf{x}_s \rightarrow \mathbf{x}_g$ . En cada iteración, este método avanza desde la carta cuyo centro  $\mathbf{x}_i$  da lugar al menor coste estimado en el movimiento  $\mathbf{x}_s \rightarrow \mathbf{x}_g$ , manteniendo una cola ordenada de caminos alternativos. El coste mencionado es la suma de un término  $g(\mathbf{x}_i)$ , que proporciona el menor coste conocido para la transición  $\mathbf{x}_s \rightarrow \mathbf{x}_i$ , y un término  $h(\mathbf{x}_i)$ , que proporciona una cota inferior del coste de la transición  $\mathbf{x}_i \rightarrow \mathbf{x}_g$ . El valor del primer término se actualiza durante la expansión del atlas utilizando una función  $c(\mathbf{x}_k, \mathbf{x}_l)$  que determina el coste de transición entre los centros de dos cartas adyacentes centradas en  $\mathbf{x}_k$  y  $\mathbf{x}_l$ .

Durante la construcción del atlas, se va construyendo un grafo  $G$  cuyos nodos representan los centros  $\mathbf{x}_i$  de las cartas generadas, y cuyas aristas guardan las relaciones de vecindad entre cartas. Cuando se alcanza  $\mathbf{x}_g$ , por lo tanto, se puede usar este grafo para generar un camino de coste mínimo que una  $\mathbf{x}_s$  con  $\mathbf{x}_g$ , de acuerdo con la función  $c(\mathbf{x}_k, \mathbf{x}_l)$  asumida. La función puede ser cualquiera, pudiendo reflejar el consumo energético del robot, la distancia que recorre, o una penalización debida a colisiones no consideradas en  $\mathcal{M}$ . Para tener en cuenta estas colisiones, la función sólo tiene que asignar un coste infinito a las transiciones  $\mathbf{x}_k \rightarrow \mathbf{x}_l$  que darían lugar a una colisión [1]. En nuestro caso, no hay colisiones adicionales a las ya consideradas, y simplemente hemos escogido  $c(\mathbf{x}_j, \mathbf{x}_k) = \|\mathbf{x}_j - \mathbf{x}_k\|^2$ , que tiende a proporcionar el camino de longitud mínima sobre  $\mathcal{M}$ .

La estrategia A\* es rápida cuando la variedad rastreada es de dimensión uno o dos, pero los tiempos de cálculo incrementan notablemente en dimensión tres o superiores. Por ello, sólo es aconsejable aplicar la estrategia A\* cuando planifiquemos movimientos en los que alguna

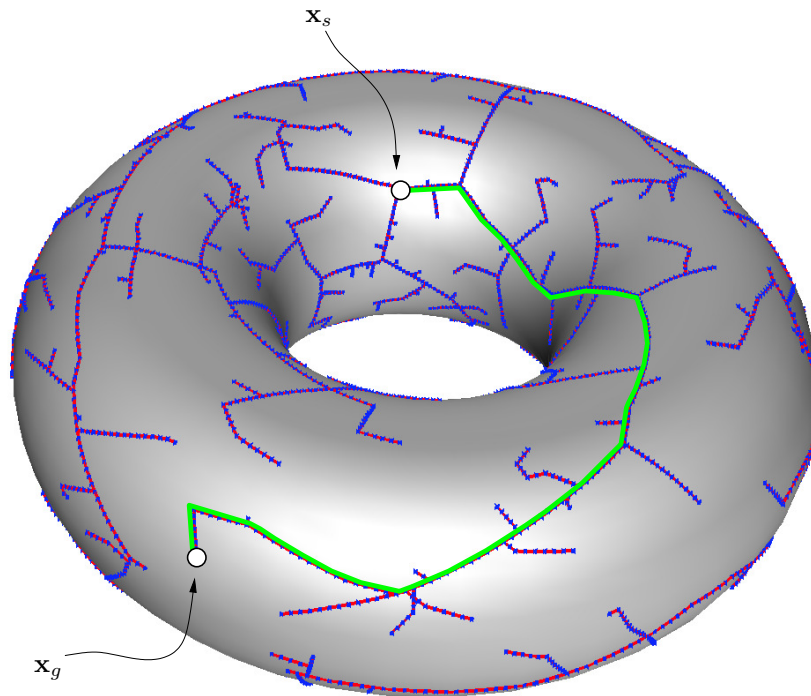


Figura 2.8: Resultado de la estrategia de continuación basada en árboles de expansión rápida al conectar dos puntos  $\mathbf{x}_s$  y  $\mathbf{x}_g$  sobre la superficie de un toro. El camino encontrado se indica en verde.

variable del robot quede fijada, como por ejemplo el ángulo  $\theta_8$  de la plataforma constante. Para movimientos generales,  $\mathcal{M}$  tendrá dimensión tres, y será mejor utilizar la estrategia propuesta en [2], basada en el crecimiento de árboles de expansión rápida. Este método utiliza un atlas parcial de  $\mathcal{M}$  para extender un árbol de expansión sobre  $\mathcal{M}$ , el cual, a su vez, se utiliza para decidir en qué direcciones hay que extender el atlas parcial. La Fig. 2.8 ilustra el resultado sobre la superficie de un toro.

En ambas estrategias, el camino obtenido viene dado en forma de una secuencia de  $n_c$  cartas

$$C_1, C_2, \dots, C_{n_c}$$

donde cada carta  $C_i$  está centrada en un punto  $\mathbf{x}_i \in \mathcal{M}$ . La primera carta y la última están centradas en  $\mathbf{x}_s$  y  $\mathbf{x}_g$ , y las cartas consecutivas son adyacentes entre sí. La representación del camino  $\mathbf{x}_s \rightarrow \mathbf{x}_g$  es, por lo tanto, discreta, puesto que sólo se proporcionan los puntos de paso intermedios  $\mathbf{x}_2, \dots, \mathbf{x}_{n_c-1}$ . Sin embargo, el camino se puede refinar tanto como se quiera, usando los planos tangentes a las cartas para añadir puntos intermedios en cada transición  $\mathbf{x}_i \rightarrow \mathbf{x}_{i+1}$ . Si bien es cierto que el camino obtenido puede no ser suave, utilizaremos técnicas de suavizado

que lo deforman para que sí lo sea [12, 34].

Al final, el camino  $\mathbf{x}_s \rightarrow \mathbf{x}_g$  se obtiene en forma de una secuencia de  $n_p$  puntos sobre  $\mathcal{M}$

$$\mathbf{x}_1, \mathbf{x}_2, \dots, \mathbf{x}_{n_p},$$

donde  $\mathbf{x}_1 = \mathbf{x}_s$ ,  $\mathbf{x}_{n_p} = \mathbf{x}_g$ , y el camino  $\mathbf{q}_s \rightarrow \mathbf{q}_g$  sobre  $\mathcal{C}$  se devuelve tomando las coordenadas  $\mathbf{q}$  de cada uno de estos puntos, dando lugar a la secuencia

$$\mathbf{q}_1, \mathbf{q}_2, \dots, \mathbf{q}_{n_p}, \quad (2.28)$$

donde  $\mathbf{q}_i$  es la proyección de  $\mathbf{x}_i$  sobre  $\mathcal{C}$ .

Todos estos métodos de búsqueda y suavizado están implementados en el paquete de código abierto *Cuik*, desarrollado por el Grupo de Cinemática y Diseño de Robots del IRI [34]. El planificador de este proyecto, por lo tanto, se ha implementado realizando llamadas a bajo nivel sobre los comandos de este paquete.

#### 2.4.4. Visualización del espacio de configuraciones

Para apreciar la estructura de  $\mathcal{C}$ , la Fig. 2.9 muestra dos secciones del espacio de trabajo del robot, suponiendo que el ángulo  $\theta_8$  se mantiene constante, a  $\theta_8 = -\pi/4$  y  $\theta_8 = 0$  respectivamente. La zona gris corresponde a los puntos del plano  $XY$  que puede alcanzar el baricentro  $P$  del triángulo móvil. Las curvas azules corresponden a singularidades inversas del robot, y son los puntos en los que el efector final tiene movilidad reducida. Las curvas rojas, en cambio, corresponden a singularidades directas, o puntos en los que se da una pérdida de rigidez. Como se ve, estas curvas son de una notable complejidad. Bonev demostró, de hecho, que quedan descritas por polinomios irreducibles de grado 42 en las coordenadas de  $P$  [37].

Ambas curvas se han calculado utilizando los métodos de poda y bisección del paquete *Cuik*, siguiendo la metodología explicada en [27], y utilizando los ficheros de cálculo del Apéndice B, Sección B.2. Si se cambia el valor de  $\theta_8$  en tales ficheros, se puede observar que la complejidad de la curva de singularidades es parecida en muchas otras secciones de  $\mathcal{C}$ , lo cual, como ya se ve, dificulta notablemente el problema de planificación.

A partir de la Fig. 2.9, no obstante, podría parecer que el rango de movimientos viables del robot queda severamente reducido por la presencia de singularidades, pero fijémonos que estamos observando una proyección del espacio de configuraciones sobre las coordenadas  $(x, y)$  de  $P$ , y que para cada pose  $(x, y, \theta_8)$  del efector hay un total de ocho configuraciones compatibles del robot. Cada configuración corresponde a un *modo de trabajo distinto* del mecanismo, identificado mediante una tripleta de signos  $(\sigma_1, \sigma_2, \sigma_3)$ , donde  $\sigma_i$  nos da la orientación del triángulo

$J_{1,i}J_{2,i}J_{3,i}$  [37]. El espacio  $\mathcal{C}$ , por lo tanto, tiene una estructura muy rica, estando formado por distintas “capas” correspondientes a los distintos modos de trabajo. Si proyectamos cada una de estas capas por separado, podemos ver que las regiones libres de singularidades son mucho mayores (Fig. 2.10). Observemos que las dos configuraciones marcadas mediante puntos sólidos en la Fig. 2.10, por ejemplo, se pueden conectar mediante caminos libres de singularidades en las capas  $(+, +, +)$  y  $(-, +, -)$ , mientras que esto parecía imposible en la Fig. 2.9.

Para verificar la estrategia de continuación, y apreciar el efecto de las restricciones de exclusión de singularidades y autocolisiones, hemos definido las ecuaciones de  $\mathcal{M}$  en el fichero `scf.cuik` indicado en el Apéndice B, y hemos ejecutado el método de continuación desde una configuración en la que el triángulo del efector se encuentra concéntrico y paralelo al de la base en todos sus lados. Si fijamos  $\theta_8 = 0$ ,  $[b_{min}, b_{max}] = [-4, 4]$ , y mantenemos constante el modo de trabajo de las patas, entonces el método obtiene los rangos de movimiento indicados en azul en la Fig. 2.11. Para cada subfigura, la tupla de signos indica el modo de trabajo que se ha mantenido constante. Como se ve, el método explora una región que respeta los límites impuestos por las singularidades, y analizando las fronteras vemos que las que no son cercanas a las curvas rojas coinciden, como era de esperar, con configuraciones en autocolisión.

Si ahora partimos de la misma configuración inicial y mantenemos  $\theta_8 = 0$ , pero permitimos cambios de signo en el modo de trabajo, entonces el método encuentra regiones de movimiento

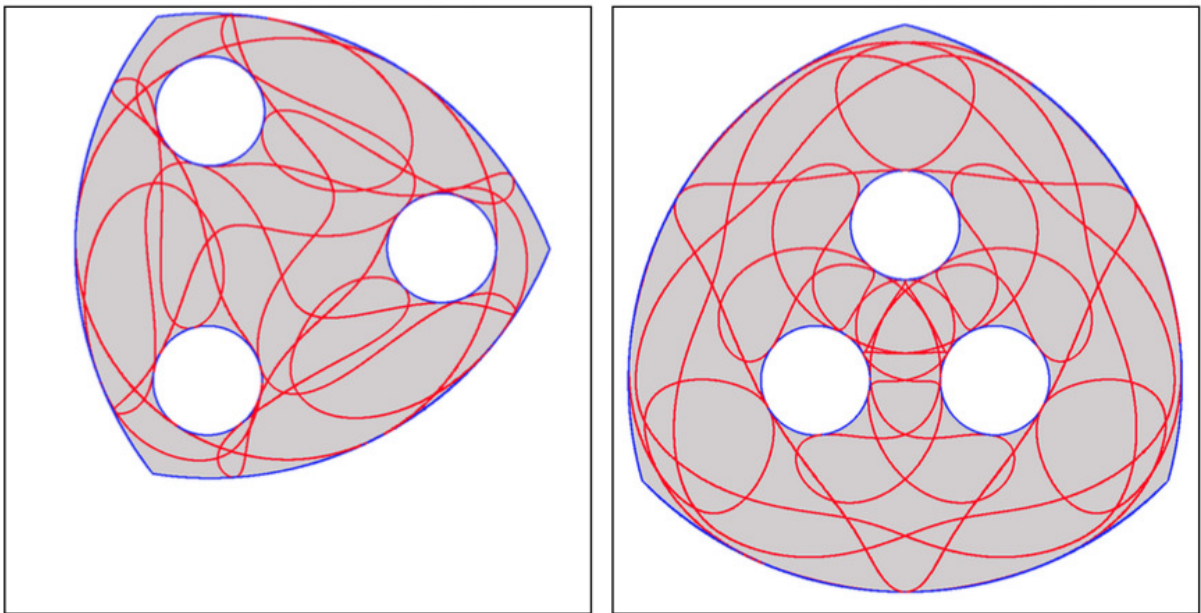


Figura 2.9: Secciones del espacio de trabajo del robot 3-RRR, fijando el ángulo del efector a  $\theta_8 = -\pi/4$  y  $\theta_8 = 0$  respectivamente.

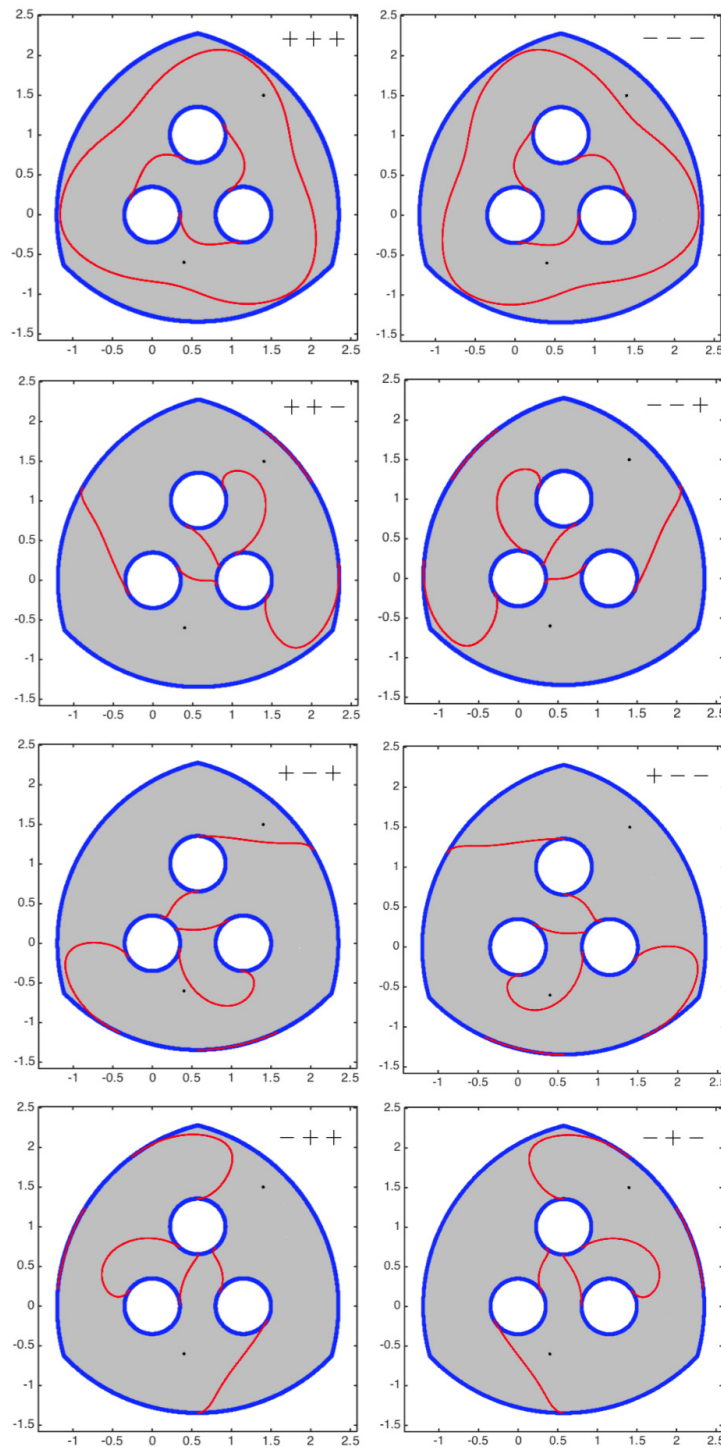


Figura 2.10: La capas de la sección  $\theta_8 = 0$  que se obtienen al fijar cada modo de trabajo.

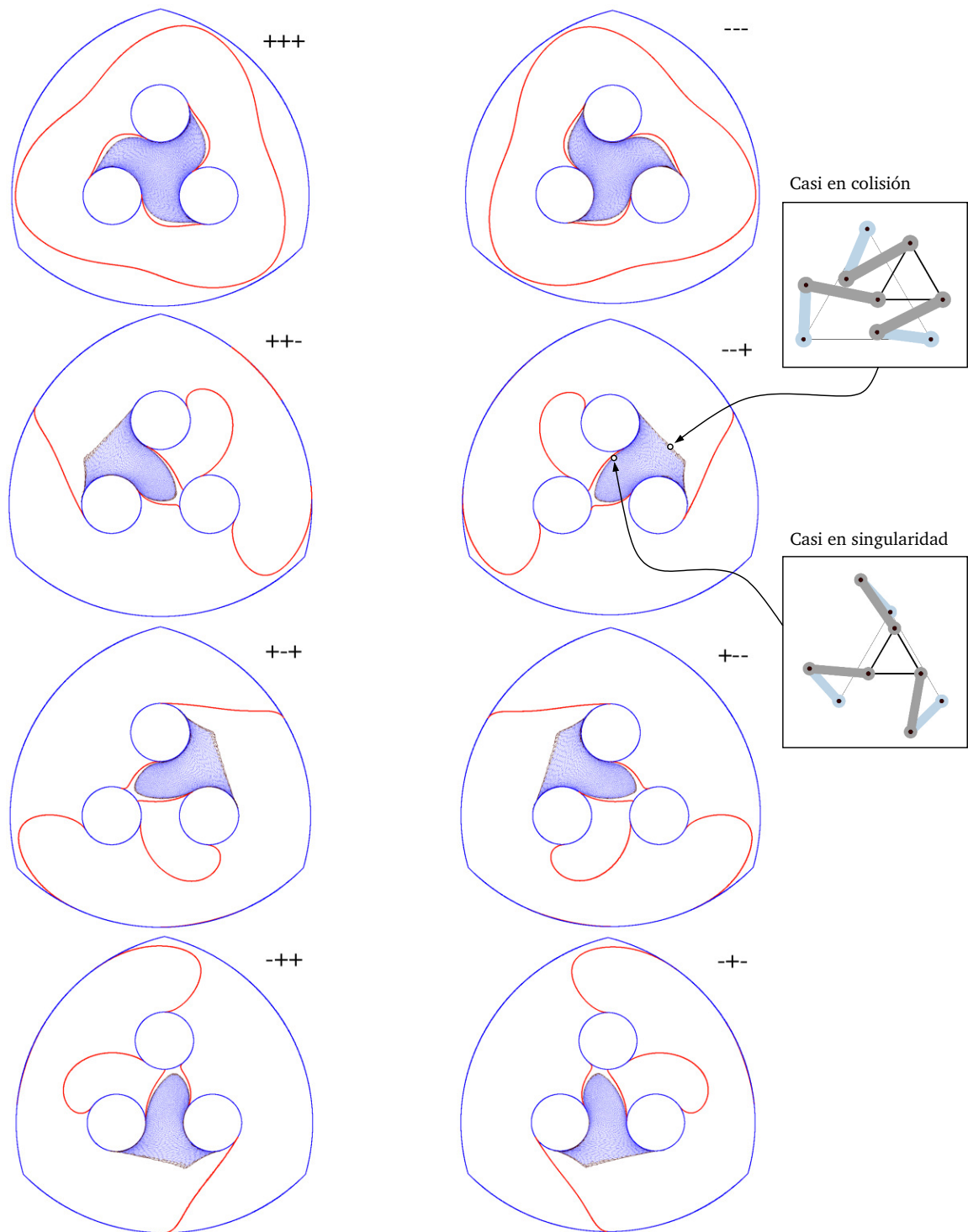


Figura 2.11: Exploración de  $C$  manteniendo  $\theta_8 = 0$  y fijando el modo de trabajo al valor indicado.

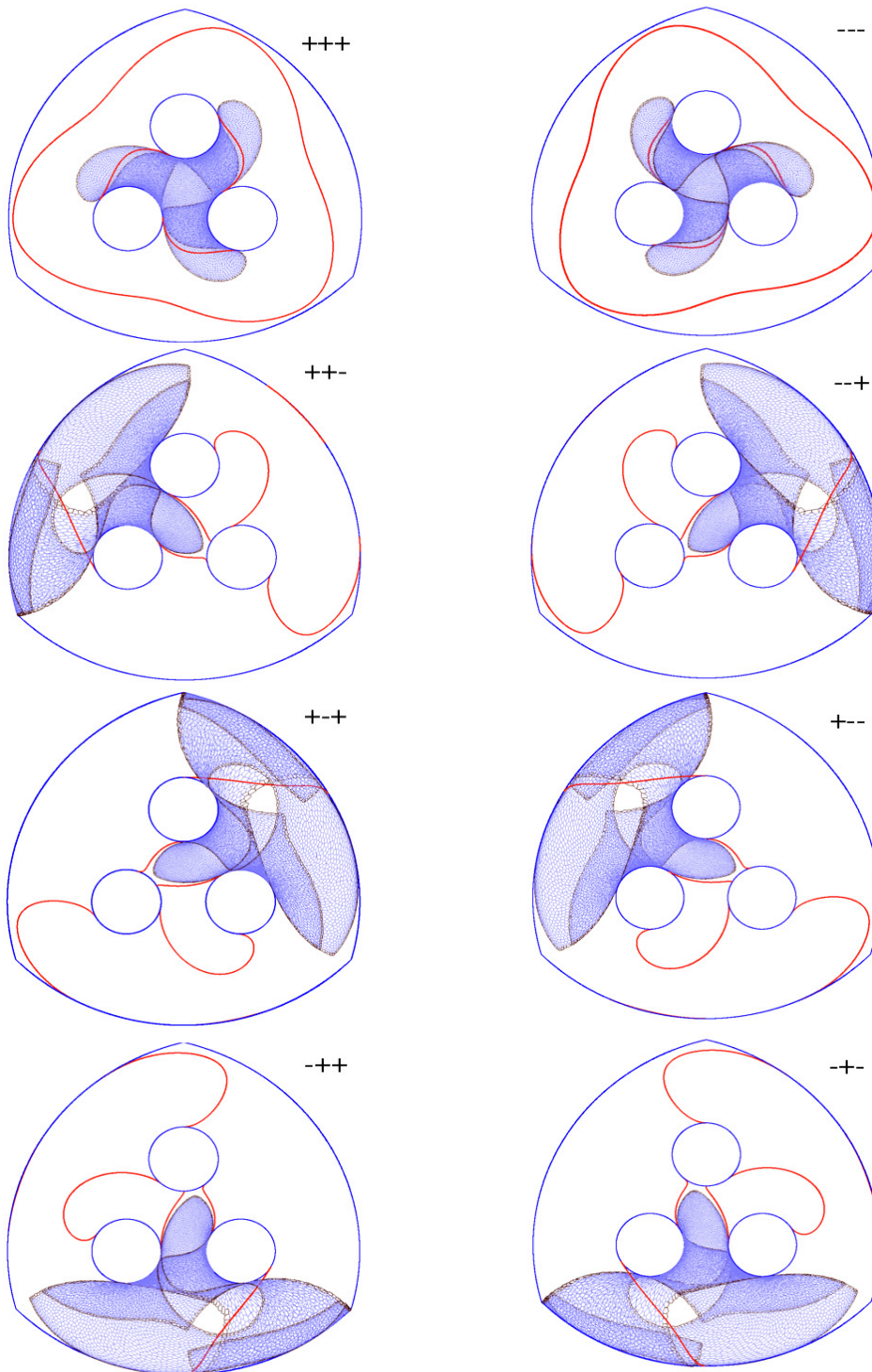


Figura 2.12: Exploración con  $\theta_8 = 0$  pero permitiendo cambios de modo de trabajo en las patas.

factible mucho mayores (Fig. 2.12). Vemos que, de esta manera, el robot puede cambiar entre las distintas zonas indicadas en la Fig. 2.10.

El mayor rango de movimiento del robot, sin embargo, se obtiene permitiendo que  $\theta_8$  sea variable, motivo por el cual hemos preferido que los movimientos que planifiquemos se hagan siempre bajo esta asunción.

## 2.5 Conversión de caminos en trayectorias

En la Sección 2.4 hemos proporcionado un método que permite obtener un camino continuo  $\mathbf{q}_s \rightarrow \mathbf{q}_g$  sobre  $\mathcal{C}$ . Este camino se obtiene muestreado, en la forma descrita en la expresión (2.28), y nuestro objetivo es ahora generar una *trayectoria* en el espacio articular de los tres ángulos actuados

$$\boldsymbol{\theta}(t) = [\theta_2(t), \theta_3(t), \theta_4(t)] \quad (2.29)$$

de manera que el robot pueda seguir el camino sobre  $\mathcal{C}$  al ejecutarla. Esta trayectoria deberá tener en cuenta las limitaciones de velocidad de los motores montados, y las necesidades del sistema de control utilizado.

Como se verá en la Sección 3.6, implementaremos un sistema de control digital, y necesitaremos tanto de  $\boldsymbol{\theta}(t)$  como  $\dot{\boldsymbol{\theta}}(t)$  en sus formas muestreadas

$$\begin{aligned} \boldsymbol{\theta}(kT_s) &= [\theta_2(kT_s), \theta_3(kT_s), \theta_4(kT_s)], \\ \dot{\boldsymbol{\theta}}(kT_s) &= [\dot{\theta}_2(kT_s), \dot{\theta}_3(kT_s), \dot{\theta}_4(kT_s)], \end{aligned}$$

donde  $k$  es el índice de muestra, y  $T_s$  es un período de tiempo fijo preestablecido.

Obtendremos  $\boldsymbol{\theta}(kT_s)$  y  $\dot{\boldsymbol{\theta}}(kT_s)$  en cuatro pasos (Fig. 2.13):

1. Proyectaremos los puntos  $\mathbf{q}_1, \dots, \mathbf{q}_{n_p}$  de (2.28) sobre el espacio articular  $\theta_2\theta_3\theta_4$ , obteniendo los puntos

$$\boldsymbol{\theta}_1, \boldsymbol{\theta}_2, \dots, \boldsymbol{\theta}_{n_p}, \quad (2.30)$$

donde  $\boldsymbol{\theta}_i$  es el subvector de  $\mathbf{q}_i$  formado por  $\theta_2, \theta_3$ , y  $\theta_4$ .

2. Ajustaremos un *spline* paramétrico  $\boldsymbol{\theta}(s) = [\theta_2(s), \theta_3(s), \theta_4(s)]$  a la curva poligonal inducida por  $\boldsymbol{\theta}_1, \dots, \boldsymbol{\theta}_{n_p}$ , donde  $s$  es el parámetro arco del *spline* [Fig. 2.13(a)]. Este ajuste también nos proporcionará el vector velocidad del *spline*  $\dot{\boldsymbol{\theta}}(s) = [\dot{\theta}_2(s), \dot{\theta}_3(s), \dot{\theta}_4(s)]$ .
3. Muestrearemos  $\boldsymbol{\theta}(s)$  y  $\dot{\boldsymbol{\theta}}(s)$  para distintos valores de  $s$ , obteniendo una nueva secuencia de  $n_t$  puntos del espacio articular,  $\boldsymbol{\psi}_1, \boldsymbol{\psi}_2, \dots, \boldsymbol{\psi}_{n_t}$ , consecutivamente equiespaciados una

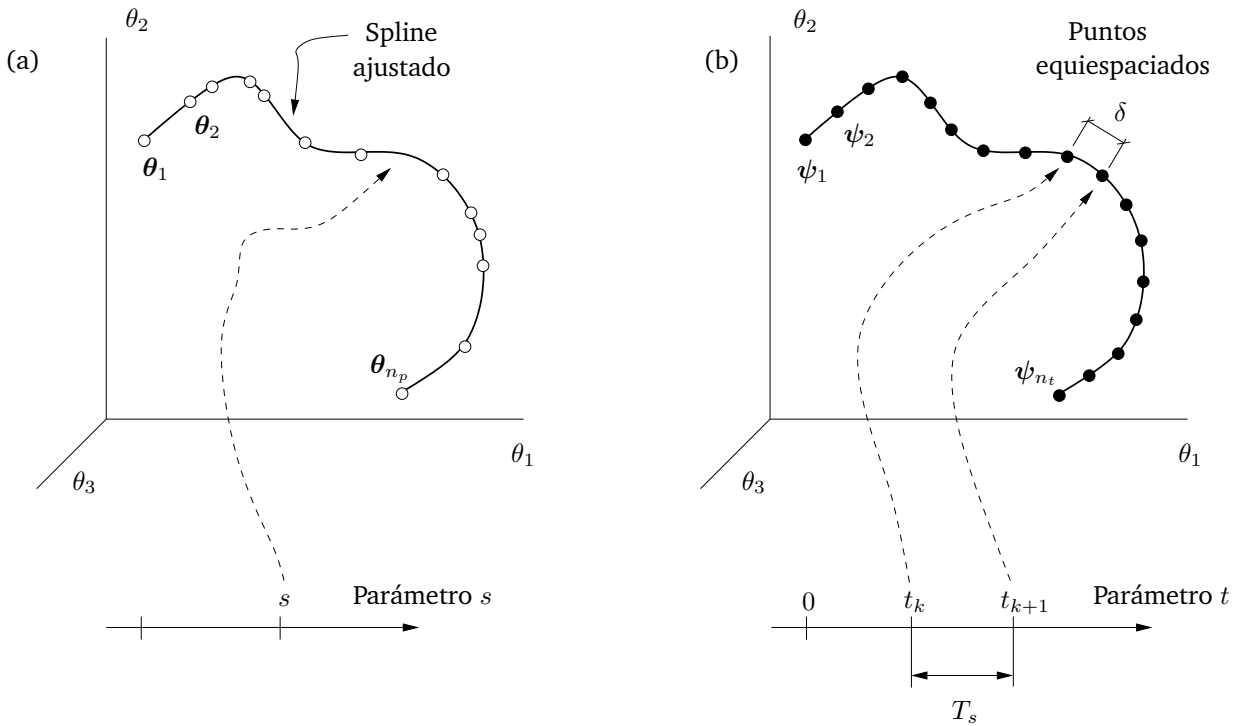


Figura 2.13: Obtención de la trayectoria angular muestreada. (a) Ajuste de un *spline* parametrizado mediante el parámetro arco a la secuencia inicial de puntos del camino. (b) Muestreo del *spline* mediante puntos equiespaciados, y asignación de incrementos de tiempo constante entre puntos.

distancia  $\delta$  sobre el *spline* [(Fig. 2.13(b))], junto con sus respectivos vectores velocidad  $\omega_1, \omega_2, \dots, \omega_{n_t}$ .

- Asignaremos el instante de tiempo  $t_k = kT_s$  a cada muestra  $\psi_i$ , y a su respectivo vector velocidad  $\omega_i$ , de manera que las funciones deseadas serán, finalmente

$$\theta(kT_s) = \psi_{k+1},$$

$$\dot{\theta}(kT_s) = \omega_{k+1},$$

para  $k = 0, \dots, n_t - 1$ .

En relación a este procedimiento, hay que tener en cuenta los siguientes aspectos. En primer lugar, al muestrear el *spline* mediante puntos equiespaciados en  $\delta$  se asegura que el incremento angular máximo entre muestras consecutivas es inferior a  $\delta$  en cualquiera de los ángulos  $\theta_2$ ,  $\theta_3$ , y  $\theta_4$ . Al ser constante  $T_s$ , esto asegura que la velocidad angular máxima que deberá suministrar un motor a lo largo de la trayectoria es  $\omega_{max} = \frac{\delta}{T_s}$ . Debemos escoger  $\delta$  y  $T_s$  de manera que

$\omega_{max}$  esté dentro del rango admitido por los actuadores del robot, procurando, también, que las aceleraciones sean bajas, para simplificar posteriormente el sistema de control (Sección 3.6). Además, el incremento  $\delta$  se debe fijar lo suficientemente pequeño como para que el camino articular quede bien discretizado.

En segundo lugar, el equiespaciado de puntos sobre el *spline*, y la constancia de  $T_s$ , aseguran que recorreremos el camino articular a velocidad constante. Esto nos protege de cambios de velocidad inesperados al pasar cerca de las singularidades inversas. Si hubiéramos escogido movernos a velocidad constante sobre el espacio de tareas  $x-y-\theta_s$ , por ejemplo, en los cambios de modo de trabajo notaríamos el efecto de la sobreaceleración articular [27], que daría lugar a cambios bruscos de velocidad en los actuadores, quizá inadmisibles, y a efectos inerciales indeseados.

En tercer lugar, para ajustar el *spline*  $\theta(s)$ , y obtener sus derivadas  $\dot{\theta}(s)$ , hemos utilizado la estrategia propuesta en [38], que formula el problema en términos de ecuaciones diferenciales que describen la parametrización buscada. Esta estrategia nos permite encontrar un *spline* que pasa por los puntos  $\theta_1, \dots, \theta_{n_p}$  suministrados, parametrizado mediante el parámetro arco  $s$ . Este parámetro toma valores en el rango  $[0, 1]$ , de manera que  $\theta(0) = \theta_1$  y  $\theta(1) = \theta_{n_p}$ , y  $s$  es proporcional a la longitud del camino articular recorrido desde  $\theta(0)$  hasta  $\theta(s)$ . Por lo tanto, para encontrar puntos equiespaciados sobre el camino, basta con evaluar  $\theta(s)$  para  $s = k\frac{\delta}{L}$ ,  $k = 1, \dots, n_t - 1$ , donde  $L$  es la longitud total del camino articular.

Cabe decir, finalmente, que un mejor procedimiento para la obtención de  $\theta(kT_s)$  hubiera consistido en reparametrizar el *spline*  $\theta(s)$  en función del tiempo de acuerdo con la rapidez de ejecución deseada, y analizar el espectro frecuencial de sus señales  $\theta_2(t)$ ,  $\theta_3(t)$ , y  $\theta_4(t)$  resultantes. Un muestreo correcto de estas señales requiere respetar el Teorema de Shannon, con lo cual deberíamos encontrar la frecuencia máxima del espectro,  $f_{max}$ , y muestrear las señales con un período  $T_s \leq \frac{\pi}{f_{max}}$ . Para simplificar la implementación, sin embargo, se ha preferido el método anteriormente expuesto, escogiendo un valor  $\delta$  que proporcione suficientes puntos representativos sobre el camino a recorrer.



# 3

## Ejecución y control de las trayectorias

En este capítulo se detalla cómo se llega a la ejecución de una trayectoria previamente calculada. Para tal fin, necesitaremos un robot 3-RRR, un dispositivo que lo controle, y una interfaz de usuario que nos facilite actuar sobre el robot y analizar su funcionamiento. Empezaremos viendo qué componentes físicos se han utilizado, sus características y su función dentro del sistema. A continuación, se definirá el modo en el que se comunican los tres elementos principales del sistema (el servomotor, la placa de control y la interfaz de usuario). Se seguirá con una descripción general de las funciones de la interfaz gráfica y, para finalizar, se expondrá la estrategia de control adoptada, así como los métodos seguidos para el ajuste de sus controladores.

### 3.1 Arquitectura del sistema

Para poder probar de forma práctica el planificador de trayectorias libres de singularidades y colisiones, se ha diseñado y construido un robot 3-RRR (Fig. 3.1). El sistema desarrollado consta de tres bloques diferenciados (Fig. 3.2):

- *Bloque mecánico*. Incluye la base, la plataforma móvil, eslabones, soportes, y para cada una de las tres patas, un servomotor como actuador, un codificador angular situado en la articulación intermedia, y un conector rotativo que nos permite llevar la señal del codificador angular a la base del robot.
- *Bloque de control*. Tiene como función la comunicación directa con los tres servomotores, actuando de puente entre el usuario y el robot físico. Con este fin se utiliza una placa Arduino, más una circuitería asociada diseñada para adaptarse al protocolo del servomotor.
- *Interfaz de usuario*. Se ha implementado una interfaz en Matlab desde la que el usuario puede, entre otras opciones, ver la configuración actual del robot, planificar, simular o ejecutar trayectorias entre configuraciones dadas.

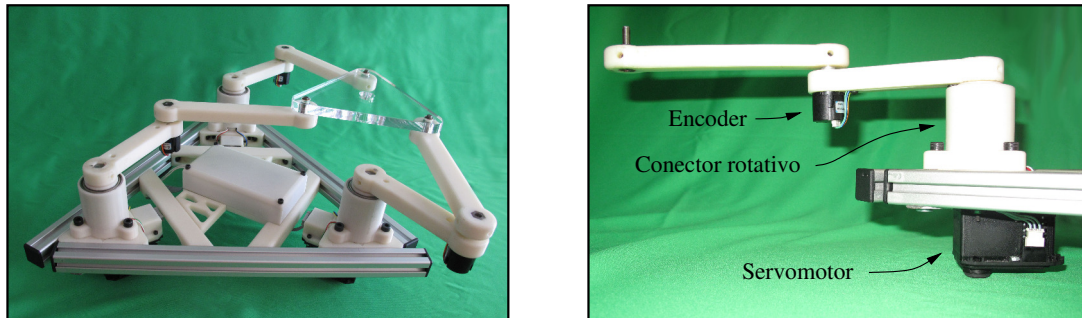


Figura 3.1: Imagen del bloque mecánico y detalle de una pata.

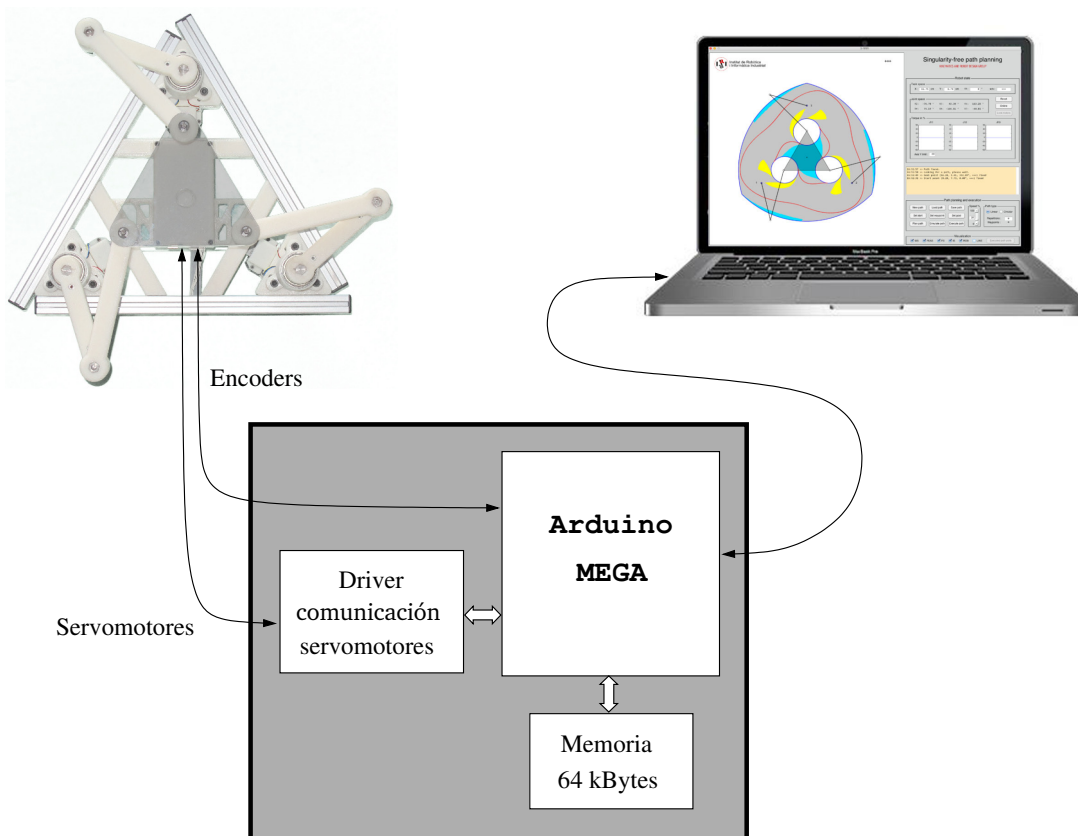


Figura 3.2: Diagrama de bloques de la solución adoptada.

## 3.2 Elementos integrantes

### 3.2.1. Servomotor

Debido a que se pretende que el robot sea fácilmente reproducible y de coste moderado, pero a la vez permita una ejecución suficientemente precisa de trayectorias, se ha seleccionado como actuador el servomotor MX-64T de la serie Dynamixel de la empresa Robotis (Fig. 3.3). Este servomotor, de prestaciones elevadas, ha sido diseñado para aplicaciones robóticas no industriales. Puede trabajar en tres modos distintos: en “modo articulación” (pensado para seguir consignas de posición de 0 a 360°), en “modo rueda” (giro continuo a una velocidad especificada), y en “modo multivuelta” (pensado para seguir consignas de posición en un rango de  $\pm 7$  vueltas). Algunas de sus características principales son:

- Microcontrolador ST CORTEX-M3 (STM32F103C8 @ 72MHZ, 32BIT)
- Codificador angular magnético de 12 bits, rango 360°. (resolución: 0.088°).
- Motor Maxon sin escobillas, serie RE-Max.
- Velocidad máxima de 63 rpm (alimentado a 12V).
- Comunicación serie semi-dúplex (8 bits, 1 stop, sin paridad), velocidad hasta 4.5 Mbps
- Par máximo de 6 Nm a 12V (4.1A).
- PID integrado.
- Realimentación de posición, velocidad, carga, voltaje de entrada, temperatura y corriente.
- Modos de funcionamiento: articulación, rueda y multivuelta.

Para comunicarnos con este servomotor, hay que enviarle instrucciones y en su caso recibir su respuesta, todo ello siguiendo el protocolo de comunicación *Dynamixel communication 1.0* [39].



Figura 3.3: Servomotor Dynamixel MX-64T.

Un ejemplo de instrucción podría ser la lectura de la posición o velocidad actual, o la escritura de consignas de posición, velocidad, parámetros del PID interno, cambios de modo de trabajo, etc. Toda la información relativa al estado actual y el modo de operación del servomotor la tenemos disponible en su tabla de control [40]. El modo de interactuar con el MX-64 será leyendo y/o escribiendo en dicha tabla.

### 3.2.2. Codificador angular

El codificador angular absoluto utilizado es el modelo AEAT-6012 de la marca AVAGO (Fig. 3.4). Es un codificador angular magnético de bajo coste, y de características muy similares al implementado en el servomotor MX-64T. Su función será permitir la medida de los ángulos de las articulaciones intermedias, para así poder conocer la configuración del robot. Algunas de sus características principales son:

- Rango de medición de 0 a 360°.
- Resolución de 12 bits. (0.088°)
- Velocidad de rotación máxima: 12.000 rpm.
- Salida serie SPI, frecuencia máxima: 1 MHz.

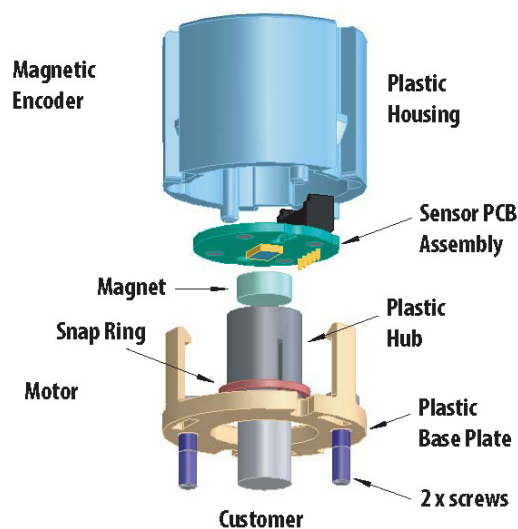


Figura 3.4: Codificador angular AVAGO AEAT-6012.

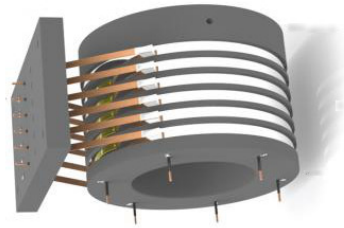


Figura 3.5: Esquema de funcionamiento de un conector rotativo.

### 3.2.3. Conector rotativo

Un conector rotativo<sup>1</sup> es un sistema electromecánico que posibilita la transmisión de señales desde un elemento fijo a otro rotativo. Este componente nos permitirá acoplar la señal del codificador angular de la articulación intermedia a la base del manipulador, evitando así tener que utilizar un cable directo entre codificador y base, que estaría expuesto a la fatiga de la rotación de la articulación de la base y a enrollamientos indeseados. El modelo utilizado es el BTH1256 de la marca ByTune Electronics (Fig. 3.5). Algunas de sus características principales son:

- Número de circuitos: 6.
- Corriente máxima por circuito: 5A.
- Velocidad de rotación máxima: 1.000 rpm.

### 3.2.4. Placa Arduino

Arduino es una plataforma de hardware y código abierto, de bajo coste, muy extendida para la realización de prototipos electrónicos de complejidad media-baja. Su hardware consta de una placa electrónica con un microcontrolador y diversos periféricos como puertos de entrada/salida analógicos y digitales, generadores de PWM, puertos de comunicación, etc. Existen muchas versiones diferentes de hardware Arduino, cada una con sus características<sup>2</sup>. Se programa mediante un lenguaje de programación propio (basado en Wiring), y el software de Arduino (IDE), basado en Processing [41].

Para este proyecto se ha seleccionado la placa Arduino Mega Rev. 3, básicamente por tener más de un puerto serie hardware y por destacar dentro de estos dispositivos por su tamaño de

<sup>1</sup>También llamado de anillos rozantes, colector de anillos, o *slip ring* en inglés.

<sup>2</sup>En la página <https://www.arduino.cc/en/Main/Products> podremos encontrar una comparación de las características principales de las diferentes placas Arduino.

memoria RAM. Sus funciones en el sistema serán:

- Hacer posible la comunicación entre los servomotores y la interfaz gráfica de Matlab.
- Permitir la lectura de los codificadores angulares.
- Controlar la lectura-escritura en la memoria externa.
- Control a bajo nivel de la trayectoria planificada.

### 3.2.5. Driver de comunicación con el servomotor

Para controlar los actuadores Dynamixel, la placa Arduino requiere de un driver para convertir su señal del puerto serie, duplex, (dos líneas de comunicación, RX y TX) a una señal semi-dúplex (una línea de comunicación en la que se alternan señales de transmisión y recepción). Con este fin se ha utilizado el integrado TTL 74F244, compuesto por ocho buffers con salida tri-estado. (Fig. 3.6)

Los pines 2 y 3 de Arduino nos servirán para marcar los intervalos en los que la señal serie semi-dúplex del bus de los servomotores estará en modo de transmisión o de recepción.

### 3.2.6. Memoria externa

Utilizaremos una memoria serie SPI SRAM de 512 kbits, modelo 23LCV512, para almacenar dos tipos de datos:

- La tabla de consignas que Matlab enviará a Arduino cada vez que se tenga que ejecutar una trayectoria en el robot. Por cada punto de la trayectoria, se enviarán 14 bytes almacenados en una fila de la tabla de consignas.

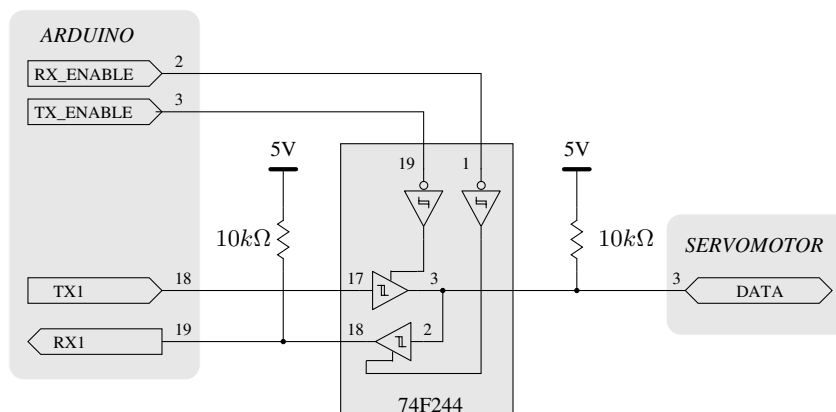


Figura 3.6: Esquema del driver de comunicación implementado.

- La información leída desde los servomotores mientras se está ejecutando una trayectoria en el robot. Por cada punto de la trayectoria se generará una muestra de 42 bytes.

Dividiendo la capacidad total de la memoria (64 kBytes) por la cantidad de bytes que deberemos almacenar en la memoria externa por cada punto de la trayectoria (56 bytes), obtenemos que el número máximo de puntos que podrá tener la trayectoria a ejecutar es de 1142. Teniendo en cuenta este valor, se ha dividido la memoria externa en dos bloques (Tabla 3.1). En el primero se almacenará la tabla de consignas y en el segundo las muestras adquiridas durante la trayectoria.

Área	Tamaño(bytes)	Dirección
Tabla de consignas	15.988	0 .. 3E74h
Muestras	47.964	3E75h .. F9D1h

Tabla 3.1: Uso de la memoria externa SRAM.

### 3.2.7. Conversor serie-USB

Para facilitar la depuración del código de la placa Arduino, se ha incorporado un conversor serie-USB. Este nos permite utilizar el puerto serie 2 de Arduino Mega para enviar información, vía USB, a una aplicación de terminal. En el programa de Arduino se ha creado una variable booleana llamada *DEBUG*, que habilita el envío de dicha información, que incluye el estado actual del programa, la ocurrencia de errores al enviar o recibir tramas de comunicación o la ejecución de determinadas funciones, entre otros aspectos.

## 3.3 Conexión de los elementos integrantes

En la Fig. 3.7 se representa de forma esquemática la conexión física de todos los elementos de la parte hardware del sistema. Cabe destacar tres aspectos de la implementación efectuada:

- El módulo USB-Serie es prescindible durante la ejecución, ya que se ha usado en la etapa de depuración del programa realizado en Arduino.
- Los dos pulsadores indicados en el esquema no tienen ninguna función asignada en la versión final, por lo que también son prescindibles.
- La placa Arduino Mega viene habilitada por defecto con la opción de efectuar un reset automático por software. Esto permite que la escritura en el dispositivo la pueda iniciar el software de programación sin necesidad de pulsar el botón de reset. Sin embargo, en la aplicación final se ha desactivado dicha opción (cortando una pista del circuito impreso

diseñada con este propósito) ya que este reset provocaba un retardo de unos dos segundos cada vez que se abría el puerto de comunicación con el robot. Esto implica que para programar la placa Arduino, tras pulsar el botón *Upload* de la aplicación Arduino, habrá que pulsar el botón físico de Reset para que la placa Arduino entre en modo programación.

## 3.4 Comunicación entre dispositivos

Para que dos elementos capaces de enviar y recibir información se comuniquen con éxito se requiere que “hablen el mismo idioma”. En esta sección nos centraremos en ver de qué modo se comunican los tres elementos más relevantes del sistema. En un primer apartado se tratará la comunicación servomotor – Arduino, que como veremos se rige por el protocolo establecido por Robotis para el control de sus servomotores Dynamixel [39]. El segundo apartado lo dedicaremos a ver la comunicación Arduino – Matlab. En este caso se ha desarrollado un protocolo específico con el objeto de establecer una comunicación fiable entre ambos dispositivos.

### 3.4.1. Comunicación servomotor - Arduino

El servomotor MX-64T y la placa Arduino se comunican mediante el envío y recepción de datos encapsulados en paquetes, siguiendo el protocolo definido por Robotis, *Dynamixel communication 1.0*. En este protocolo se establecen dos tipos de paquetes:

- **Instruction packet.** Paquete enviado por el dispositivo maestro para controlar el servomotor. La estructura de un *Instruction Packet* es:



El controlador puede enviar siete ordenes distintas, en función del valor del campo *INSTRUCTION* del paquete. La Tabla 3.2 enumera los siete posibles valores de este campo.

Valor	Nombre	Función
0x01	PING	Envío de Status Packet desde el servomotor.
0x02	READ_DATA	Lectura de datos desde el servomotor.
0x03	WRITE_DATA	Escritura de datos hacia el servomotor.
0x04	REG WRITE	Escribe en el servomotor sin ejecutar la acción.
0x05	ACTION	Ejecuta la escritura de valores registrados.
0x06	RESET	Reinicia valores de fabrica de los parámetros del servomotor.
0x83	SYNC WRITE	Sirve para controlar diferentes servomotores simultáneamente.

Tabla 3.2: Comandos aceptados por el servomotor.

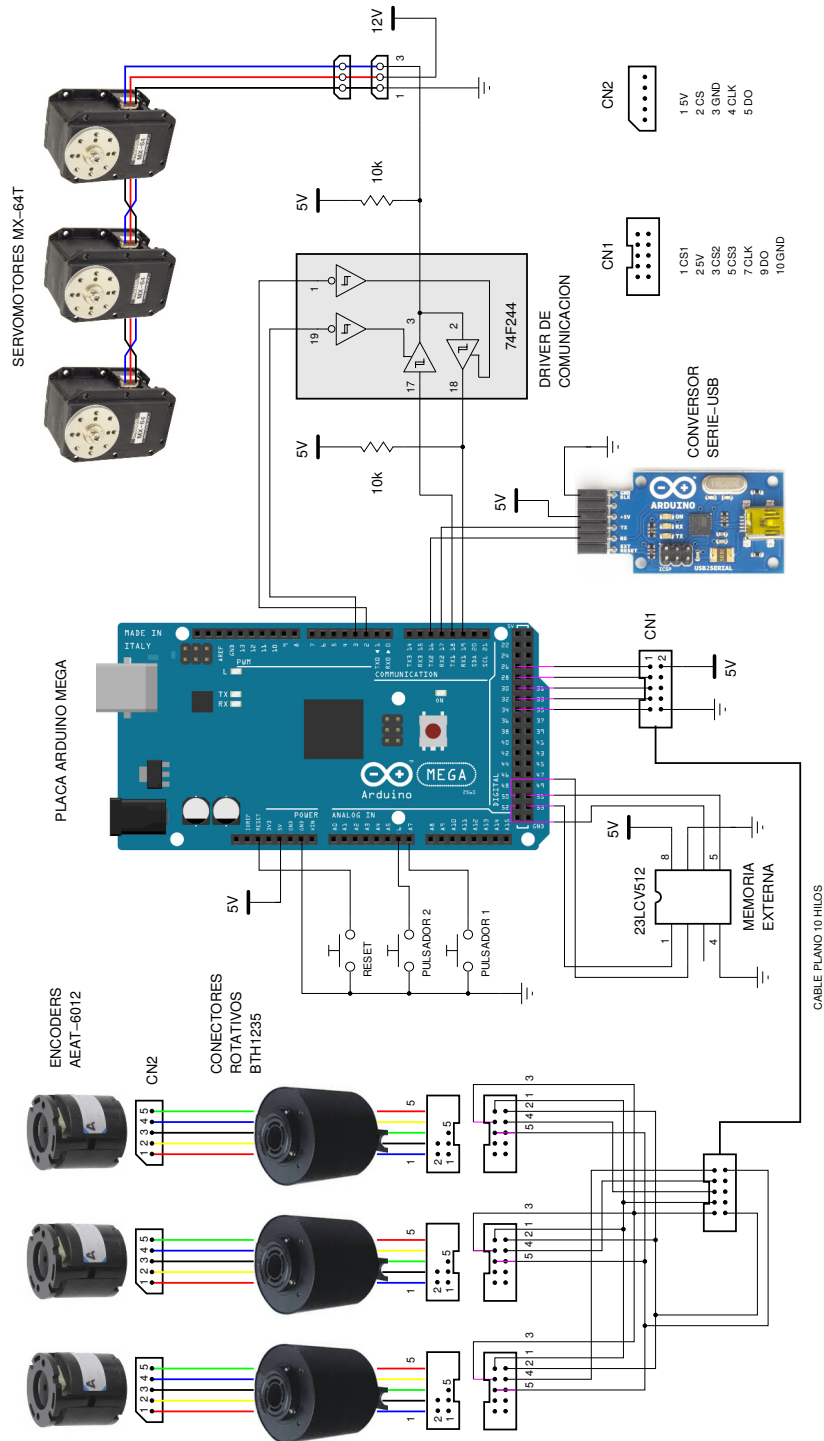


Figura 3.7: Esquema de conexionado de los elementos integrantes.

- **Status packet.** Paquete de respuesta del servomotor al dispositivo maestro. La estructura de un *Status Packet* es:



En función del tipo de instrucción enviada por el controlador, variará la información de respuesta escrita en los campos de parámetros del *Status Packet*<sup>3</sup>.

Para que la placa Arduino pueda controlar los servomotores, se han programado una serie de funciones que permiten el intercambio de datos, haciendo uso de los dos formatos de trama definidos anteriormente. Estas funciones se han escrito en lenguaje Arduino y se ejecutarán en esta placa. A continuación se explican estas funciones de forma resumida.

En primer lugar se han implementado estas funciones de bajo nivel:

- *instructionPacket*: Genera y envía un paquete *Instruction packet* al servomotor.
- *statusPacket*: Recibe un paquete *Status packet* devuelto por el servomotor como respuesta a un paquete *Status packet*.
- *instructionStatus*: Envía un *Instruction packet* y recibe su correspondiente *Status packet*.

Haciendo uso de las funciones de bajo nivel, se han implementado otras funciones para facilitar el envío de comandos aceptados por el servomotor.

- *mxPing*: Envía una instrucción PING al servomotor especificado y recibe su respuesta.
- *mxReadDataByte*: Lee un byte de la memoria (Tabla de control) del servomotor.
- *mxReadDataWord*: Lee una palabra (dos bytes) de la memoria del servomotor.
- *mxWriteDataByte*: Escribe un byte de la memoria del servomotor.
- *mxWriteDataWord*: Escribe una palabra de la memoria del servomotor.
- *mxRegWriteSpeed*: Registra una consigna de velocidad en la memoria del servomotor sin ejecutarla hasta que se reciba la instrucción ACTION. Esta función la utilizaremos al ejecutar trayectorias con el fin de poder escribir las consignas de velocidad en los tres servomotores a la vez.
- *mxAction*: Envía una instrucción ACTION a los servomotores.
- *initializeControlTable*: Inicializa la Tabla de control del servomotor a un estado definido.

<sup>3</sup>En la página [http://support.robotis.com/en/product/dynamixel/communication/dxl\\_packet.htm](http://support.robotis.com/en/product/dynamixel/communication/dxl_packet.htm) se encuentra una descripción detallada de cada uno de los campos de ambos paquetes.

### 3.4.2. Comunicación Arduino - Matlab

La interfaz gráfica de usuario, programada en Matlab, necesita interactuar con los servomotores para poder ejecutar las trayectorias planificadas o para leer la configuración actual del robot. Estas tareas implican la adquisición o envío de información de forma cíclica con unos tiempos de ciclo, en algunos casos, del orden de decenas de milisegundos, y dependiendo de la exactitud con la que se mida este tiempo, el resultado será mejor o peor. Por esta razón se decidió utilizar la placa Arduino para llevar la comunicación más directa con los servomotores, pudiendo su microcontrolador alcanzar resoluciones del orden de microsegundos en vez de milisegundos, que es la que obtendríamos si el control de los servomotores se hiciera directamente desde Matlab. Resuelta la comunicación servomotores - Arduino, en la que Arduino actuaba de dispositivo maestro y el servomotor de esclavo, ahora Matlab será el que comande a Arduino, y este responderá realizando la acción que le ha sido solicitada. Para que ambos se entiendan, se ha definido un protocolo muy parecido al utilizado por el servomotor. En él se definen dos tipos de paquetes:

- **Matlab Command Packet.** Paquete enviado por Matlab para solicitar una acción a Arduino. Su estructura es:



El campo INSTRUCTION puede contener los valores enumerados en la Tabla 3.3.

Valor	Función
0x02	Envía la posición de los tres servomotores y encoders AVAGO.
0x03	Recibe una Tabla de trayectoria y ejecuta dicha trayectoria.
0x04	Envía un paquete <i>Instruction packet</i> directamente desde Matlab a un servomotor.
0x05	Envía un paquete <i>Instruction packet</i> directamente desde Matlab a un servomotor y devuelve el paquete de respuesta <i>Status packet</i> a Matlab.
0x06	Escribe una palabra (dos bytes) en la memoria externa SRAM.
0x07	Lee una palabra desde la memoria externa SRAM.
0x08	Envía la posición de los tres servomotores, de los encoders AVAGO y de la variable de la Tabla de control CURRENT LOAD.

Tabla 3.3: Comandos aceptados por Arduino desde Matlab.

- **Matlab Answer Packet.** Paquete de respuesta de Arduino a la petición desde Matlab. Su estructura es:



Esta vez, el protocolo no ha venido fijado por uno de los dos dispositivos que se han de comunicar. Por ello, para hacer que tanto Arduino como Matlab lo utilicen, habrá que programar ambos dispositivos. Veamos las funciones implementadas en cada uno de ellos.

Las funciones implementadas en Arduino son:

- *rcvMatlabCommand*: Recibe un paquete *Matlab Command Packet* y lo guarda en la matriz *MatlabPacket* con la estructura:

$$\text{MatlabPacket}[] = \{\text{length, instruction, parameter 1, \dots, parameter N, checkSumReceived}\}$$

- *sendMatlabAnswer*: Envía un paquete *Matlab Answer Packet* desde la matriz *MatlabAnswer*, con la estructura:

$$\text{MatlabAnswer}[] = \{\text{head, length, error, parameter 1, \dots, parameter N, checkSum}\}$$

- *matlabInstrPacket*: Permite llamar directamente a la función de bajo nivel *instructionPacket* de la comunicación servomotor - Arduino. Con esta función Matlab puede enviar una trama *Instruction packet* hacia el servomotor.
- *matlabInstructionStatus*: Permite llamar directamente a la función de bajo nivel *instructionStatus* de la comunicación servomotor - Arduino. Con esta función Matlab puede enviar una trama *Instruction packet* hacia el servomotor y recibir la trama de respuesta generada.

Las funciones implementadas en Matlab son:

- *commandtoarduino*: Envía un paquete *Matlab Command Packet* hacia Arduino, para solicitar una de las acciones descritas en la Tabla 3.3.
- *answerfromarduino*: Recibe un paquete *Matlab Answer Packet* desde Arduino, como respuesta a una acción previa solicitada por Matlab.

## 3.5 La interfaz de usuario

La interfaz gráfica de usuario es el entorno gráfico que facilita el acceso a las capacidades principales del sistema diseñado: la definición de las configuraciones inicial y final, la planificación, ejecución y visualización de trayectorias, etc. En su concepción, además de servir como base de experimentación de las distintas partes del proyecto, se ha intentado que fuera una herramienta didáctica que facilitara la comprensión del concepto de singularidad en manipuladores paralelos. Para este uso no es necesario contar con el robot ya que en modo simulación se puede interactuar con el manipulador así como planificar y simular la ejecución de trayectorias.

La interfaz desarrollada (Fig. 3.8) tiene dos modos de funcionamiento diferenciados según si hay comunicación con el robot físico o no. En modo de funcionamiento “sin conexión” podemos:

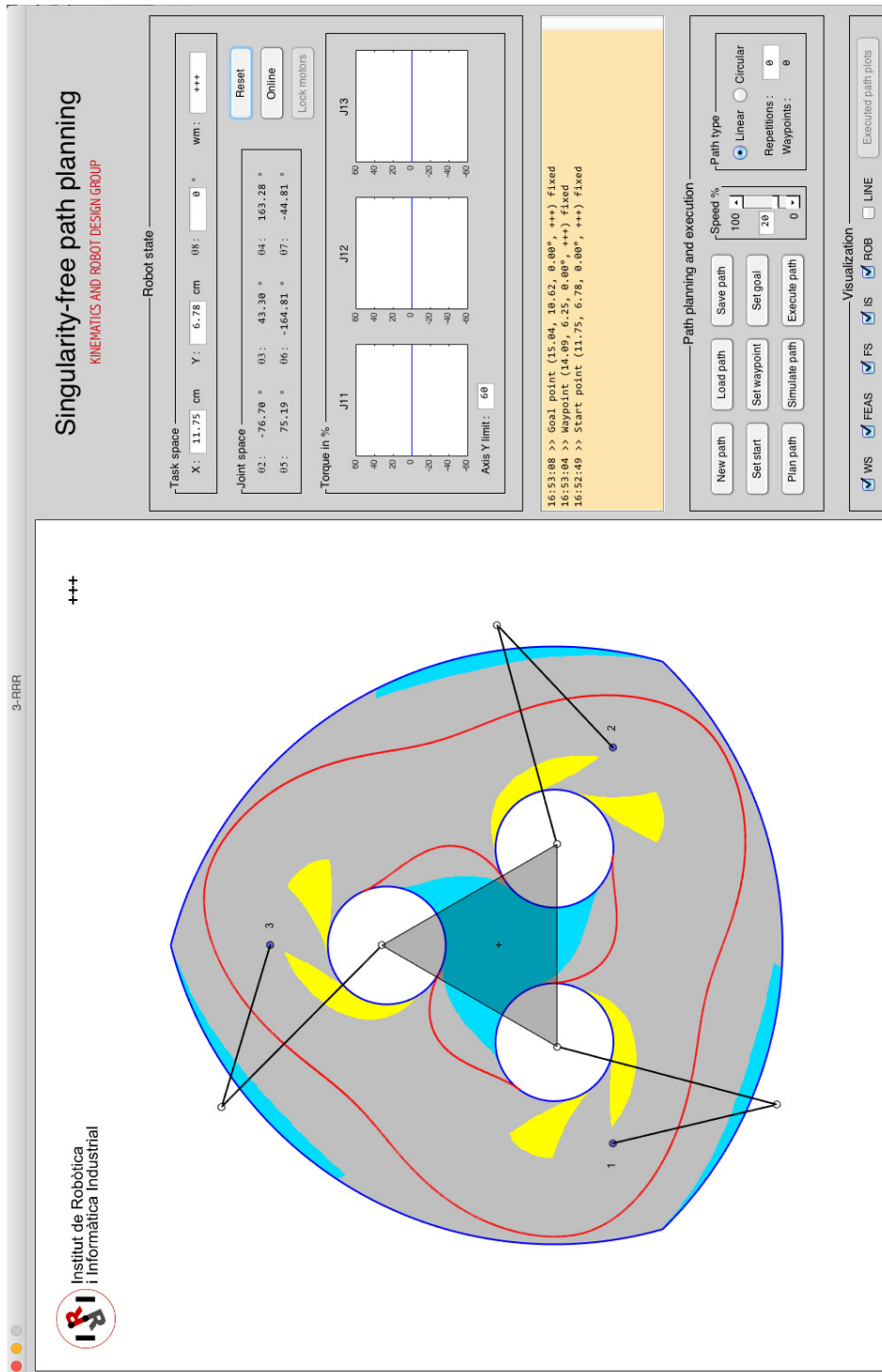


Figura 3.8: Interfaz de usuario implementada.

- Visualizar, habilitando las siguientes capas como deseemos,
  1. La configuración del robot.
  2. El espacio de trabajo sin considerar colisiones.
  3. El espacio de trabajo útil, considerando colisiones y zonas próximas a singularidades. Este espacio lo representamos en la interfaz con zonas de color azul y amarillo, que se corresponden a las configuraciones en las que  $\det(\mathbf{A}) = 0$  (Secc. 2.3.2) tiene signo negativo o positivo, respectivamente.
  4. Las singularidades directas.
  5. Las singularidades inversas.
  6. Las rectas soporte de los tres eslabones distales.
- Cambiar el modo de trabajo de cada una de las patas, mediante las teclas “1”, “2” y “3”.
- Arrastrar el efector final, manteniendo pulsado el botón izquierdo del ratón, a cualquier punto del espacio de trabajo.
- Modificar la posición del triángulo móvil con las teclas de dirección, y su orientación mediante las teclas “+” y “-”.
- Modificar la configuración del robot editando las coordenadas del efector en el espacio de trabajo.
- Planificar caminos libres de singularidades directas entre una configuración de inicio y otra final, pasando por los puntos intermedios que definamos, siempre que ese camino exista.
- Guardar o cargar una trayectoria desde fichero.
- Simular la ejecución de una trayectoria previamente cargada o calculada.

En el modo de funcionamiento “con conexión” podemos:

- Visualizar en tiempo real, combinando las capas que deseemos:
  1. La configuración del robot.
  2. El espacio de trabajo sin considerar colisiones.
  3. El espacio de trabajo útil, considerando colisiones y zonas próximas a singularidades.
  4. Las singularidades directas.
  5. Las singularidades inversas.

6. Las rectas soporte de los tres eslabones distales.

- Mover cada una de las articulaciones actuadas del robot en ambos sentidos mediante las teclas:

Articulación	Giro derecha	Giro izquierda
1	q	a
2	w	s
3	e	d

- Mover el efector final. Con las flechas de dirección del teclado podremos cambiar su posición, mientras que pulsando las teclas “+” y “-”, cambiaremos su orientación.
- Bloquear las articulaciones actuadas evitando que se muevan.
- Ver el par ejercido por cada actuador, expresado en porcentaje sobre el par máximo que puede efectuar.
- Planificar caminos libres de singularidades directas entre una configuración de inicio y otra final pasando por los puntos intermedios que definamos, siempre que ese camino exista.
- Guardar o cargar una trayectoria.
- Ejecutar o simular una trayectoria previamente cargada o calculada.
- Modificar la velocidad a la que se ejecuta la trayectoria, el número de veces que se repite la ejecución de la trayectoria y si la trayectoria es circular o no.
- Visualizar la configuración del robot y los puntos por los que va pasando mientras se ejecuta una trayectoria.
- Visualizar los gráficos en los que se muestran los datos adquiridos de los servomotores durante la ejecución de la trayectoria. (Fig. 3.9)

## 3.6 Control de movimientos

### 3.6.1. Estrategia de control

Para conseguir que el efector final siga una trayectoria dentro de su espacio de trabajo, cada articulación actuada del robot debe controlarse de modo que siga con el mínimo error posible

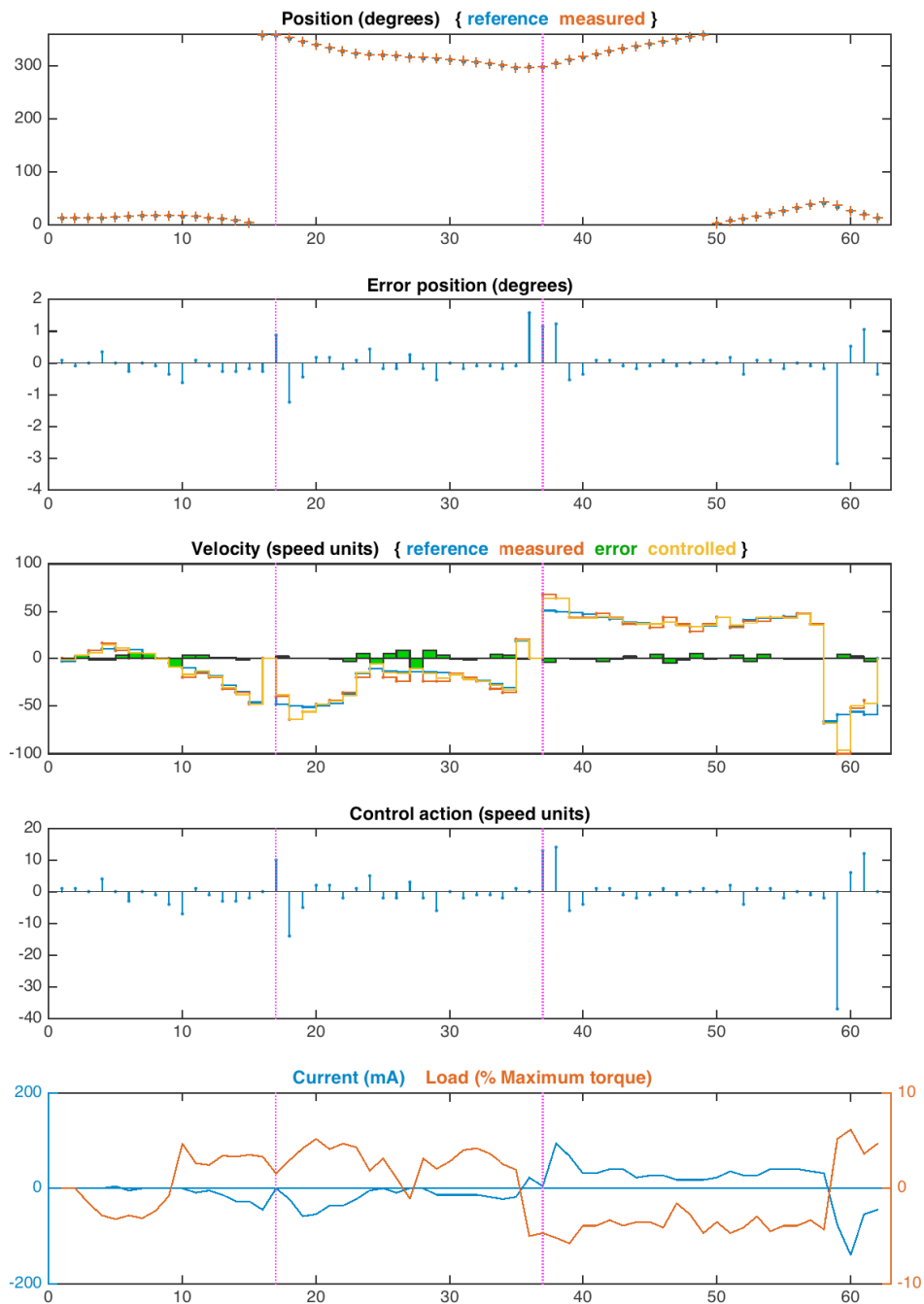


Figura 3.9: Ejemplo de gráficas con datos adquiridos, de un servomotor, durante la ejecución de una trayectoria.

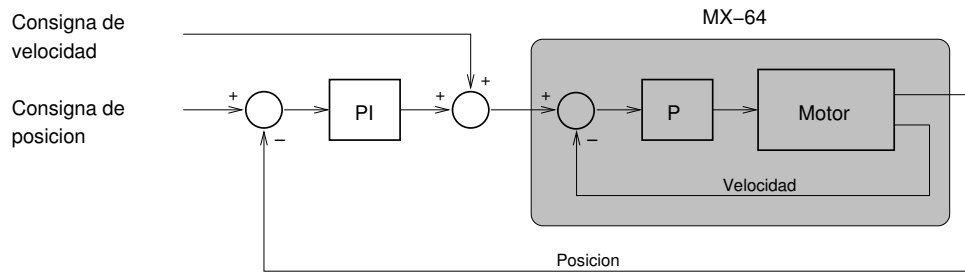


Figura 3.10: Esquema de bloques del controlador de un actuador.

su correspondiente trayectoria en el espacio articular. Se ha utilizado una estrategia de control articular independiente, en la que la trayectoria de cada servomotor se controla de manera individual, sin considerar la trayectoria seguida por las restantes articulaciones [3, Sección 9.4.2]. De este modo tendremos tres esquemas de control iguales, uno por cada articulación actuada (Fig. 3.10). Cada controlador estará formado por dos lazos de control anidados. El lazo externo seguirá la consigna de posición, y actuará ajustando el valor de la consigna de velocidad previamente calculada. La consigna de velocidad resultante será la entrada del lazo interno de control de velocidad.

Como el robot se moverá lentamente, las aceleraciones a que estará sometido serán pequeñas, y por tanto, con respecto al par resistente de inercia, se podrá suponer que es despreciable. Además, como el robot es ligero, el par resistente debido al efecto de la gravedad será también pequeño, y para nuestro propósito, no lo tendremos en consideración. En [3] se explica cómo tratar estas perturbaciones de par en caso de que deban tenerse en cuenta.

### 3.6.2. Ajuste del controlador interno

Cada servomotor lleva integrado un controlador PID que podemos ajustar mediante los registros “P Gain”, “I Gain” y “D Gain” de su tabla de control. La relación entre estos parámetros y las constantes  $K_p$ ,  $K_i$  y  $K_d$  del PID es la siguiente:

$$K_p = P_{GAIN}/8,$$

$$K_i = (I_{GAIN} \cdot 1000)/2048,$$

$$K_d = (D_{GAIN} \cdot 4)/1000.$$

Su ajuste se ha realizado de forma heurística, entrando una señal de consignas de velocidad al servomotor y graficando su salida para diferentes valores de P Gain, I Gain y D Gain. (Fig. 3.11). En base a los resultados de estos experimentos y teniendo en cuenta que el robot se moverá a

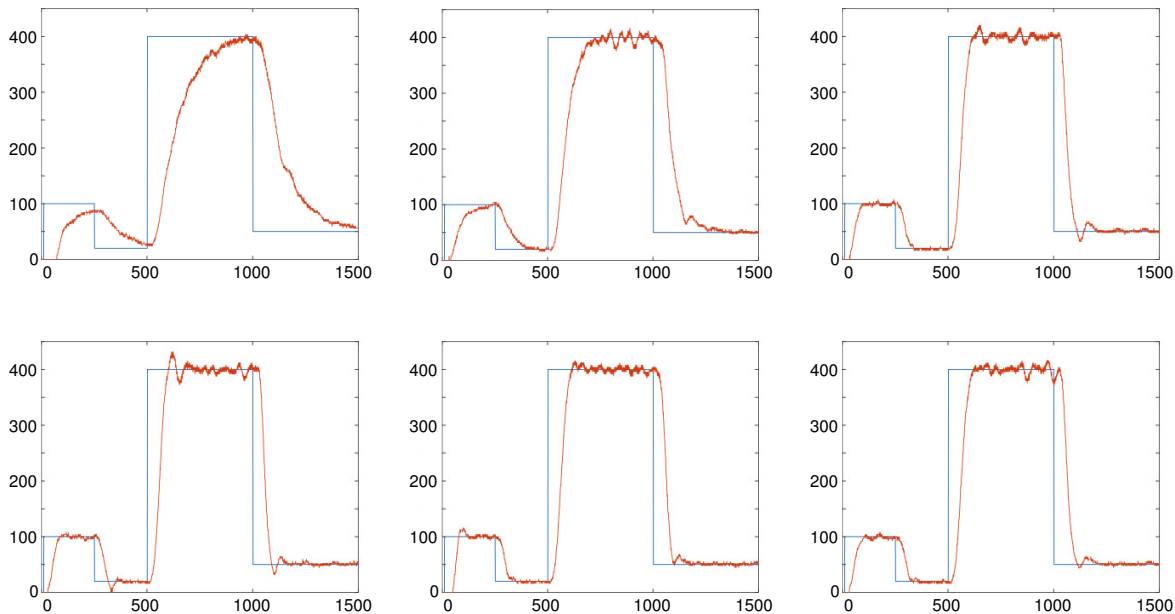


Figura 3.11: Respuesta del servomotor a diferentes parámetros en su PID interno. En color azul se representa la consigna de velocidad y en rojo la lectura de la velocidad del motor. En el eje de abscisas tenemos el número de muestra (el periodo de muestreo es de 1 ms). El eje de ordenadas está medido en unidades de velocidad del MX-64 (1 unidad de velocidad son 1.1245 rpm). De arriba a abajo, izquierda a derecha, representados con el vector (P Gain, I Gain, D Gain), (8, 0, 0), (16, 0, 0), (32, 0, 0), (40, 0, 0), (32, 1, 0), (32, 0, 1). El experimento se ha realizado sin el efector final acoplado y con el eslabón distal colocado sobre el proximal.

baja velocidad, se ha configurado su PID interno para trabajar como controlador proporcional, con  $K_p = 4$  ( $P_{GAIN} = 32$ ). Con este valor se obtiene un tiempo de subida reducido manteniendo el sistema alejado de la inestabilidad y evitando en lo posible los sobrepicos. Por otro lado, este es el valor configurado por defecto en el servomotor.

### 3.6.3. Diseño del controlador externo

Con vistas al diseño del controlador externo de posición, es deseable disponer de un modelo dinámico del controlador interno. El método utilizado para su obtención ha sido la identificación del sistema mediante datos experimentales. El elemento principal del sistema a identificar será el servomotor, con su PID configurado para trabajar en modo control proporcional, con  $K_p = 4$ , tal como se determinó en el punto anterior. De esta manera, el sistema de control de velocidad en lazo cerrado es esencialmente de primer orden, simplificándose así el modelo que se obtendrá mediante la identificación. El primer paso es obtener datos experimentales del sistema. Para

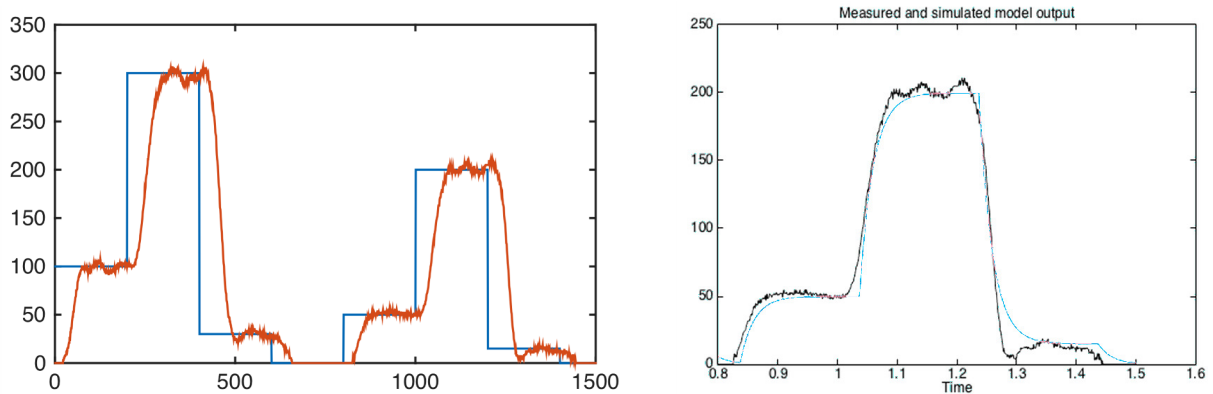


Figura 3.12: A la izquierda se grafican los datos experimentales: la primera mitad son utilizados para la identificación y la segunda para la validación del modelo. A la derecha se representan los datos de salida del modelo superpuestos a los experimentales.

ello lo excitamos con una señal de consignas de velocidad y registramos su respuesta. La señal de entrada se ha seleccionado de forma que la salida sea suficientemente informativa sobre la dinámica del sistema (Fig. 3.12). El servomotor actúa sobre el motor mediante una señal PWM (*Pulse-width modulation*) con una frecuencia medida de 23,4 kHz, muy superior a la frecuencia del lazo externo de posición considerada, de unos 6.3 Hz, por lo que identificaremos un modelo en tiempo continuo del controlador interno. Con estos datos experimentales, utilizamos la aplicación de identificación de sistemas de la *System Identification Toolbox* de Matlab, obteniendo la siguiente función de transferencia de primer orden con retardo como modelo del sistema:

$$TF_{sistema} = \frac{1.0009}{0.0271 \cdot s + 1} \cdot e^{-0.037 \cdot s}. \quad (3.1)$$

En la fase de validación del modelo, se utilizan parte de los datos experimentales no considerados en la identificación para ver la concordancia entre la salida del modelo y la salida real del sistema. En nuestro caso, la aplicación de identificación nos devuelve una concordancia del 87.77% (Fig. 3.12).

Para determinar los parámetros del PID de posición se ha implementado una simulación en Simulink (Fig. 3.13). Como se aprecia en la figura, el controlador de posición es un PID con prealimentación de la consigna de velocidad. El control anticipativo permite obtener errores de posición bajos con valores también bajos de la ganancia proporcional del PID. Haciendo pruebas con el simulador, se ha visto que fijando  $K_p = 1$  y  $K_i = 0.4$ , se obtienen errores de posición angular de máximos de  $\pm 15$  grados en cada articulación (Fig. 3.14), mientras que estos errores se reducen a  $\pm 2$  grados cuando se activa la prealimentación (Fig. 3.15). Con los

valores de  $K_p$  y  $K_i$  mencionados, y la prealimentación de velocidad activada, la trayectoria se sigue notablemente bien, tanto en simulación como experimentalmente. Por tanto, se han fijado estos parámetros en la implementación real.

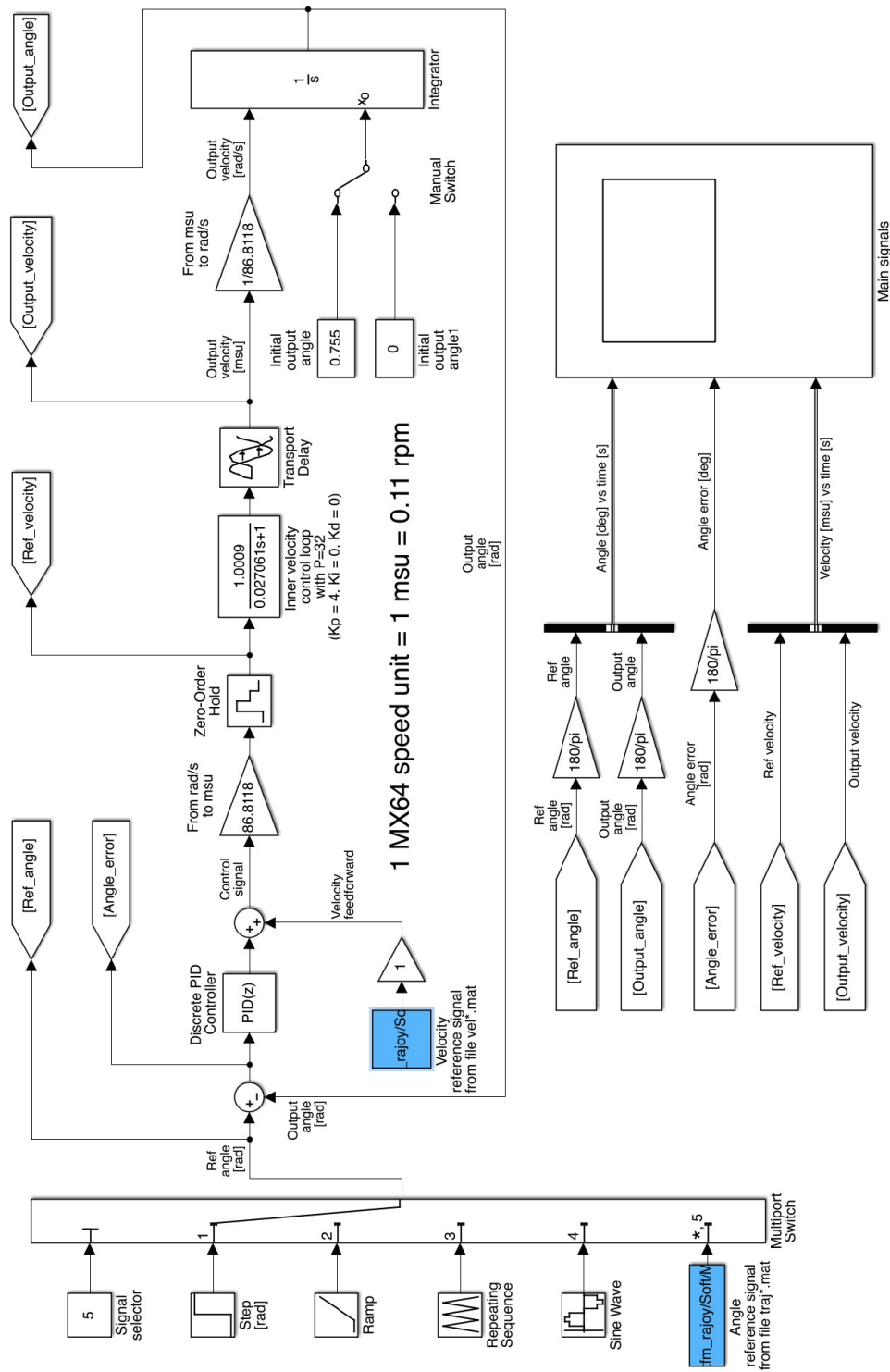


Figura 3.13: Modelo Simulink del sistema de control de una articulación.

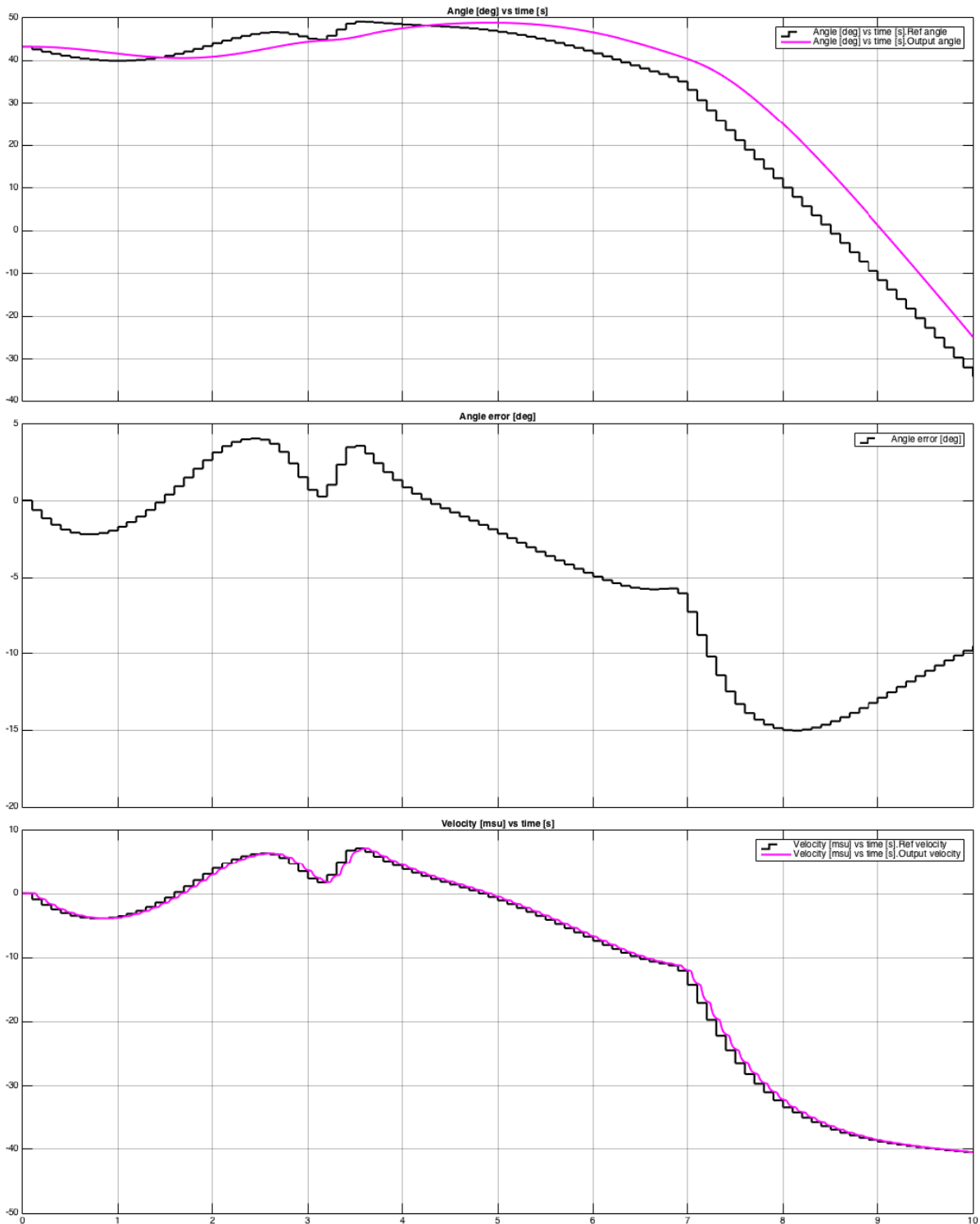


Figura 3.14: Resultados de simulación sin prealimentación de velocidad.

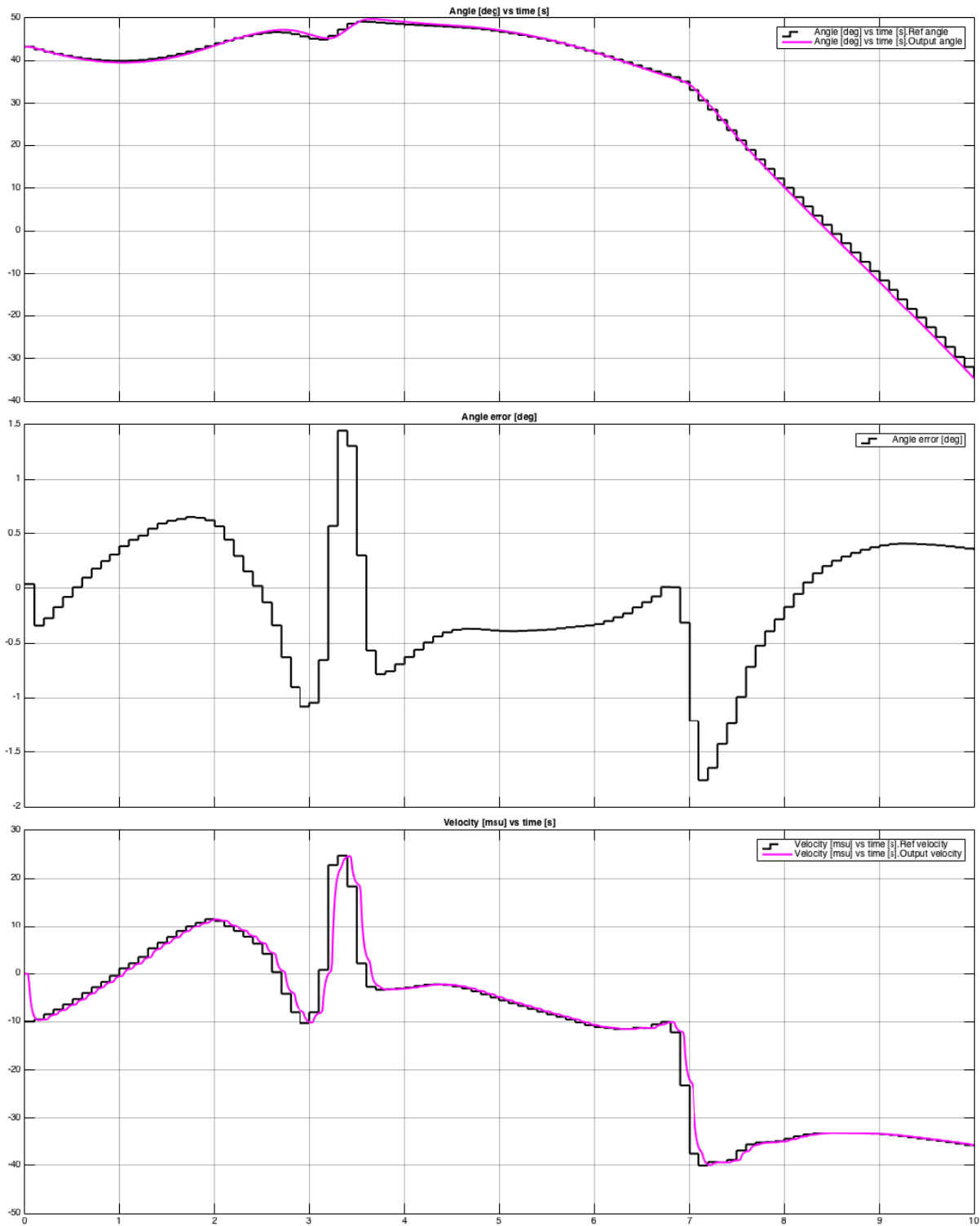


Figura 3.15: Resultados de simulación con prealimentación de velocidad.



# 4

## Experimentos

En este capítulo examinaremos experimentalmente el sistema implementado para la planificación y ejecución de trayectorias libres de singularidades. Para ello partiremos de una configuración de inicio, una intermedia y una final, e iremos viendo el resultado de cada uno de los pasos seguidos hasta conseguir que el robot siga una trayectoria libre de singularidades y colisiones pasando por los puntos definidos. Finalizaremos viendo la influencia del lazo externo de control de posición en el resultado de la ejecución.

### 4.1 Generación de trayectorias

Empezaremos el experimento definiendo en la interfaz gráfica los puntos por los que queremos que pase el robot. A modo de ejemplo, utilizaremos los indicados en la siguiente tabla:

Configuración inicial	Configuración de paso	Configuración final	Archivo de trayectoria
(11.75, 6.78, 0, “+++”)	(15.93, -0.74, 320.86, “+-+”)	(2.15, 7.51, 319.14, “- -+”)	\Experimentos\path.mat

En la 4-tupla que define cada configuración, los valores primero y segundo son las coordenadas  $(x, y)$  del baricentro del triángulo móvil (en centímetros), el tercer valor es su orientación,  $\theta_8$  (en grados), y el cuarto valor es el modo de trabajo del robot.

Seleccionamos en la interfaz la opción *Path type: circular*, de modo que en el último tramo de la trayectoria el robot regrese desde la configuración final a la inicial.

Al pulsar el botón *Plan path*, por cada una de las configuraciones especificadas se crea su correspondiente punto en la variedad de navegación  $\mathcal{M}$  (Secc. 2.4.2). Estos puntos se almacenan mediante tuplas de 67 elementos, que se corresponden con las 67 variables del fichero *scf.cuik* (Apéndice B).

Cada tramo del camino se calcula de manera independiente, enviando al planificador los vectores de inicio y fin de tramo. En nuestro experimento tendremos tres tramos, que van de

la configuración de inicio a la de paso, de la de paso a la final y, al haber especificado una trayectoria circular, de la final a la de inicio. En la Fig. 4.1 se representa, en color azul, el camino total devuelto por el planificador tras las tres llamadas.

Como podemos ver, el camino obtenido presenta zonas de zigzag que evitaremos aplicándole un filtro de suavizado a cada tramo. Para ello nos serviremos de la aplicación *cuiksmooth-path*, incluida en el paquete *Cuik*, que trabaja directamente sobre la variedad de navegación  $\mathcal{M}$ , asegurándonos así que este filtrado no hará que el robot atraviese singularidades directas o zonas de auto-colisión. En la Fig. 4.1 vemos representado en rojo el camino filtrado.

El siguiente paso es equiespaciarse los puntos del camino en el espacio articular, tal y como se

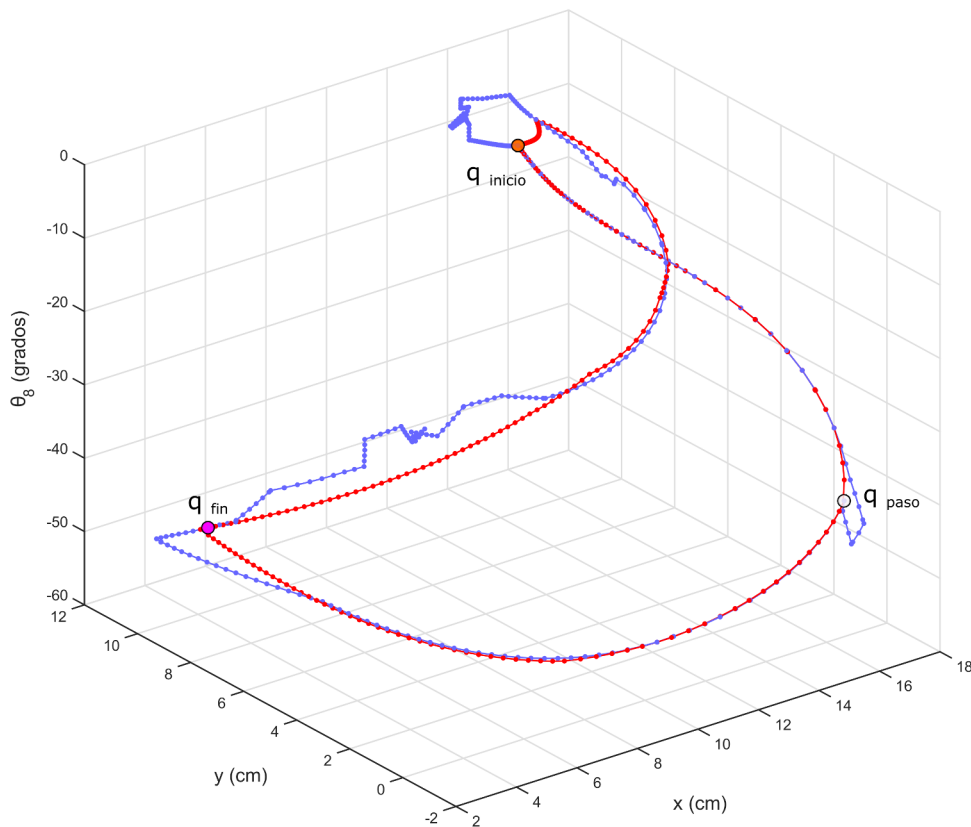


Figura 4.1: Camino utilizado en el experimento, representado en el espacio de trabajo. En color azul se grafica el camino circular encontrado por el planificador pasando por los tres puntos definidos. En color rojo se muestra el mismo camino tras aplicarle el filtro de suavizado.

ha explicado en la Sección 2.5. Para ello se ajusta una *spline* al camino y se muestrea, obteniendo ya los puntos que se enviarán como consigna de posición a cada servomotor (Fig. 4.2).

A partir de estos puntos, se genera la tabla de consignas, que incluye consignas de posición, velocidad, y tiempo entre muestras, para cada uno de los puntos. (Fig. 4.3). Esta tabla, una vez transformada a las unidades de velocidad y posición aceptadas por el servomotor, será la que se envíe a la placa Arduino.

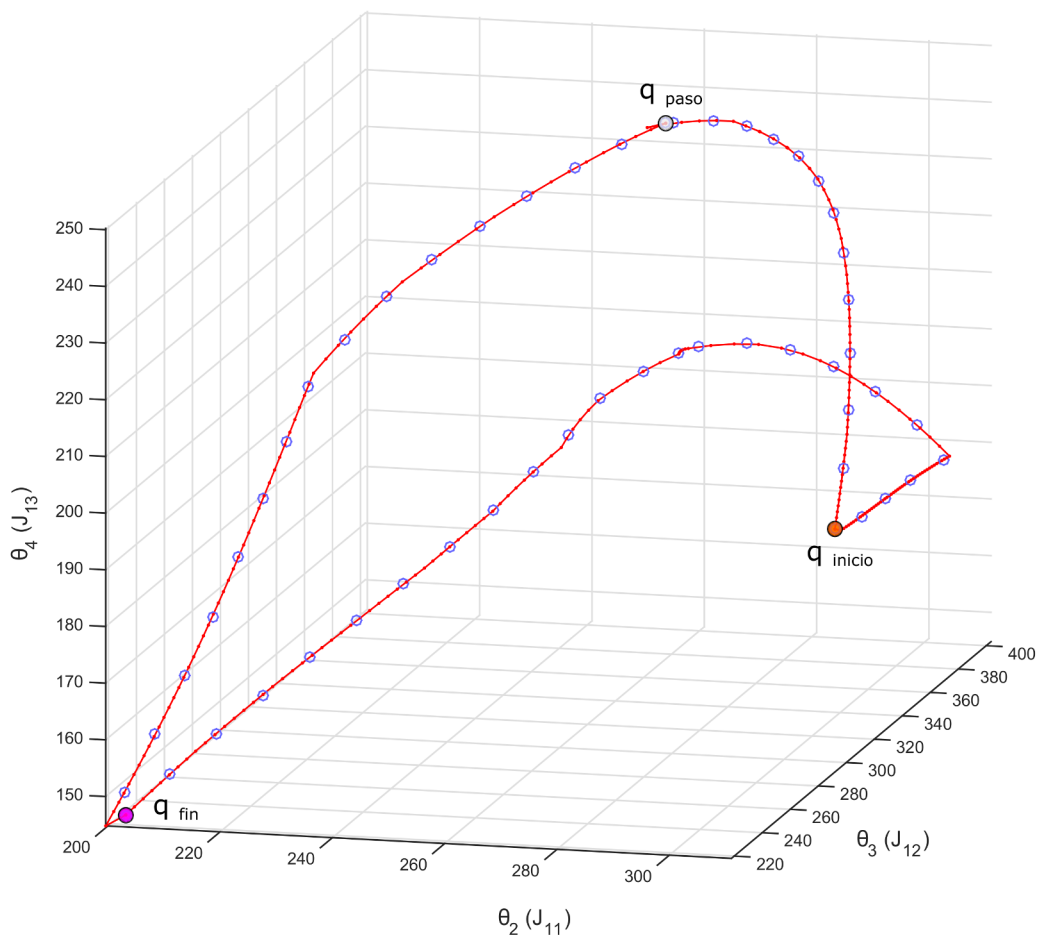


Figura 4.2: Camino utilizado en el experimento, representado en el espacio articular. En rojo se muestra la *spline* ajustada al camino devuelto por el filtro de suavizado y en azul las muestras equiespaciadas. Los ángulos  $\theta_2$ ,  $\theta_3$  y  $\theta_4$  se especifican en grados.

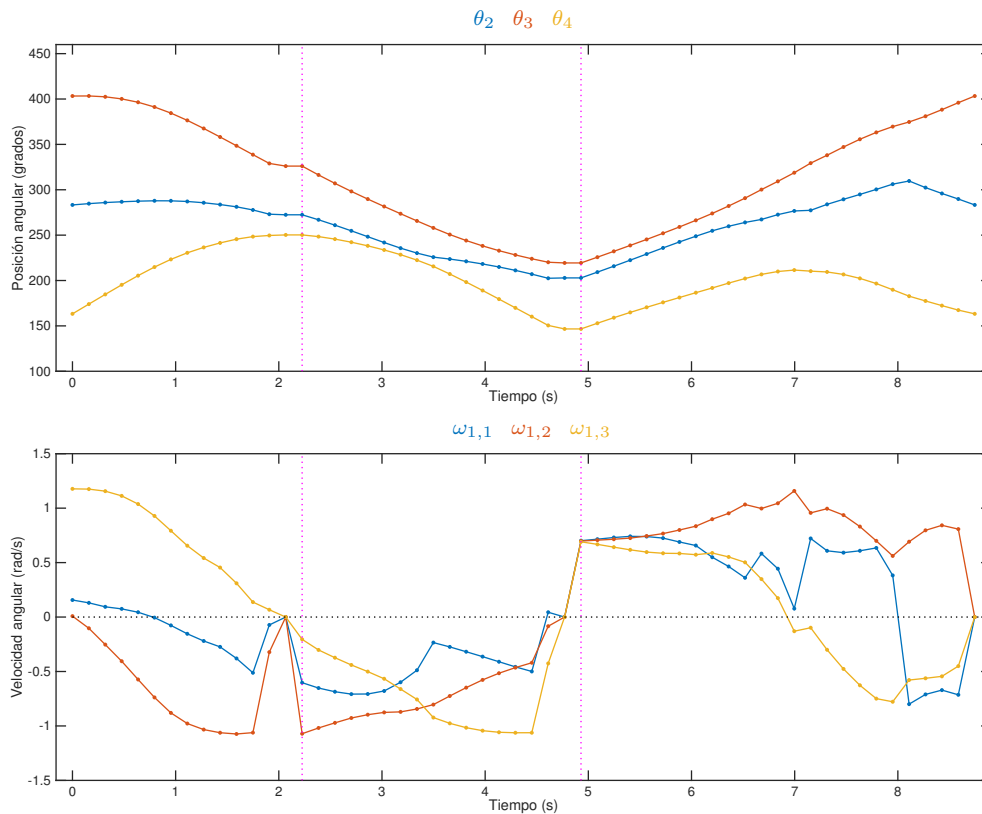


Figura 4.3: Posición y velocidad angular de cada punto de la trayectoria experimentada. Las señales representadas son discretas pero se han graficado mediante líneas poligonales para facilitar su interpretación.

## 4.2 Ejecución de trayectorias

Para ejecutar cada tramo de la trayectoria, le enviamos a Arduino un paquete de datos *Matlab Command Packet* con la instrucción 3 y el número de puntos de la trayectoria (Sec. 3.4.2). Arduino reacciona esperando la recepción de la tabla de consignas. Una vez recibida, Arduino empieza a enviar, a los servomotores, las consignas de velocidad, modificadas por el lazo externo de control de posición. Antes de enviar cada punto, lee el estado de los servomotores y representa, en la interfaz gráfica, la posición del baricentro del efector final. En la Fig. 4.4 tenemos diversas capturas de la secuencia seguida por el robot en la ejecución de toda la trayectoria. Como podemos apreciar, el baricentro del triángulo móvil siempre permanece dentro de la zona azul, que es una de las dos zonas libres de singularidades directas y colisiones. En verde se representa el camino planificado, y los puntos negros marcan la posición por la que va pasando el baricentro del efector final justo antes de que los servomotores reciban una nueva consigna.

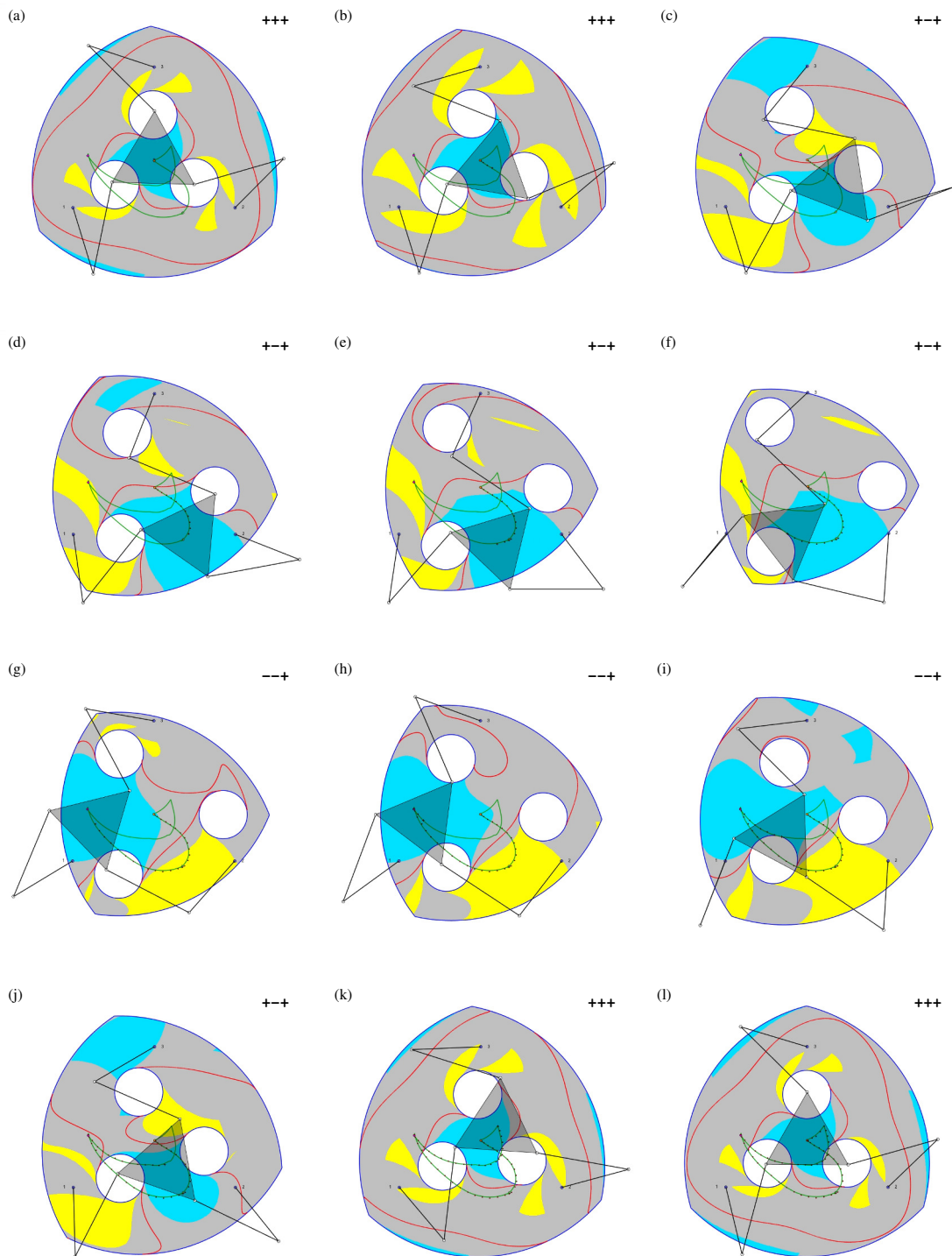


Figura 4.4: Capturas de la secuencia seguida en la ejecución de la trayectoria.

Como podemos ver, el robot sigue notablemente bien la trayectoria planificada. Encontramos cambios del modo de trabajo (indicado en la parte superior derecha de cada imagen), entre la imagen (b) y (c) de la pata 2, entre la (f) y (g), y (i) y (j) de la pata 1, y entre la (j) y (k) de la pata 2.

Para poder apreciar el efecto del lazo externo de control de posición, se ha realizado el experimento dos veces, una sólo con el lazo de control de velocidad activado y otra con los dos lazos de control activados, el interno de velocidad y el externo de posición. En la Fig. 4.5 podemos ver los puntos de paso del robot (en negro) sobrepuestos a la trayectoria planificada (en verde).

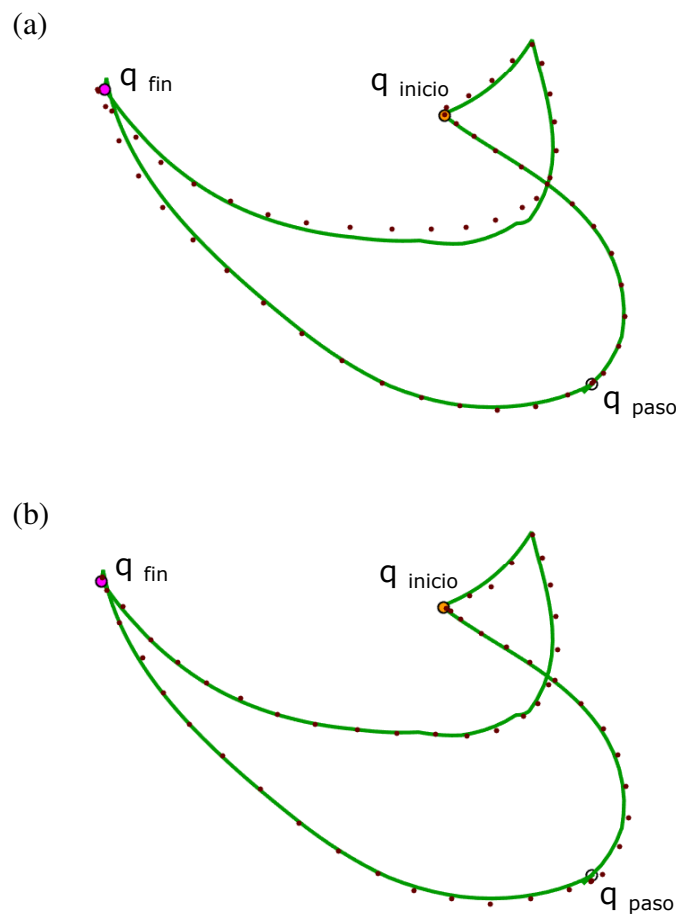


Figura 4.5: Camino seguido por el baricentro  $P$  del efector final durante la ejecución de la trayectoria. En (a) sólo está habilitado el lazo interno de control de posición. En (b) ambos lazos de control están habilitados. En (a) se observa como el robot incurre en un mayor error de posición con respecto a (b).

En (a), solo se está controlando velocidad. Se aprecia que sigue la trayectoria bastante bien pero no corrige errores de posición, por lo que, en presencia de perturbaciones, el robot puede llegar a salir de la zona libre de singularidades y colisiones. En (b), con los dos lazos de control habilitados, vemos como el robot corrige de forma adecuada los errores de posición, desviándose menos del camino a seguir.

Como se ha comentado, antes de enviar cada punto de consigna, se hace una lectura del estado de los servomotores, lo que permite la realimentación de estos datos al controlador, saber la configuración actual del robot, y analizar la ejecución de la trayectoria. Estos datos leídos se almacenan primero en la memoria externa para, más tarde, cuando ha finalizado la ejecución, enviarlos a Matlab para su posterior tratamiento. En la Fig. 4.6 se muestran los datos de mayor interés capturados en la ejecución sin control de posición. Cada inicio de un nuevo tramo de la trayectoria está marcado por una línea vertical punteada de color magenta. En (a) tenemos los datos recogidos del servomotor de la pata 1 en función del número de muestra, en (b) de la 2, y en (c) de la tres. Notemos como no hay acción de control y solo actúa la consigna de velocidad. El efecto de ello es que la señal de error de posición no es corregida. En la Fig. 4.7 tenemos la realización en la que están activos los dos lazos de control. En este caso, vemos como Arduino aplica una acción de control a la consigna de velocidad en función del error de posición, consiguiendo así reducir sensiblemente estas desviaciones. La señal titulada “speed controlled” es la consigna de velocidad que se le manda al servomotor tras ser modificada por la acción de control (salida del controlador PI de posición), por lo que la velocidad controlada será igual a la referencia de velocidad más la acción de control.

Cabe notar que la última muestra de cada tramo tiene consigna de velocidad cero, para que el servomotor se pare. Esto hace que en esta última muestra no se aplique acción de control, por lo que el error en posición en la última muestra de tramo y en la primera del siguiente no está controlado. Lo apreciamos en las gráficas de cada pata en forma de un incremento de error de posición en estos puntos.

Todos los datos relativos a este experimento se encuentran disponibles en el CD adjunto, directorio \Experimentos.

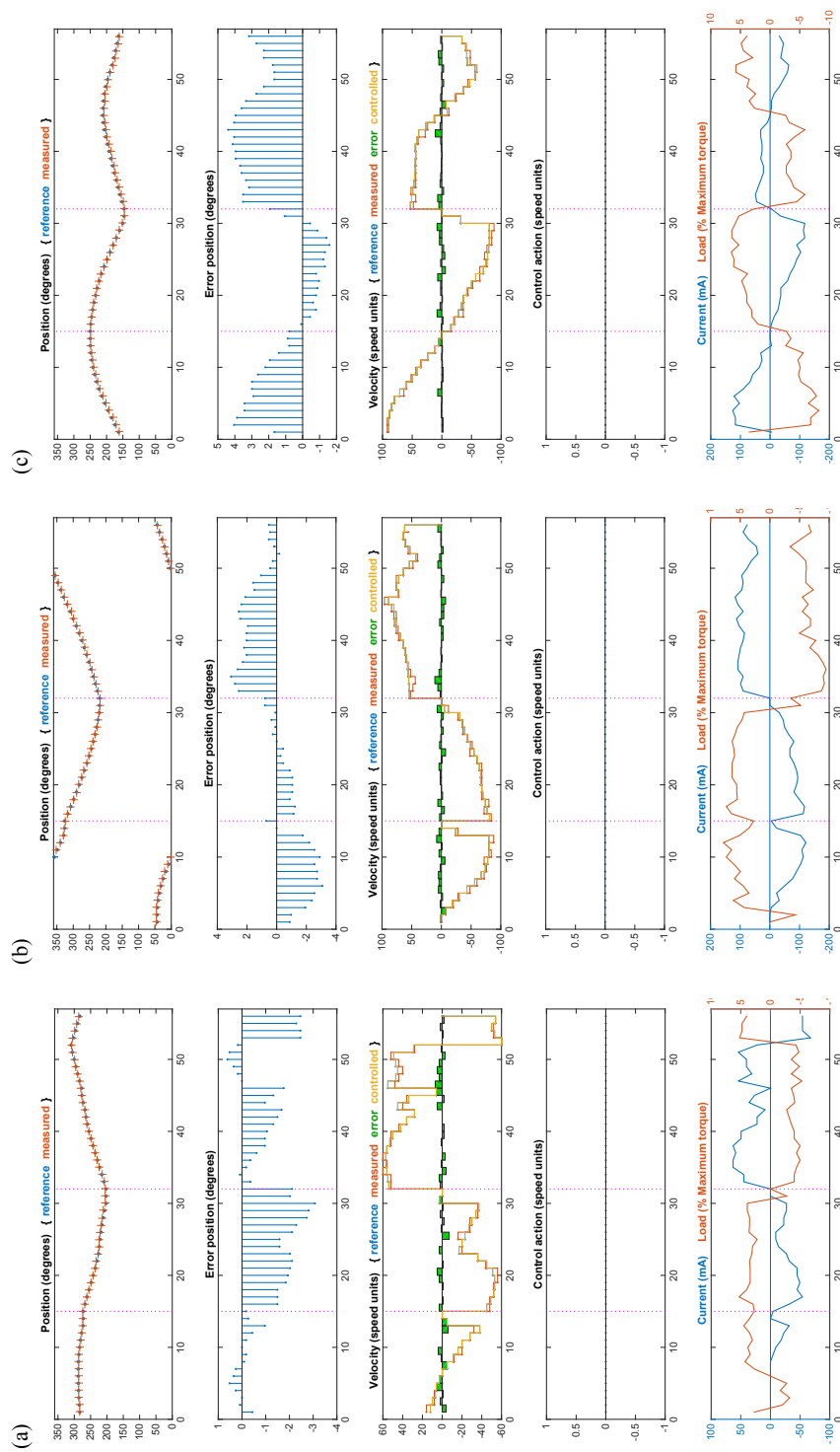


Figura 4.6: Gráfica con datos adquiridos durante la ejecución de la trayectoria sin el lazo externo de control de posición habilitado.

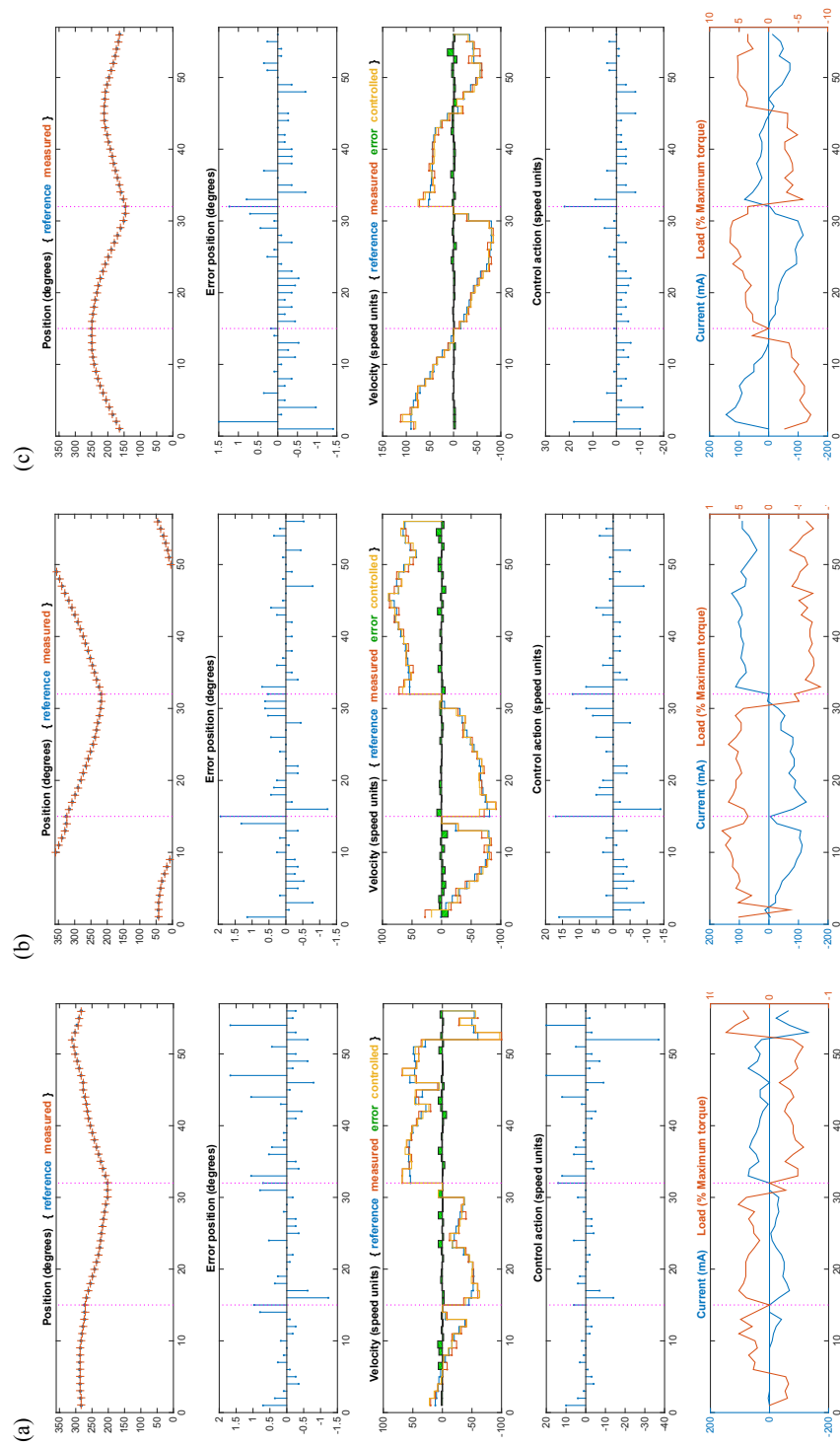


Figura 4.7: Gráfica con datos adquiridos durante la ejecución de la trayectoria con el lazo externo de control de posición habilitado.



# 5

## Conclusiones

### 5.1 Contribuciones

En este proyecto se ha construido un robot 3-RRR que permite evaluar experimentalmente el método de planificación de movimientos libres de singularidades propuesto en [1]. Para ello se ha diseñado, montado y programado un robot 3-RRR, se ha definido un sistema de ecuaciones cuya solución es directamente el espacio de configuraciones libre de singularidades y colisiones, y se ha desarrollado una interfaz que permite la planificación, simulación y ejecución de trayectorias dentro de dicho espacio. En su conjunto, el sistema funciona correctamente, cumpliendo las funciones para las que ha sido diseñado.

### 5.2 Posibles mejoras y trabajo futuro

Durante el proyecto se han detectado posibles mejoras y caminos de investigación que se podrían llevar a cabo en futuras extensiones de este trabajo. Se enumeran a continuación:

1. El material plástico utilizado para la impresión en 3D de las piezas mecánicas del robot presenta flexiones que puede llegar a hacer que haya colisión entre eslabones proximales y distales. Sería recomendable seleccionar otro material menos flexible y más robusto para estas piezas.
2. El servomotor utilizado tiene una etapa de reducción basada en engranajes circulares. Este tipo de transmisión presenta juego o *backlash* (ángulo que gira el eje de salida cuando cambia su sentido de giro sin que llegue a girar el eje de entrada). Este juego hace que el espacio de trabajo disponible para planificar trayectorias se reduzca ya que hay que alejarse más de las singularidades para evitar su influencia. Una solución posible sería utilizar un reductor de engranajes planetarios con muy bajo juego.

3. La plataforma Arduino limita las capacidades del robot. Se deberían estudiar otras alternativas de hardware electrónico que permitan una mayor frecuencia de trabajo y potencia de cálculo. De esta manera, gran parte de las funciones que ahora realizan Matlab y el paquete *Cuik* podrían ser ejecutadas, de manera más eficiente, en la placa electrónica de control. Por ejemplo, se podría integrar el planificador de trayectorias íntegramente en esta placa electrónica, dando así autonomía al robot.
4. En el supuesto de que se lleve a término la mejora anterior, se podría hacer que este nuevo robot, con capacidad de planificación integrada, utilizara ROS (*Robot Operating System*) como medio de interacción con sistemas externos. De esta manera se podría generar un nodo, correspondiente al robot, el cual podría publicar información sobre su estado actual, y suscribirse a otros tópicos que le informen de hacia donde ha de ir o la situación de obstáculos en el área de trabajo.
5. En las ecuaciones que definen el espacio en el que planificar caminos, se ha utilizado el parámetro  $b_{max}$  para establecer una distancia mínima con las configuraciones singulares. Este parámetro no tiene una interpretación geométrica que nos permita saber exactamente cuanto nos estamos alejando de la configuración singular más próxima. Sería interesante disponer de un índice que cuantifique para cada configuración del robot, el error de posición del efector final debido a un error de posición en sus actuadores.
6. Siguiendo con las ecuaciones de definición del espacio libre de singularidades directas y auto-colisiones, se podrían definir nuevas ecuaciones que permitan restringir el área de trabajo, por ejemplo para definir la posición de obstáculos fijos o áreas de seguridad por las que el robot no pueda pasar. Esta definición se podría hacer dibujando los límites de dicha zona desde la interfaz gráfica.
7. En el prototipo actual la única manera de saber si hay continuidad entre dos configuraciones diferentes es, o bien navegando manualmente por las gráficas que facilita la interfaz gráfica, o lanzando el planificador, el cual, en casos extremos, puede tardar varios minutos en dar una respuesta. Habría que implementar un método que permita conocer, en un tiempo razonable, a qué área del espacio de trabajo podemos llegar partiendo de una configuración conocida, y definir algún tipo de métrica que nos permita intuir la complejidad del camino, como por ejemplo, el número de cambios de modos del trabajo.
8. El resultado del filtro de alisado del camino encontrado por el planificador tiene una repercusión directa en la suavidad con la que se desplaza el robot al ejecutar una trayectoria. La estrategia actual utiliza el método *shortcut* de la aplicación *cuiksmoothpath*, incluida en el paquete *Cuik*. Este método es rápido, pero el resultado puede presentar cambios de

dirección bruscos en el camino. Una alternativa sería utilizar el método *gradient*, de la misma aplicación, pero su ejecución es demasiado lenta para obtener el resultado deseado en un tiempo razonable. Habría que buscar un método que consiga resultados comparables a los del método *gradient* con una velocidad comparable a la del método *shortcut*.

9. Con las asunciones hechas en la Sección 1.3, no se han tenido en cuenta en la estrategia de control, ni la dinámica del sistema, ni las posibles perturbaciones que puedan afectarles. Podrían incluirse estos supuestos, para así eliminar las restricciones de trabajo a baja velocidad y peso reducido. En este mismo aspecto, deberían considerarse las perturbaciones producidas por la interacción entre las diferentes piezas mecánicas del robot.
10. Actualmente no hay implementado en el robot ningún método que le permita saber si se está produciendo alguna anomalía en su movimiento, como en el caso de que entre en colisión con un objeto externo o que vaya a parar a una configuración singular. Se podría monitorizar el consumo de los motores de tal manera que se les corte la alimentación en tales supuestos.



# Bibliografía

- [1] O. Bohigas, M. E. Henderson, L. Ros, M. Manubens, and J. M. Porta, “Planning singularity-free paths on closed-chain manipulators,” *IEEE Transactions on Robotics*, vol. 29, pp. 888–898, 2013.
- [2] L. Jaillet and J. M. Porta, “Path planning under kinematic constraints by rapidly exploring manifolds,” *IEEE Transactions on Robotics*, vol. 29, no. 1, pp. 105–117, 2013.
- [3] P. I. Corke, *Robotics, Vision & Control: Fundamental Algorithms in MATLAB*, ch. Dynamics and Control, pp. 204–211. Springer, 2011. ISBN 978-3-642-20143-1.
- [4] J. Canny, *The Complexity of Robot Motion Planning*. Cambridge, Massachusetts: The MIT Press, 1988.
- [5] J.-C. Latombe, *Robot motion planning*. Kluwer Academic Pub., 1991.
- [6] L. E. Kavraki and S. M. LaValle, *Springer Handbook of Robotics*, ch. Motion Planning, pp. 109–131. Berlin, Heidelberg: Springer, 2008.
- [7] L. Han and N. M. Amato, “A kinematics-based probabilistic roadmap method for closed chain systems,” *Proc. of the International Workshop on the Algorithmic Foundations of Robotics (WAFR)*, pp. 233–246, 2000.
- [8] J. H. Yakey, S. M. LaValle, and L. E. Kavraki, “Randomized path planning for linkages with closed kinematic chains,” *IEEE Transactions on Robotics*, vol. 17, no. 6, pp. 951–958, 2001.
- [9] J. Cortés and T. Siméon, “Sampling-based motion planning under kinematic loop-closure constraints,” *Algorithmic Foundations of Robotics VI*, pp. 75–90, 2005.
- [10] J. M. Porta, J. Cortés, L. Ros, and F. Thomas, “A space decomposition method for path planning of loop linkages,” *Proc. of IEEE International Conference on Intelligent Robots and Systems*, pp. 1882–1888, 2007.
- [11] J. M. Porta, L. Jaillet, and O. Bohigas, “Randomized path planning on manifolds based on higher-dimensional continuation,” *The International Journal of Robotics Research*, vol. 31, no. 2, pp. 201–215, 2012.
- [12] D. Berenson, S. S. Srinivasa, and J. J. Kuffner, “Task space regions: A framework for pose-constrained manipulation planning,” *International Journal of Robotics Research*, vol. 30, no. 12, pp. 1435–1460, 2011.

- [13] O. Bohigas, M. Manubens, and L. Ros, “Singularities of non-redundant manipulators: A short account and a method for their computation in the planar case,” *Mechanism and Machine Theory*, vol. 68, pp. 1–17, October 2013.
- [14] O. Bohigas, D. Zlatanov, L. Ros, M. Manubens, and J. M. Porta, “A general method for the numerical computation of manipulator singularity sets,” *IEEE Transactions on Robotics*, vol. 30, no. 2, pp. 340–351, 2014.
- [15] C. Jui and Q. Sun, “Path tracking of parallel manipulators in the presence of force singularity,” *ASME Journal of Dynamic Systems, Measurement, and Control*, vol. 127, pp. 550–563, 2005.
- [16] S. Briot and V. Arakelian, “On the dynamic properties and optimum control of parallel manipulators in the presence of singularity,” in *IEEE International Conference on Robotics and Automation, ICRA*, pp. 1549–1555, 2008.
- [17] S. Bhattacharya, H. Hatwal, and A. Ghosh, “Comparison of an exact and an approximate method of singularity avoidance in platform type parallel manipulators,” *Mechanism and Machine Theory*, vol. 33, no. 7, pp. 965–974, 1998.
- [18] H. Schaub and J. L. Junkins, “Singularity avoidance using null motion and variable-speed control moment gyros,” vol. 23, no. 1, pp. 11–16.
- [19] G. Marani, J. Kim, J. Yuh, and W. K. Chung, “A real-time approach for singularity avoidance in resolved motion rate control of robotic manipulators,” in *Robotics and Automation, 2002. Proceedings. ICRA '02. IEEE International Conference on*, vol. 2, pp. 1973–1978 vol.2, 2002.
- [20] B. Dasgupta and T. S. Mruthyunjaya, “Singularity-free path planning for the Stewart platform manipulator,” *Mechanism and Machine Theory*, vol. 33, no. 6, pp. 711–725, 1998.
- [21] F. Bourbonnais, P. Bigras, and I. Bonev, “Minimum-time trajectory planning and control of a pick-and-place five-bar parallel robot,” *Mechatronics, IEEE/ASME Transactions on*, vol. 20, pp. 740–749, April 2015.
- [22] S. Sen, B. Dasgupta, and A. K. Mallik, “Variational approach for singularity-free path-planning of parallel manipulators,” *Mechanism and Machine Theory*, vol. 38, no. 11, pp. 1165–1183, 2003.
- [23] A. K. Dash, I. Chen, S. H. Yeo, and G. Yang, “Workspace generation and planning singularity-free path for parallel manipulators,” *Mechanism and Machine Theory*, vol. 40, no. 7, pp. 776–805, 2005.

- [24] “MECADEMIC: Affordable desktop high-accuracy robot arms.” <http://www.mecademic.com>.
- [25] J. G. De Jalón and E. Bayo, *Kinematic and Dynamic Simulation of Multibody Systems*. Springer Verlag, 1993.
- [26] D. Zlatanov, *Generalized Singularity Analysis of Mechanisms*. PhD thesis, University of Toronto, 1998.
- [27] O. Bohigas, *Numerical Computation and Avoidance of Manipulator Singularities*. PhD thesis, Universitat Politècnica de Catalunya, 2013. Available through the web address <http://goo.gl/w1R0i>.
- [28] J. M. Porta, L. Ros, and F. Thomas, “A linear relaxation technique for the position analysis of multi-loop linkages,” *IEEE Transactions on Robotics*, vol. 25, no. 2, pp. 225–239, 2009.
- [29] L. Ros, “Geometric Fundamentals for Robot Design: On-line Lecture Notes,” *Universitat Politècnica de Catalunya - BarcelonaTech*, 2008-2015. <http://www.iri.upc.edu/gfrd>.
- [30] L. Ros, “Singularities of a 3-RRR mechanism.” <https://youtu.be/xV3m6ioilnc>.
- [31] M. E. Henderson, *Numerical Continuation Methods for Dynamical Systems: path following and boundary value problems*, ch. Higher-Dimensional Continuation, pp. 77–115. Springer, 2007.
- [32] M. E. Henderson, “Multiple parameter continuation: Computing implicitly defined k-manifolds,” *International Journal of Bifurcation and Chaos*, vol. 12, no. 3, pp. 451–476, 2002.
- [33] E. L. Allgower and K. Georg, “Numerical path following,” *Handbook of Numerical Analysis*, vol. 5, no. 3, pp. 3–207, 1997.
- [34] J. Porta, L. Ros, O. Bohigas, M. Manubens, C. Rosales, and L. Jaillet, “The CUIK Suite: Motion analysis of closed-chain multibody systems,” *IEEE Robotics and Automation Magazine*, vol. 21, pp. 105–114, September 2014.
- [35] D. J. Bates, J. D. Hauenstein, A. J. Sommese, and C. W. Wampler, “Adaptive multiprecision path tracking,” *SIAM Journal on Numerical Analysis*, vol. 46, no. 2, pp. 722–746, 2008.
- [36] S. J. Russell and P. Norvig, *Artificial Intelligence: A Modern Approach*. Prentice Hall, 2003.
- [37] I. A. Bonev, *Geometric Analysis of Parallel Mechanisms*. PhD thesis, Faculté des Sciences et de Génie, Université de Laval, 2002.

- [38] J. D'Errico, "INTERPARC: Distance based interpolation along a general curve in space," *Mathworks*. Matlab file in File Exchange, Matlab Central, Version 1.3. <http://goo.gl/RdhUw7>.
- [39] "Protocolo dynamixel communication 1.0." <http://goo.gl/AtVxgY>.
- [40] "Manual del servomotor MX-64 de Robotis." <http://goo.gl/aiwCKP>.
- [41] "Página web de Arduino." <https://www.arduino.cc/>.
- [42] "Documentation of the CUIK suite." <http://www.iri.upc.edu/cuik>.

# A

## Presupuesto

Este apéndice pretende dar una estimación del coste de construcción de un robot 3-RRR como el desarrollado. Se relacionan todos los materiales y componentes utilizados, así como su precio, pero no se incluye la mano de obra dedicada al diseño e implementación de las partes electrónica, mecánica, y de programación, debido a su subjetividad y poca relevancia en el contexto de este proyecto.

Los precios de los materiales son de venta al público, en Euros, a fecha de la presentación de esta memoria, y sin considerar descuentos. Cuando en el proveedor indicado se ha de realizar un pedido mínimo de piezas, se indica el precio unitario.

En la Tabla A.1 se muestra el listado de material mecánico. En los productos en los que no se indica proveedor se ha hecho una estimación de su coste. En la Tabla A.2 se muestra el listado de material eléctrico-electrónico. El precio total aproximado de la construcción del robot asciende a **1,939.24 €**.

Ref.	Descripción	Proveedor	Precio unitario	Núm. unid.	Precio total
747-800	Rodamiento de bolas NMB, radial	Amidata S.L.U.	3.00	3	9.00
619-0812	Rodamiento de bolas, ranura profunda	Amidata S.L.U.	5.45	3	16.35
521-7758	Casquillo eje 5mm, Salida 8mm, long. 12mm,	Amidata S.L.U.	1.59	3	4.77
278-562	Acoplamiento M5 chapado en níquel	Amidata S.L.U.	0.21	4	0.84
424-3469	Barra hexagonal de acero dulce 1x10mm	Amidata S.L.U.	3.05	1	3.05
466-7219	Perfil aluminio 20x20	Amidata S.L.U.	25.31	1	25.31
466-7247	Tapa negra para perfil 20x20	Amidata S.L.U.	0.85	6	5.01
	Plancha metacrilato + corte		100.00	1	100.00
	Impresión cada Arduino		40.00	1	40.00
	Impresión soporte motor-patas		66.00	3	198.00
	Impresión eslabón corto + largo		50.00	3	150.00
	Impresión soporte peana		60.00	1	60.00
	Total material mecánico				612.33

Tabla A.1: Material mecánico utilizado en la construcción del robot.

Ref.	Descripción	Proveedor	Precio unitario	Núm. unid.	Precio total
DXL0008	Servomotor Dynamixel MX-64T	Robótica Global,S.L.	380.50	3	1,141.50
714-2693	Codificador Avago AEAT-6012	Amidata S.L.U.	22.52	3	67.56
2126	Fuente alimentación 12V 5A EU-220V	Robótica Global,S.L.	48.35	1	48.35
A000067	Placa Arduino Mega rev 3	Diotronic,S.A.	39.00	1	39.00
A000059	Arduino USB2Serial	Diotronic,S.A.	10.00	1	10.00
803-2184	Memoria SRAM 23LCV512	Amidata S.L.U.	2.00	1	2.00
008	Zocalo DIL 8 pins soldar	Diotronic,S.A.	0.06	1	0.06
630-437	IC 74F244	Amidata S.L.U.	0.91	1	0.91
020	Zocalo DIL 20 pins soldar	Diotronic,S.A.	0.12	1	0.12
1035025	Resistencia 10k, 1/4W	Diotronic,S.A.	0.02	2	0.04
DTS62N	Pulsador membrana	Diotronic,S.A.	0.09	3	0.27
CT17	Placa fibra de vidrio 100x160	Diotronic,S.A.	6.54	1	6.54
2X25PY	Tira doble de pines 2X25CTS macho	Diotronic,S.A.	0.39	1	0.39
40PY	Tira pines 40 CTS macho	Diotronic,S.A.	0.39	1	0.39
625-7369	Conector IDC 10 vías hembra	Amidata S.L.U.	1.38	4	5.52
CO1710	Conector ICD 10 vías acodado macho	Onda Radio,S.A.	0.66	1	0.66
CP10	Cable plano 10,AWG28-10, 1 metro	Diotronic,S.A.	0.41	1	0.41
687-8095	Conector Molex acodado 3 pines	Amidata S.L.U.	0.05	2	0.10
797-9105	Conector SPOX, serie 5264 3 vías	Amidata S.L.U.	0.09	7	0.63
687-7152	Contacto de conector SPOX 5263	Amidata S.L.U.	0.03	21	0.63
Q1140B	Cable 1x0.5 blanco, 1 metro	Diotronic,S.A.	0.31	3	0.93
447-6580	Carcasa con.hembra 5polos paso 1,25mm	Amidata S.L.U.	0.20	3	0.60
CP10	Contacto conector Molex 50079-8000	Amidata S.L.U.	0.02	15	0.30
Total material eléctrico/electrónico					1,326.91

Tabla A.2: Material eléctrico/electrónico utilizado en la construcción del robot.

# B

## Los ficheros de cálculo

### B.1 Ficheros para efectuar la planificación

Para resolver un problema de planificación, el entorno MATLAB lanza el siguiente comando *Cuik* sobre el sistema operativo [32].

```
cuikatlas_rrt scf
```

Este comando busca un camino que una dos puntos  $\mathbf{x}_s$  y  $\mathbf{x}_g$  sobre la variedad  $\mathcal{M}$  (Secc. 2.4.2), utilizando el método probabilístico de planificación basado en árboles de expansión rápida (Secc. 2.4.3). Los puntos  $\mathbf{x}_g$  de  $\mathcal{M}$  corresponden a las configuraciones inicial y final  $\mathbf{q}_s$  y  $\mathbf{q}_g$  deseadas, fijadas por el usuario desde la interfaz gráfica.

El comando `cuikatlas_rrt` lee dos ficheros de input y produce un fichero de output. Los ficheros de input son `scf.links`, que almacena los puntos  $\mathbf{x}_s$  y  $\mathbf{x}_g$ , y `scf.cuik`, que especifica las ecuaciones de  $\mathcal{M}$ . El fichero de output es `scf.path`, y contiene una descripción del camino encontrado entre  $\mathbf{x}_s$  y  $\mathbf{x}_g$ . Los ficheros `scf.links` y `scf.path` se escriben y leen, respectivamente, desde la librería MATLAB implementada, utilizando el formato específico del paquete *Cuik* (Véase [42] para más información). A continuación se incluye el contenido del fichero `scf.cuik`, añadiendo comentarios que clarifican su estructura.

```
%%%%%%%%%%%%%%%%%%%%%%%%%%%%%%%%%%%%%%%%%%%%%%%%%%%%%%%%%%%%%%%%%%%%%%%%%%
% File scf.cuik
% Defines the equations of the navigation manifold M
%%%%%%%%%%%%%%%%%%%%%%%%%%%%%%%%%%%%%%%%%%%%%%%%%%%%%%%%%%%%%%%%%%%%%%%%%%

[CONSTANTS]

%-----
% Edit this section to define a new 3-Rrr robot
%-----

% Coordinates of the base joints expressed in the absolute frame (in dm)

J11x := 0.000000
J11y := 0.000000
J12x := 2.350000
J12y := 0.000000
J13x := 1.175000
J13y := 2.035000
```

```

% Sides (in dm) and angle (in rad) of the moving triangle

phi := 1.047198
l3 := 1.200000
l4 := 1.200000

% Length of the proximal (l1) and distal (l2) limbs of each leg (in dm)

l1 := 1.000000
l2 := 1.350000

% Parameters of the superellipse that bounds the region R of a link (in dm)

ctrx := 0.675000
ctry := 0.000000
sx := 0.675000
sy := 0.270000

% Coordinates of the platform joints expressed in the moving frame (in dm)

J31rx := 0
J31ry := 0
J32rx := l3
J32ry := 0
J33rx := l4 * cos(phi)
J33ry := l4 * sin(phi)

% Conservative bound used for the position of all joints

maxpos := l1 + l2 + l3 + l4 + l2 + l1

% Distances from the base anchor points to the origin, used to bound s1, s2, and s3

d1 := sqrt(J11x^2 + J11y^2)
d2 := sqrt(J12x^2 + J12y^2)
d3 := sqrt(J13x^2 + J13y^2)

% Bounds of the auxiliary variables tJ...
% (where mu is computed as mu = 2*l2 + max[l3,l4])

mu := 3.900000
txmin := -mu/sx - ctrx/sx
txmax := mu/sx - ctrx/sx
tymin := -mu/sy - ctry/sy
tymax := mu/sy - ctry/sy

% Clearance w.r.t. the singularity locus

bmax := 0.500000

% Clearance with respect to the collision locus, computed as 1 / (k*offset),

```

```
% where offset = 1 (superellipse offset) and k = 10 (hyperbola shape factor)

gmax := 0.100000

[SYSTEM VARS]

% Orientation angle of the moving triangle

th8~[-pi,pi]

% Barycenter coordinates

bx: [-maxpos,maxpos]
by: [-maxpos,maxpos]

% Absolute coords of the moving revolute joints

J31x: [-maxpos,maxpos]
J31y: [-maxpos,maxpos]

J21x: [-maxpos,maxpos]
J21y: [-maxpos,maxpos]

J32x: [-maxpos,maxpos]
J32y: [-maxpos,maxpos]

J22x: [-maxpos,maxpos]
J22y: [-maxpos,maxpos]

J33x: [-maxpos,maxpos]
J33y: [-maxpos,maxpos]

J23x: [-maxpos,maxpos]
J23y: [-maxpos,maxpos]

% Orientation angles of links 2, 3, and 4

th2~[-pi,pi]
th3~[-pi,pi]
th4~[-pi,pi]

% Orientation angles of links 5, 6, and 7

th5~[-pi,pi]
th6~[-pi,pi]
th7~[-pi,pi]

% Vectors s1, s2, s3 (note that they are not normalized)

s1x: [-l2,l2]
s1y: [-l2,l2]
s1z: [-(d1+l1)*l2, (d1+l1)*l2]

s2x: [-l2,l2]
s2y: [-l2,l2]
```

```

s2z:[-(d2+l1)*l2,(d2+l1)*l2]

s3x:[-l2,l2]
s3y:[-l2,l2]
s3z:[-(d3+l1)*l2,(d3+l1)*l2]

% Auxiliary variable to send singular configs. to infinity
% The bound is symmetric [-value,value], to account for all
% possible working modes

b:[-bmax,bmax]

% Auxiliary variables to send collision configs. to infinity

g1:[0,gmax]
g2:[0,gmax]
g3:[0,gmax]
g4:[0,gmax]
g5:[0,gmax]
g6:[0,gmax]
g7:[0,gmax]
g8:[0,gmax]
g9:[0,gmax]
g10:[0,gmax]
g11:[0,gmax]
g12:[0,gmax]

% Auxiliary variables to have a simpler system

tJ21x2:[txmin,txmax]
tJ21y2:[tymin,tymax]
tJ31x2:[txmin,txmax]
tJ31y2:[tymin,tymax]
tJ22x1:[txmin,txmax]
tJ22y1:[tymin,tymax]
tJ32x1:[txmin,txmax]
tJ32y1:[tymin,tymax]
tJ22x3:[txmin,txmax]
tJ22y3:[tymin,tymax]
tJ32x3:[txmin,txmax]
tJ32y3:[tymin,tymax]
tJ23x2:[txmin,txmax]
tJ23y2:[tymin,tymax]
tJ33x2:[txmin,txmax]
tJ33y2:[tymin,tymax]
tJ21x3:[txmin,txmax]
tJ21y3:[tymin,tymax]
tJ31x3:[txmin,txmax]
tJ31y3:[tymin,tymax]
tJ23x1:[txmin,txmax]
tJ23y1:[tymin,tymax]
tJ33x1:[txmin,txmax]
tJ33y1:[tymin,tymax]

[SYSTEM EQS]

```

```

% Loop closure equations

J12x + l1*cos(th3) + l2*cos(th6) - l3*cos(th8)
- l2*cos(th5) - l1*cos(th2) - J11x = 0;
J12y + l1*sin(th3) + l2*sin(th6) - l3*sin(th8)
- l2*sin(th5) - l1*sin(th2) - J11y = 0;

J13x + l1*cos(th4) + l2*cos(th7) - l4*cos(th8)*cos(phi) +
l4*sin(th8)*sin(phi) - l2*cos(th5) - l1*cos(th2) - J11x = 0;
J13y + l1*sin(th4) + l2*sin(th7) - l4*sin(th8)*cos(phi) -
l4*cos(th8)*sin(phi) - l2*sin(th5) - l1*sin(th2) - J11y = 0;

% Equations defining the positions of all moving joints

J21x = J11x + l1 * cos(th2);
J21y = J11y + l1 * sin(th2);

J22x = J12x + l1 * cos(th3);
J22y = J12y + l1 * sin(th3);

J23x = J13x + l1 * cos(th4);
J23y = J13y + l1 * sin(th4);

J31x = J21x + l2 * cos(th5);
J31y = J21y + l2 * sin(th5);

J32x = J22x + l2 * cos(th6);
J32y = J22y + l2 * sin(th6);

J33x = J23x + l2 * cos(th7);
J33y = J23y + l2 * sin(th7);

% Equations defining the barycenter

3 * bx = J31x + J32x + J33x;
3 * by = J31y + J32y + J33y;

% Equations defining the s1, s2, and s3 vectors
% (note that they are not normalized)

s1x = J31x - J21x;
s1y = J31y - J21y;
s1z = J21x * J31y - J21y * J31x;

s2x = J32x - J22x;
s2y = J32y - J22y;
s2z = J22x * J32y - J22y * J32x;

s3x = J33x - J23x;
s3y = J33y - J23y;
s3z = J23x * J33y - J23y * J33x;

% Equation to ensure a full-rank Jacobian

```

```

b * slx*s2y*s3z + b * slz*s2x*s3y + b * sly*s2z*s3x -
b * slz*s2y*s3x - b * s2z*s3y*s1x - b * sly*s2x*s3z = 1;

% Collision avoidance equations

g1 * tJ21x2^4 + g1 * tJ21y2^4 - g1 - 0.100000 = 0;
- sx * tJ21x2 + cos(th6)*J21x - cos(th6)*J22x + sin(th6)*J21y - sin(th6)*J22y - ctrx = 0;
- sy * tJ21y2 -sin(th6)*J21x + sin(th6)*J22x + cos(th6)*J21y - cos(th6)*J22y - ctry = 0;

g2 * tJ31x2^4 + g2 * tJ31y2^4 - g2 - 0.100000 = 0;
- sx * tJ31x2 + cos(th6)*J31x - cos(th6)*J22x + sin(th6)*J31y - sin(th6)*J22y - ctrx = 0;
- sy * tJ31y2 -sin(th6)*J31x + sin(th6)*J22x + cos(th6)*J31y - cos(th6)*J22y - ctry = 0;

g3 * tJ22x1^4 + g3 * tJ22y1^4 - g3 - 0.100000 = 0;
- sx * tJ22x1 + cos(th5)*J22x - cos(th5)*J21x + sin(th5)*J22y - sin(th5)*J21y - ctrx = 0;
- sy * tJ22y1 -sin(th5)*J22x + sin(th5)*J21x + cos(th5)*J22y - cos(th5)*J21y - ctry = 0;

g4 * tJ32x1^4 + g4 * tJ32y1^4 - g4 - 0.100000 = 0;
- sx * tJ32x1 + cos(th5)*J32x - cos(th5)*J21x + sin(th5)*J32y - sin(th5)*J21y - ctrx = 0;
- sy * tJ32y1 -sin(th5)*J32x + sin(th5)*J21x + cos(th5)*J32y - cos(th5)*J21y - ctry = 0;

g5 * tJ22x3^4 + g5 * tJ22y3^4 - g5 - 0.100000 = 0;
- sx * tJ22x3 + cos(th7)*J22x - cos(th7)*J23x + sin(th7)*J22y - sin(th7)*J23y - ctrx = 0;
- sy * tJ22y3 -sin(th7)*J22x + sin(th7)*J23x + cos(th7)*J22y - cos(th7)*J23y - ctry = 0;

g6 * tJ32x3^4 + g6 * tJ32y3^4 - g6 - 0.100000 = 0;
- sx * tJ32x3 + cos(th7)*J32x - cos(th7)*J23x + sin(th7)*J32y - sin(th7)*J23y - ctrx = 0;
- sy * tJ32y3 -sin(th7)*J32x + sin(th7)*J23x + cos(th7)*J32y - cos(th7)*J23y - ctry = 0;

g7 * tJ23x2^4 + g7 * tJ23y2^4 - g7 - 0.100000 = 0;
- sx * tJ23x2 + cos(th6)*J23x - cos(th6)*J22x + sin(th6)*J23y - sin(th6)*J22y - ctrx = 0;
- sy * tJ23y2 -sin(th6)*J23x + sin(th6)*J22x + cos(th6)*J23y - cos(th6)*J22y - ctry = 0;

g8 * tJ33x2^4 + g8 * tJ33y2^4 - g8 - 0.100000 = 0;
- sx * tJ33x2 + cos(th6)*J33x - cos(th6)*J22x + sin(th6)*J33y - sin(th6)*J22y - ctrx = 0;
- sy * tJ33y2 -sin(th6)*J33x + sin(th6)*J22x + cos(th6)*J33y - cos(th6)*J22y - ctry = 0;

g9 * tJ21x3^4 + g9 * tJ21y3^4 - g9 - 0.100000 = 0;
- sx * tJ21x3 + cos(th7)*J21x - cos(th7)*J23x + sin(th7)*J21y - sin(th7)*J23y - ctrx = 0;
- sy * tJ21y3 -sin(th7)*J21x + sin(th7)*J23x + cos(th7)*J21y - cos(th7)*J23y - ctry = 0;

g10 * tJ31x3^4 + g10 * tJ31y3^4 - g10 - 0.100000 = 0;
- sx * tJ31x3 + cos(th7)*J31x - cos(th7)*J23x + sin(th7)*J31y - sin(th7)*J23y - ctrx = 0;
- sy * tJ31y3 -sin(th7)*J31x + sin(th7)*J23x + cos(th7)*J31y - cos(th7)*J23y - ctry = 0;

g11 * tJ23x1^4 + g11 * tJ23y1^4 - g11 - 0.100000 = 0;
- sx * tJ23x1 + cos(th5)*J23x - cos(th5)*J21x + sin(th5)*J23y - sin(th5)*J21y - ctrx = 0;
- sy * tJ23y1 -sin(th5)*J23x + sin(th5)*J21x + cos(th5)*J23y - cos(th5)*J21y - ctry = 0;

g12 * tJ33x1^4 + g12 * tJ33y1^4 - g12 - 0.100000 = 0;
- sx * tJ33x1 + cos(th5)*J33x - cos(th5)*J21x + sin(th5)*J33y - sin(th5)*J21y - ctrx = 0;
- sy * tJ33y1 -sin(th5)*J33x + sin(th5)*J21x + cos(th5)*J33y - cos(th5)*J21y - ctry = 0;

```

## B.2 Ficheros para el cálculo de las singularidades

Para poder visualizar las singularidades directas e inversas del robot en la interfaz gráfica, éstas se han tenido que calcular primero mediante el paquete *Cuik*. Las singularidades directas delimitan la frontera del espacio de trabajo del robot, y las inversas indican las configuraciones donde aparece una pérdida de rigidez. En la interfaz gráfica, los lugares geométricos de estas singularidades se indican en azul y rojo, respectivamente. A continuación se incluyen los ficheros *Cuik* necesarios para calcular tales singularidades.

### B.2.1. Fichero para calcular las singularidades inversas

```

%%%%%%%%%%%%%%%%%%%%%%%%%%%%%%%%%%%%%%%%%%%%%%%%%%%%%%%%%%%%%%%%%%%%%%%%
% File inverse.cuik
%
% Inverse kinematic singularities of the 3-Rrr manipulator
% for a fixed platform orientation (given by theta_8)
%%%%%%%%%%%%%%%%%%%%%%%%%%%%%%%%%%%%%%%%%%%%%%%%%%%%%%%%%%%%%%%%%%%%%%%%

[CONSTANTS]

% Coordinates of the base joints expressed in the absolute frame

J11x := 0
J11y := 0
J12x := 2.35
J12y := 0
J13x := 1.175
J13y := 2.035

% Coordinates of the platform joints expressed in the moving frame

J31rx := 0
J31ry := 0
J32rx := 1.2
J32ry := 0
J33rx := 0.6
J33ry := 1.03

% Distances l3, from J31 to J32, and l4, from J31 to J33

l3 := sqrt((J31rx-J32rx)^2 + (J31ry-J32ry)^2)
l4 := sqrt((J31rx-J33rx)^2 + (J31ry-J33ry)^2)

% Cosine and sine of the angle between segments l3 and l4, assumed in the 1st quadrant

cphi := ( (J32rx-J31rx)*(J33rx-J31rx)+(J32ry-J31ry)*(J33ry-J31ry) ) / (l3*l4)
sphi := sqrt(1-cphi^2)

% Length of the lower (l1) and upper (l2) limbs of each leg

l1 := 1
l2 := 1.350

```

```
% Value of the orientation angle theta_8 of the platform and its sine and cosine

theta_8 := 0
ct8 := cos(theta_8)
st8 := sin(theta_8)

% Conservative bound used for the position of all joints

maxpos := l1 + l2 + l3 + l2 + l1

% Distances from the base anchor points to the origin, used to bound s1, s2, and s3

d1 := sqrt(J11x^2 + J11y^2)
d2 := sqrt(J12x^2 + J12y^2)
d3 := sqrt(J13x^2 + J13y^2)

[SYSTEM VARS]

% Absolute coords of the moving revolute joints

J31x: [-maxpos, maxpos]
J31y: [-maxpos, maxpos]

J21x: [-maxpos, maxpos]
J21y: [-maxpos, maxpos]

J32x: [-maxpos, maxpos]
J32y: [-maxpos, maxpos]
J22x: [-maxpos, maxpos]
J22y: [-maxpos, maxpos]

J33x: [-maxpos, maxpos]
J33y: [-maxpos, maxpos]
J23x: [-maxpos, maxpos]
J23y: [-maxpos, maxpos]

% Cosines and sines of the orientation angles of links 2, 3, and 4

ct2: [-1, 1]
st2: [-1, 1]
ct3: [-1, 1]
st3: [-1, 1]
ct4: [-1, 1]
st4: [-1, 1]

% Cosines and sines of the orientation angles of links 5, 6, and 7

ct5: [-1, 1]
st5: [-1, 1]
ct6: [-1, 1]
st6: [-1, 1]
ct7: [-1, 1]
st7: [-1, 1]

% Vectors s1, s2, s3 (note that they are not normalized)
```

```

s1x: [-l2, l2]
s1y: [-l2, l2]
s1z: [-(d1+l1)*l2, (d1+l1)*l2]

s2x: [-l2, l2]
s2y: [-l2, l2]
s2z: [-(d2+l1)*l2, (d2+l1)*l2]

s3x: [-l2, l2]
s3y: [-l2, l2]
s3z: [-(d3+l1)*l2, (d3+l1)*l2]

% Components of the omega vector

om11: [-1, 1]
om12: [-1, 1]
om13: [-1, 1]

% Diagonal elements of the B matrix

B11: [-l1*l1*l2, l1*l1*l2]
B22: [-l1*l1*l2, l1*l1*l2]
B33: [-l1*l1*l2, l1*l1*l2]

[SYSTEM EQS]

% Loop closure equations

J12x + l1*ct3 + l2*ct6 - l3*ct8 - l2*ct5 - l1*ct2 - J11x = 0;
J12y + l1*st3 + l2*st6 - l3*st8 - l2*st5 - l1*st2 - J11y = 0;

J13x + l1*ct4 + l2*ct7 - l4*ct8*cphi + l4*st8*sphi - l2*ct5 - l1*ct2 - J11x = 0;
J13y + l1*st4 + l2*st7 - l4*st8*cphi - l4*ct8*sphi - l2*st5 - l1*st2 - J11y = 0;

% Circle equations due to angle algebraizations

ct2^2 + st2^2 = 1;
ct5^2 + st5^2 = 1;
ct3^2 + st3^2 = 1;
ct6^2 + st6^2 = 1;
ct4^2 + st4^2 = 1;
ct7^2 + st7^2 = 1;

% Equations defining the positions of all moving joints

J21x = J11x + l1 * ct2;
J21y = J11y + l1 * st2;

J22x = J12x + l1 * ct3;
J22y = J12y + l1 * st3;

J23x = J13x + l1 * ct4;
J23y = J13y + l1 * st4;

```

```

J31x = J21x + l2 * ct5;
J31y = J21y + l2 * st5;

J32x = J22x + l2 * ct6;
J32y = J22y + l2 * st6;

J33x = J23x + l2 * ct7;
J33y = J23y + l2 * st7;

% Equations defining the s1, s2, and s3 vectors (note that they are not normalized)

s1x = J31x - J21x;
s1y = J31y - J21y;
s1z = J21x*J31y - J21y*J31x;

s2x = J32x - J22x;
s2y = J32y - J22y;
s2z = J22x*J32y - J22y*J32x;

s3x = J33x - J23x;
s3y = J33y - J23y;
s3z = J23x*J33y - J23y*J33x;

% Equations defining the B matrix

B11 = s1x*J11y - s1y*J11x + s1z;
B22 = s2x*J12y - s2y*J12x + s2z;
B33 = s3x*J13y - s3y*J13x + s3z;

% Equations forcing the rank deficiency of matrix B

B11 * om11 = 0;
B22 * om12 = 0;
B33 * om13 = 0;

om11^2 + om12^2 + om13^2 = 1;

% Inequality to select only one solution of the gamma = [om11,om12,om13] vector
0.1394*om11 + 0.4143*om12 + 0.8994*om13 >= 0;

```

**B.2.2. Fichero para calcular las singularidades directas**

```

%%%%%%%%%%%%%%%%%%%%%%%%%%%%%%%%%%%%%%%%%%%%%%%%%%%%%%%%%%%%%%%%%%%%%%%%
% File forward.cuik
%
% Forward kinematic singularities of the 3-Rrr manipulator
% for a fixed platform orientation (given by theta_8)
%%%%%%%%%%%%%%%%%%%%%%%%%%%%%%%%%%%%%%%%%%%%%%%%%%%%%%%%%%%%%%%%%%%%%%%%

[CONSTANTS]

% Coordinates of the base joints expressed in the absolute frame

J11x := 0
J11y := 0
J12x := 2.35
J12y := 0
J13x := 1.175
J13y := 2.035

% Coordinates of the platform joints expressed in the moving frame

J31rx := 0
J31ry := 0
J32rx := 1.2
J32ry := 0
J33rx := 0.6
J33ry := 1.03

% Distances l3, from J31 to J32, and l4, from J31 to J33

l3 := sqrt((J31rx-J32rx)^2 + (J31ry-J32ry)^2)
l4 := sqrt((J31rx-J33rx)^2 + (J31ry-J33ry)^2)

% Cosine and sine of the angle between segments l3 and l4, assumed in the 1st quadrant

cphi := ( (J32rx-J31rx)*(J33rx-J31rx)+(J32ry-J31ry)*(J33ry-J31ry) ) / (l3*l4)
sphi := sqrt(1-cphi^2)

% Length of the lower (l1) and upper (l2) limbs of each leg

l1 := 1
l2 := 1.350

% Value of the orientation angle theta_8 of the platform and its sine and cosine

theta_8 := 0
ct8 := cos(theta_8)
st8 := sin(theta_8)

% Conservative bound used for the position of all joints

maxpos := l1 + l2 + l3 + l2 + l1

% Distances from the base anchor points to the origin, used to bound s1, s2, and s3

```

```
d1 := sqrt(J11x^2 + J11y^2)
d2 := sqrt(J12x^2 + J12y^2)
d3 := sqrt(J13x^2 + J13y^2)

[SYSTEM VARS]

% Absolute coords of the moving revolute joints

J31x: [-maxpos, maxpos]
J31y: [-maxpos, maxpos]

J21x: [-maxpos, maxpos]
J21y: [-maxpos, maxpos]

J32x: [-maxpos, maxpos]
J32y: [-maxpos, maxpos]
J22x: [-maxpos, maxpos]
J22y: [-maxpos, maxpos]

J33x: [-maxpos, maxpos]
J33y: [-maxpos, maxpos]
J23x: [-maxpos, maxpos]
J23y: [-maxpos, maxpos]

% Cosines and sines of the orientation angles of links 2, 3, and 4

ct2: [-1, 1]
st2: [-1, 1]
ct3: [-1, 1]
st3: [-1, 1]
ct4: [-1, 1]
st4: [-1, 1]

% Cosines and sines of the orientation angles of links 5, 6, and 7

ct5: [-1, 1]
st5: [-1, 1]
ct6: [-1, 1]
st6: [-1, 1]
ct7: [-1, 1]
st7: [-1, 1]

% Vectors s1, s2, s3 (note that they are not normalized)

s1x: [-l2, l2]
s1y: [-l2, l2]
s1z: [-(d1+l1)*l2, (d1+l1)*l2]

s2x: [-l2, l2]
s2y: [-l2, l2]
s2z: [-(d2+l1)*l2, (d2+l1)*l2]

s3x: [-l2, l2]
s3y: [-l2, l2]
```

```

s3z: [-(d3+l1)*l2, (d3+l1)*l2]

% Components of the Tw vector

Twx: [-1,1]
Twy: [-1,1]
Twz: [-1,1]

[SYSTEM EQS]

% Loop closure equations

J12x + l1*ct3 + l2*ct6 - l3*ct8 - l2*ct5 - l1*ct2 - J11x = 0;
J12y + l1*st3 + l2*st6 - l3*st8 - l2*st5 - l1*st2 - J11y = 0;

J13x + l1*ct4 + l2*ct7 - l4*ct8*cphi + l4*st8*sphi - l2*ct5 - l1*ct2 - J11x = 0;
J13y + l1*st4 + l2*st7 - l4*st8*cphi - l4*ct8*sphi - l2*st5 - l1*st2 - J11y = 0;

% Circle equations due to angle algebraizations

ct2^2 + st2^2 = 1;
ct5^2 + st5^2 = 1;
ct3^2 + st3^2 = 1;
ct6^2 + st6^2 = 1;
ct4^2 + st4^2 = 1;
ct7^2 + st7^2 = 1;

% Equations defining the positions of all moving joints

J21x = J11x + l1 * ct2;
J21y = J11y + l1 * st2;

J22x = J12x + l1 * ct3;
J22y = J12y + l1 * st3;

J23x = J13x + l1 * ct4;
J23y = J13y + l1 * st4;

J31x = J21x + l2 * ct5;
J31y = J21y + l2 * st5;

J32x = J22x + l2 * ct6;
J32y = J22y + l2 * st6;

J33x = J23x + l2 * ct7;
J33y = J23y + l2 * st7;

% Equations defining the s1, s2, and s3 vectors (note that they are not normalized)

s1x = J31x - J21x;
s1y = J31y - J21y;
s1z = J21x*J31y - J21y*J31x;

s2x = J32x - J22x;
s2y = J32y - J22y;

```

```
s2z = J22x*J32y - J22y*J32x;

s3x = J33x - J23x;
s3y = J33y - J23y;
s3z = J23x*J33y - J23y*J33x;

% Equations to force the rank deficiency of matrix A

s1x*Twx + s1y*Twy + s1z*Twz = 0;
s2x*Twx + s2y*Twy + s2z*Twz = 0;
s3x*Twx + s3y*Twy + s3z*Twz = 0;

% Equation to force a twist vector Tw of unit norm

Twx^2 + Twy^2 + Twz^2 = 1;

% Inequality to select only one solution of the Tw vector

0.1394*Twx + 0.4143*Twy + 0.8994*Twz >= 0;

% Inequalities to select a specific working mode
% (uncomment if necessary)
%
% s1x*J11y - s1y*J11x + s1z >= 0;
% s2x*J12y - s2y*J12x + s2z >= 0;
% s3x*J13y - s3y*J13x + s3z <= 0;
```



## Documentación técnica de los elementos

A continuación se incluye la siguiente documentación técnica de los principales elementos que integran el robot:

- Documentación del servomotor Dynamixel MX-64 de Robotis, incluyendo:
  1. Manual del servomotor MX-64T.
  2. Formato detallado de los *instruction* y *status packets*.
  3. Listado de instrucciones posibles en un *instruction packet*.
- Características y parámetros físicos del motor Maxon RE-max 21, modelo 250002, montado en el servomotor.
- Características del codificador angular absoluto AVAGO, modelo AEAT-6012.
- Características del conector rotativo BTH1256 de la marca ByTune Electronics.
- Características de la memoria externa SPI SRAM de 512 kbits, modelo 23LCV512, de Microchip Technology Inc.



## Documentación del servomotor Dynamixel MX-64 de Robotis

Manual del servomotor MX-64T

Formato detallado de los *instruction* y *status packets*

Listado de instrucciones posibles en un *instruction packet*



# MX-64T / MX-64R

---

## Parts Photo

---



[MX-64T]

[MX-64R]

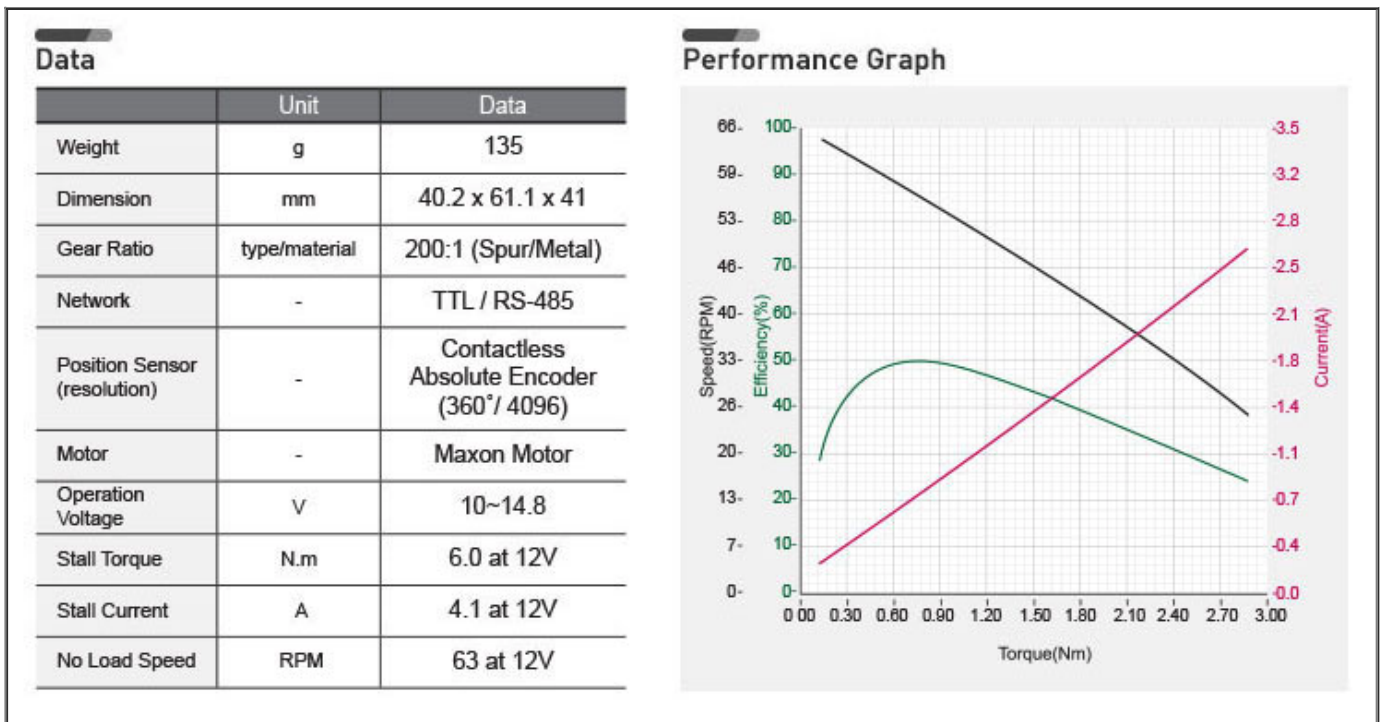
- ※ Control Table's Compliance replaced by PID.
- ※ The control table's order for PID has changed to DIP from this version onwards. Please make reference of this change.
- ※ Although the MX-64T (TTL) and MX-64R (RS-485) differ in communications protocols both have the same features and perform equally. (TTL uses 3-pin connectors while RS-485 uses 4)

## H/W Specification

---

- MCU : ST CORTEX-M3 ( STM32F103C8 @ 72MHZ,32BIT)
- POSITION SENSOR : Contactless absolute encoder (12BIT,360 DEGREE)
- MOTOR : Maxon
- BAUD RATE : 8000 bps ~ 4.5 Mbps
- CONTROL ALGORITHM : PID CONTROL
- Resolution : 0.088°
- Running Degree
  - 0° ~ 360°
  - Endless Turn
- Weight : 126g
- Dimension : 40.2mm x 61.1mm x 41mm
- Gear Reduction Ratio : 200 : 1
- Stall Torque
  - 5.5N.m (at 11.1V, 3.9A),
  - 6.0N.m (at 12V, 4.1A)
  - 7.3N.m (at 14.8V, 5.2A)
- No load speed
  - 58rpm (at 11.1V)
  - 63rpm (at 12V)
  - 78rpm (at 14.8V)
- Running Temperature : -5°C ~ +80°C
- Voltage : 10 ~ 14.8V (Recommended Voltage 12V)

- Command Signal : Digital Packet
- Protocol Type
  - MX-64T (Half duplex Asynchronous Serial Communication (8bit,1stop, No Parity))
  - MX-64R (RS485 Asynchronous Serial Communication (8bit,1stop, No Parity))
- Link (Physical)
  - MX-64T (TTL Level Multi Drop Bus)
  - MX-64R (RS485 Multi Drop Bus)
- ID : 254 ID (0~253)
- Feedback : Position, Temperature, Load, Input Voltage, etc.
- Material : Full Metal Gear, Engineering Plastic Body
- Standby current : 100 mA



#### Precautions when connecting to power supply!

- For the stable power supply, we recommend using ROBOTIS controller or SMPS2Dynamixel.
- Connect your DYNAMIXEL to power supply while it's off and turn on/off with the power switch.

## Control Table

Control Table consists of data regarding the current status and operation, which exists inside of Dynamixel. The user can control Dynamixel by changing data of Control Table via Instruction Packet.

### EEPROM and RAM

Data in RAM area is reset to the initial value whenever the power is turned on while data in EEPROM area is kept once the value is set even if the power is turned off.

### Address

It represents the location of data. To read from or write data to Control Table, the user should assign the correct address in the Instruction Packet.

### Access

Dynamixel has two kinds of data: Read-only data, which is mainly used for sensing, and Read-and-Write data, which is used for driving.

### Initial Value

In case of data in the EEPROM Area, the initial values on the right side of the below Control Table are the factory default settings. In case of data in the RAM Area, the initial values on the right side of the above Control Tables are the ones when the power is turned on.

### Highest/Lowest Byte

In the Control table, some data share the same name, but they are attached with (L) or (H) at the end of each name to distinguish the address. This data requires 16bit, but it is divided into 8bit each for the addresses (low) and (high). These two addresses should be written with one Instruction Packet at the same time.

Area	Address (Hexadecimal)	Name	Description	Access	Initial Value (Hexadecimal)
E E P R O M	0 (0X00)	Model Number(L)	Lowest byte of model number	R	54 (0X36)
	1 (0X01)	Model Number(H)	Highest byte of model number	R	1 (0X01)
	2 (0X02)	Version of Firmware	Information on the version of firmware	R	-
	3 (0X03)	ID	ID of Dynamixel	RW	1 (0X01)
	4 (0X04)	Baud Rate	Baud Rate of Dynamixel	RW	34 (0X22)
	5 (0X05)	Return Delay Time	Return Delay Time	RW	250 (0XFA)
	6 (0X06)	CW Angle Limit(L)	Lowest byte of clockwise Angle Limit	RW	0 (0X00)
	7 (0X07)	CW Angle Limit(H)	Highest byte of clockwise Angle Limit	RW	0 (0X00)
	8 (0X08)	CCW Angle Limit(L)	Lowest byte of counterclockwise Angle Limit	RW	255 (0XFF)
	9 (0X09)	CCW Angle Limit(H)	Highest byte of counterclockwise Angle Limit	RW	15 (0X0F)
	11 (0X0B)	the Highest Limit Temperature	Internal Limit Temperature	RW	80 (0X50)
	12 (0X0C)	the Lowest Limit Voltage	Lowest Limit Voltage	RW	60 (0X3C)
	13 (0X0D)	the Highest Limit Voltage	Highest Limit Voltage	RW	160 (0XA0)
	14 (0X0E)	Max Torque(L)	Lowest byte of Max. Torque	RW	255 (0XFF)
	15 (0X0F)	Max Torque(H)	Highest byte of Max. Torque	RW	3 (0X03)
	16 (0X10)	Status Return Level	Status Return Level	RW	2 (0X02)
	17 (0X11)	Alarm LED	LED for Alarm	RW	36 (0X24)
	18 (0X12)	Alarm Shutdown	Shutdown for Alarm	RW	36 (0X24)
	20 (0X14)	Multi Turn Offset(L)	multi-turn offset least significant byte (LSB)	RW	0 (0X00)
	21 (0X15)	Multi Turn Offset(H)	multi-turn offset most significant byte (MSB)	RW	0 (0X00)
	22 (0X16)	Resolution Divider	Resolution divider	RW	1 (0X01)
	R A M	24 (0X18)	Torque Enable	Torque On/Off	RW
25 (0X19)		LED	LED On/Off	RW	0 (0X00)
26 (0X1A)		D Gain	Derivative Gain	RW	0 (0X00)
27 (0X1B)		I Gain	Integral Gain	RW	0 (0X00)
28 (0X1C)		P Gain	Proportional Gain	RW	32 (0X20)
30 (0X1E)		Goal Position(L)	Lowest byte of Goal Position	RW	-
31 (0X1F)		Goal Position(H)	Highest byte of Goal Position	RW	-
32 (0X20)		Moving Speed(L)	Lowest byte of Moving Speed (Moving Velocity)	RW	-
33 (0X21)		Moving Speed(H)	Highest byte of Moving Speed (Moving Velocity)	RW	-
34 (0X22)		Torque Limit(L)	Lowest byte of Torque Limit (Goal Torque)	RW	ADD14
35 (0X23)		Torque Limit(H)	Highest byte of Torque Limit (Goal Torque)	RW	ADD15
36 (0X24)		Present Position(L)	Lowest byte of Current Position (Present Velocity)	R	-
37 (0X25)		Present Position(H)	Highest byte of Current Position (Present Velocity)	R	-

R A M			Velocity)		
	38 (0X26)	Present Speed(L)	Lowest byte of Current Speed	R	-
	39 (0X27)	Present Speed(H)	Highest byte of Current Speed	R	-
	40 (0X28)	Present Load(L)	Lowest byte of Current Load	R	-
	41 (0X29)	Present Load(H)	Highest byte of Current Load	R	-
	42 (0X2A)	Present Voltage	Current Voltage	R	-
	43 (0X2B)	Present Temperature	Current Temperature	R	-
	44 (0X2C)	Registered	Means if Instruction is registered	R	0 (0X00)
	46 (0X2E)	Moving	Means if there is any movement	R	0 (0X00)
	47 (0X2F)	Lock	Locking EEPROM	RW	0 (0X00)
	48 (0X30)	Punch(L)	Lowest byte of Punch	RW	0 (0X00)
	49 (0X31)	Punch(H)	Highest byte of Punch	RW	0 (0X00)
	68 (0X44)	Current(L)	Lowest byte of Consuming Current	RW	0 (0X00)
	69 (0X45)	Current(H)	Highest byte of Consuming Current	RW	0 (0X00)
	70 (0X46)	Torque Control Mode Enable	Torque control mode on/off	RW	0 (0X00)
	71 (0X47)	Goal Torque(L)	Lowest byte of goal torque value	RW	0 (0X00)
	72 (0X48)	Goal Torque(H)	Highest byte of goal torque value	RW	0 (0X00)
	73 (0X49)	Goal Acceleration	Goal Acceleration	RW	0 (0X00)

## Address Function Help

### EEPROM Area

#### Model Number

It represents the Model Number.

#### Firmware Version

It represents the firmware version.

#### ID

It is a unique number to identify Dynamixel.

The range from 0 to 252 (0xFC) can be used, and, especially, 254(0xFE) is used as the Broadcast ID.

If the Broadcast ID is used to transmit Instruction Packet, we can command to all Dynamixels.

Please be careful not to duplicate the ID of connected Dynamixel.

#### Baud Rate

It is the baud rate to communicate with controller. It is available in between 0~254(0xFE).

If the data value is in between 0~249 :

$$\text{Baudrate(BPS)} = 2000000 / (\text{Data} + 1)$$

Data	Set BPS	Target BPS	Tolerance
1	1000000.0	1000000.0	0.000 %
3	500000.0	500000.0	0.000 %
4	400000.0	400000.0	0.000 %
7	250000.0	250000.0	0.000 %
9	200000.0	200000.0	0.000 %

16	117647.1	115200.0	-2.124 %
34	57142.9	57600.0	0.794 %
103	19230.8	19200.0	-0.160 %
207	9615.4	9600.0	-0.160 %

If the data value is over the 250 :

Data	Set BPS	Target BPS	Tolerance
250	2250000.0	2250000.0	0.000 %
251	2500000.0	2500000.0	0.000 %
252	3000000.0	3000000.0	0.000 %

Note : Maximum Baud Rate error of 3% is within the tolerance of UART communication.

### Return Delay Time

It is the delay time per data value that takes from the transmission of Instruction Packet until the return of Status Packet. 0 to 254 (0xFE) can be used, and the delay time per data value is 2 usec.

That is to say, if the data value is 10, 20 usec is delayed. The initial value is 250 (0xFA) (i.e., 0.5 msec).

### CW/CCW Angle Limit

The angle limit allows the motion to be restrained.

The range and the unit of the value is the same as Goal Position(Address 30, 31).

- CW Angle Limit: the minimum value of Goal Position(Address 30, 31)
- CCW Angle Limit: the maximum value of Goal Position(Address 30, 31)

The following two modes can be set pursuant to the value of CW and CCW.

Operation Type	CW / CCW
Wheel Mode	both are 0
Joint Mode	neither at 0
Multi-turn Mode	both are 4095

The wheel mode can be used to wheel-type operation robots since motors of the robots spin infinitely.

The joint mode can be used to multi-joints robot since the robots can be controlled with specific angles.

Multi-turn mode allows joints have range of controllable position values from -28672 to 28672.

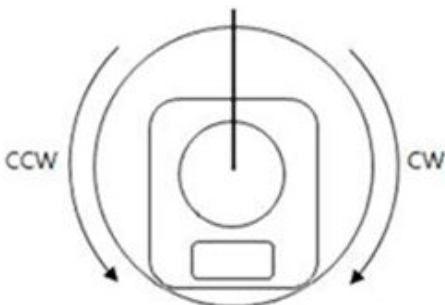
### Multi Turn Offset

Adjusts position (zeroing). This value gets included in Present Position (36).

Present position + multi-turn offset.

Initial value is 0 and range is from -24576 to 24576

A Dynamixel with a position of 2048 with an applied offset of 1024 outputs a Present position of 3072.



1. Real Position = 2048
2. Multi Turn Offset = 1024
3. Present Position = 3072

Note: This feature is only applied in multi-turn mode and ignored in other modes.

### Resolution Divider

It allows the user to change Dynamixel's resolution.

The default Resolution Divider Value is set as 1. (1 ~ 4 available)

When resolution is lowered, revolutions (in both directions) can be increased (up to 28 turns in each direction).

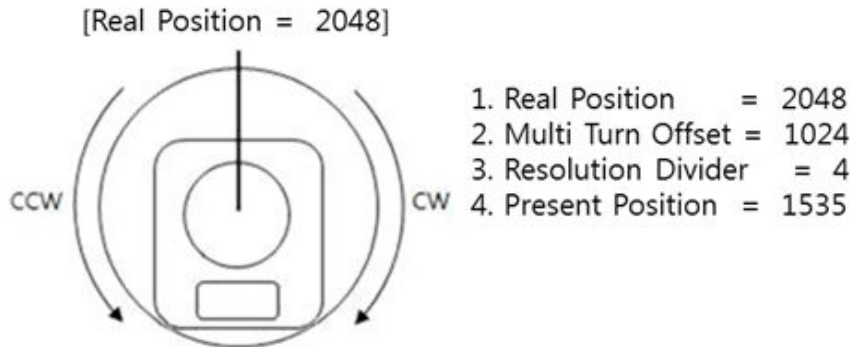
Present Position = Real Position / Resolution Divider

For example, a Real Position of 2048 with a Resolution Divider set as 2 will yield a Present Position value of 1024 ( $2048/2 = 1024$ ). A Dynamixel with Resolution Divider set as 2 will have a resolution 2048 for a single revolution.

The Present Position can be obtained while Multi-turn Offset and Resolution Divider are taken into account.

Present position = (Real Position / Resolution Divider) + Multi-turn Offset

For example, a Dynamixel with a Real Position of 2048 with a Resolution Divider set as 4 and Multi-turn Offset as 1024 will yield a Present Position of 1535 ( $(2048/4) + 1024 = 1535$ ).



Note: This feature is only applied in multi-turn mode and ignored in other modes.

### The Highest Limit Temperature

Caution : Do not set the temperature lower/higher than the default value.

When the temperature alarm shutdown occurs, wait 20 minutes to cool the temperature before re-use.

Using the product when the temperature is high may and can cause damage.

### The Lowest (Highest) Limit Voltage

It is the operation range of voltage.

50 to 250 (0x32 ~ 0x96) can be used. The unit is 0.1V.

For example, if the value is 80, it is 8V.

If Present Voltage (Address42) is out of the range, Voltage Range Error Bit (Bit0) of Status Packet is returned as '1' and Alarm is triggered as set in the addresses 17 and 18.

### Max Torque

It is the torque value of maximum output. 0 to 1023 (0x3FF) can be used, and the unit is about 0.1%.

For example, Data 1023 (0x3FF) means that Dynamixel will use 100% of the maximum torque it can produce while Data 512 (0x200) means that Dynamixel will use 50% of the maximum torque. When the power is turned on, Torque Limit (Addresses 34 and 35) uses the value as the initial value.

### Status Return Level

It decides how to return Status Packet. There are three ways like the below table.

Value	Return of Status Packet
0	No return against all commands (Except PING Command)
1	Return only for the READ command
2	Return for all commands

When Instruction Packet is Broadcast ID, Status Packet is not returned regardless of Status Return Level.

## Alarm LED

### Alarm Shutdown

Dynamixel can protect itself by detecting errors occur during the operation.

The errors can be set are as the table below.

Bit	Name	Contents
Bit 7	0	-
Bit 6	Instruction Error	When undefined Instruction is transmitted or the Action command is delivered without the reg_write command
Bit 5	Overload Error	When the current load cannot be controlled with the set maximum torque
Bit 4	Checksum Error	When the Checksum of the transmitted Instruction Packet is invalid
Bit 3	Range Error	When the command is given beyond the range of usage
Bit 2	OverHeating Error	When the internal temperature is out of the range of operating temperature set in the Control Table
Bit 1	Angle Limit Error	When Goal Position is written with the value that is not between CW Angle Limit and CCW Angle Limit
Bit 0	Input Voltage Error	When the applied voltage is out of the range of operating voltage set in the Control Table

It is possible to make duplicate set since the function of each bit is run by the logic of 'OR'. That is, if 0X05 (binary 00000101) is set, both Input Voltage Error and Overheating Error can be detected.

If errors occur, in case of Alarm LED, the LED blinks; in case of Alarm Shutdown, the motor output becomes 0 % by making the value of Torque Limit(Address 34, 35) as 0.

## RAM Area

### Torque Enable

Value	Meaning
0	Keeps Torque from generating by interrupting the power of motor.
1	Generates Torque by impressing the power to the motor.

### LED

Bit	Meaning
0	Turn OFF the LED
1	Turn ON the LED

### PID Gain

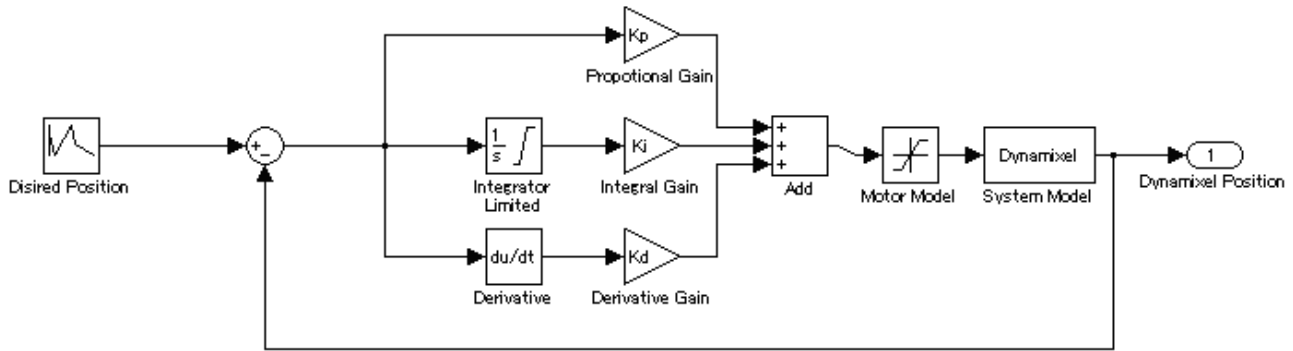
MX series will use the PID controller as a main control method.

P gain refers to the value of proportional band.

I gain refers to the value of integral action.

D Gain refers to the value of derivative action.

Gains values are in between 0~254.



$$K_p = \text{P Gain} / 8$$

$$K_i = \text{I Gain} * 1000 / 2048$$

$$K_d = \text{D Gain} * 4 / 1000$$

※ The relationship between Compliance Slop and PID

Slope	P Gain
8	128
16	64
32	32
64	16
128	8

The less the P gain, The larger the back lash, and the weaker the amount of output near goal position.

At some extent, it is like a combined concept of margine and slope.

It does not exactly match the previous concept of compliance. So it is obvious if you see the difference in terms of motion.

※ Explanation for PID required.

For the brief explanation about general PID, please refer to the website(link) below.

[http://en.wikipedia.org/wiki/PID\\_controller](http://en.wikipedia.org/wiki/PID_controller)

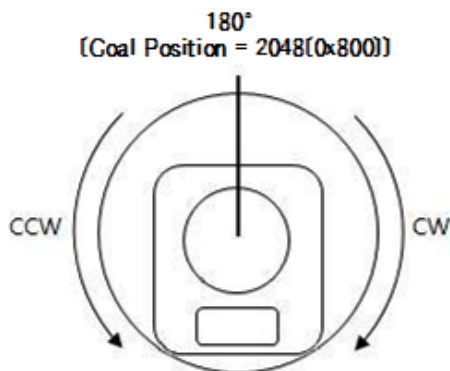
FYI, PID control theory is not only limited to the control of motor(actuator) but is a generic theory that can be applied to all kinds of control.

**Goal Position**

It is a position value of destination.

0 to 4095 (0xFFFF) is available. The unit is 0.088 degree.

If Goal Position is out of the range, Angle Limit Error Bit (Bit1) of Status Packet is returned as '1' and Alarm is triggered as set in Alarm LED/Shutdown.



**Moving Speed**

- Joint Mode, Multi-Turn mode

It is a moving speed to Goal Position.

0~1023 (0X3FF) can be used, and the unit is about 0.114rpm.

If it is set to 0, it means the maximum rpm of the motor is used without controlling the speed.

If it is 1023, it is about 117.07rpm.

For example, if it is set to 300, it is about 34.33 rpm.

- Wheel Mode

It is a moving speed to Goal direction.

0~2047 (0X7FF) can be used, and the unit is about 0.114rpm.

If a value in the range of 0~1023 is used, it is stopped by setting to 0 while rotating to CCW direction.

If a value in the range of 1024~2047 is used, it is stopped by setting to 1024 while rotating to CW direction.

That is, the 10th bit becomes the direction bit to control the direction.

Note: This mode allows to check max rpm. Any values set higher than max rpm will not take effect.

### Torque Limit

It is the value of the maximum torque limit.

0 to 1023 (0x3FF) is available, and the unit is about 0.1%.

For example, if the value is 512, it is about 50%; that means only 50% of the maximum torque will be used.

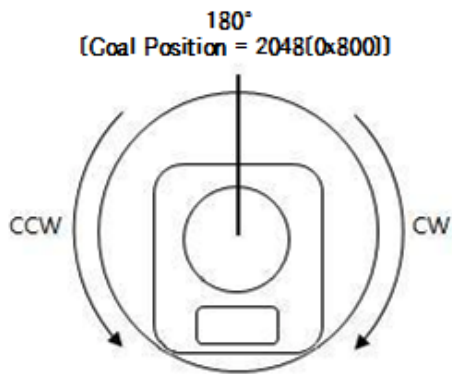
If the power is turned on, the value of Max Torque (Address 14, 15) is used as the initial value.

Notes: If the function of Alarm Shutdown is triggered, the motor loses its torque because the value becomes 0. At this moment, if the value is changed to the value other than 0, the motor can be used again.

### Present Position

It is the current position value of Dynamixel.

The range of the value is 0~4095 (0xFFFF), and the unit is 0.088 degree.



In multi-turn mode range is from -28672 to 28672 with unit values dependent on Resolution Divider (0.088 \* Resolution Divider)

Note: in multi-turn mode Present position depends on resolution divider and multi-turn offset For more information turn to the section on [Multi Turn offset](#) and [Resolution Divider](#)

### Present Speed

Is the current moving speed.

0~2047 (0x000~0X7FF) can be used.

If a value is in the range of 0~1023 then the motor rotates to the CCW direction.

If a value is in the range of 1024~2047 then the motor rotates to the CW direction.

The 10th bit becomes the direction bit to control the direction; 0 and 1024 are equal.

The value unit is about 0.11rpm.

For example, if it is set to 300 then the motor is moving to the CCW direction at a rate of about 34.33rpm.

### Present Load

It means currently applied load.

The range of the value is 0~2047, and the unit is about 0.1%.

If the value is 0~1023, it means the load works to the CCW direction.

If the value is 1024~2047, it means the load works to the CW direction.

That is, the 10th bit becomes the direction bit to control the direction, and 1024 is equal to 0.

For example, the value is 512, it means the load is detected in the direction of CCW about 50% of the maximum torque.

<b>BIT</b>	15~11	10	9	8	7	6	5	4	3	2	1	0
<b>Value</b>	0	Load Direction	Data (Load Ratio)									

**Load Direction = 0 : CCW Load, Load Direction = 1: CW Load**

Notes: Current load is inferred from the internal torque value, not from Torque sensor etc.

For that reason, it cannot be used to measure weight or torque; however, it must be used only to detect which direction the force works.

### Present Voltage

It is the size of the current voltage supplied.

This value is 10 times larger than the actual voltage. For example, when 10V is supplied, the data value is 100 (0x64)

### Present Temperature

It is the internal temperature of Dynamixel in Celsius.

Data value is identical to the actual temperature in Celsius. For example, if the data value is 85 (0x55), the current internal temperature is 85°C.

### Registered Instruction

Value	Meaning
0	There are no commands transmitted by REG_WRITE
1	There are commands transmitted by REG_WRITE.

Notes: If ACTION command is executed, the value is changed into 0.

### Moving

Value	Meaning
0	Goal position command execution is completed.
1	Goal position command execution is in progress.

### Lock

Value	Meaning
0	EEPROM area can be modified.
1	EEPROM area cannot be modified.

Caution: If Lock is set to 1, the power must be turned off and then turned on again to change into 0.

### Punch

Current to drive motor is at minimum.

Can choose vales from 0x00 to 0x3FF.

## Current

Value at 2048(0x800) when current is consumption is idle.

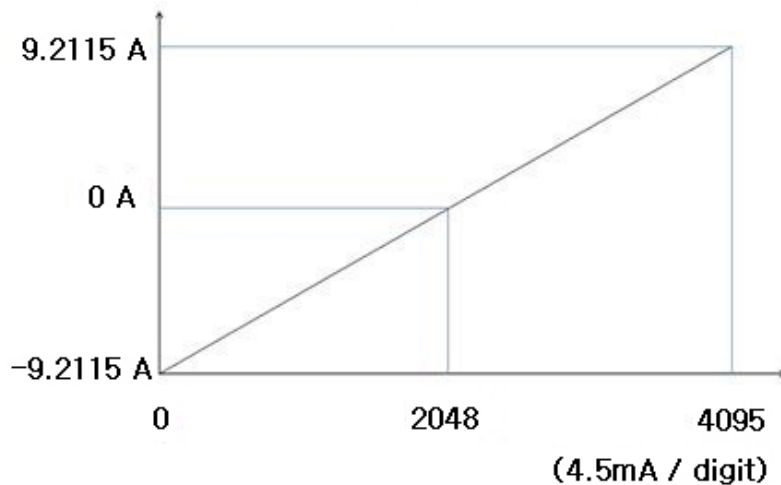
Values higher than 2048(0x800) during positive current flow

Values lower than 2048(0x800) during negative current flow

The following is a method to calculate current flow

$$I = ( 4.5\text{mA} ) * (\text{CURRENT} - 2048) \text{ in amps unit (A).}$$

For example, 68 gives a value of 2148, which corresponds to 450mA of current flow.



## Torque Control Mode Enable

Value	Meaning
0	Turn off the torque mode. Executes Joint mode or Wheel mode.
1	Turn on the torque mode. Cannot control the position or moving speed but only Torque.

When Torque Control Mode Enable is at 1, DYNAMIXEL behaves like the followings

1. DYNAMIXEL does not control the position or the moving speed.
2. DYNAMIXEL controls with goal torque value.
3. DYNAMIXEL does not react to whatever value in Goal position and Goal speed.
4. Because position/moving speed is not controller, DYNAMIXEL behaves as if it is in the wheel mode.

## Goal Torque

These are the goal torque value

You can use 0 ~ 2047 (0x7FF), and the unit is 4.5mA.

(torque is directly proportional to the current value.)

If you use from 0~1023, torque is on toward CCW, and when you set it to 0, it stops.

If you use from 1024~2047, torque is on toward CW, and when you set it to 1024, it stops.

That means, 10<sup>th</sup> bit becomes the direction bit, which controls direction.

Goal Torque cannot be bigger than Torque Limit(34,35)

## Goal Acceleration

This is Goal Acceleration value.

It can be used from 0~254(0xFE), and the unit is approximately 8.583 Degree / sec<sup>2</sup>.

When it is set to 0, there is no control over acceleration and moves with the maximum acceleration of the motor.

When the goal speed is set to 0, there is no control over acceleration and moves with the maximum acceleration of the motor.

When it is set to 254, it becomes 2180 Degree / sec<sup>2</sup>

For example, the current speed of Dynamixel is 0, and Goal acceleration is 10,

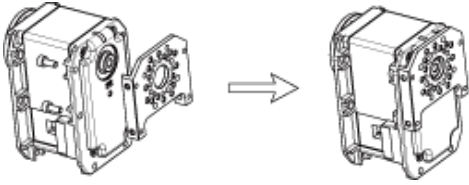
The speed of Dynamixel after 1 second will be 14.3 RPM.

## Option Frame

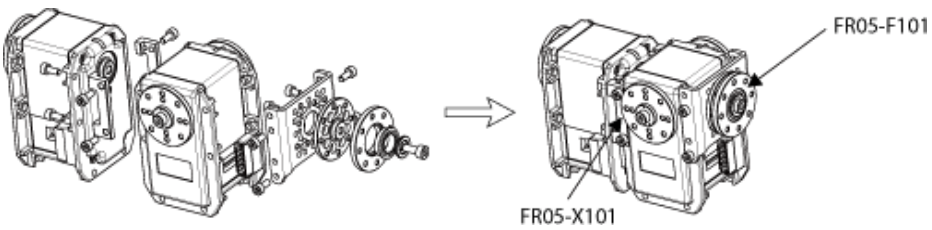
---

The types of MX-64 option frame are as follows.

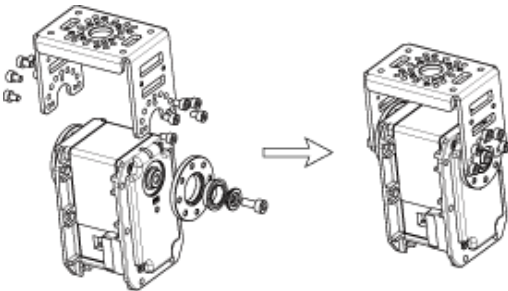
FR05-B101



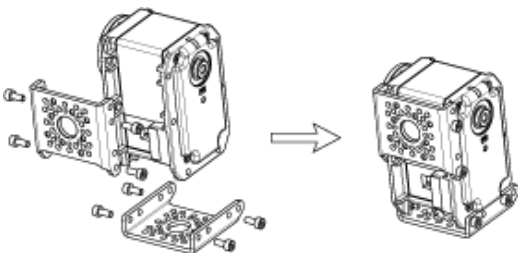
FR05-F101\_FR05-X101



FR05-H101



FR05-S101



## Horn

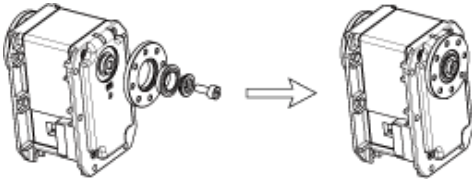
---

The types of MX-64 Horn are as follows.

HN05-N102



HN05-I101

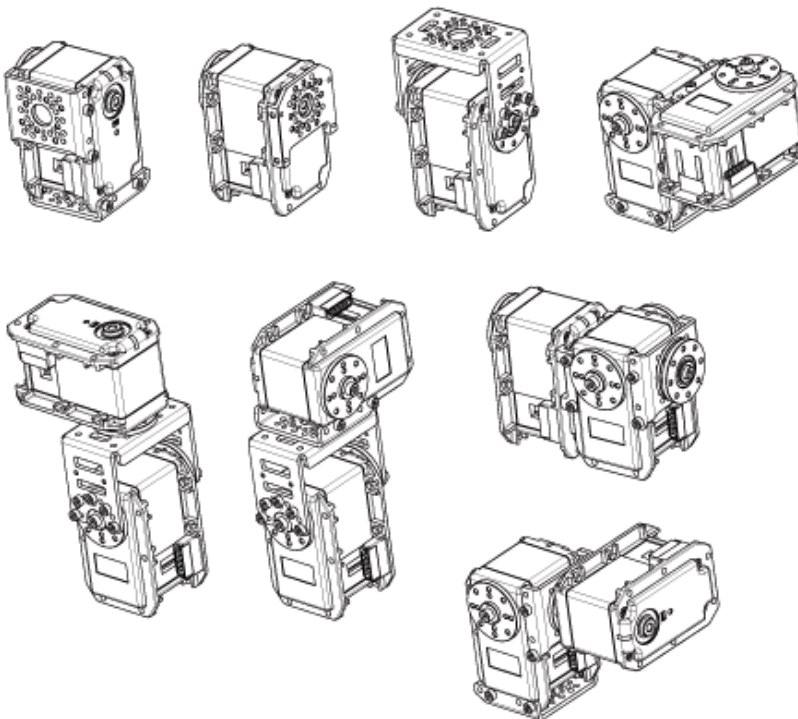


Ref: place careful attention when aligning the horn of the RX-64 to prevent misalignment.

## Combination

---

The following example shows the combination structure of option frames and horns.



## Dimension

---

Drawing Information : [DOWNLOAD](#) RX64Dimension.pdf

## Videos

---

HOW TO REPLACE GEARS

## Instruction Packet

---

Instruction Packet is command data that Main Controller sends to Dynamixel.

The structure of Instruction Packet is as follows:



The meaning of each byte composing packet is as follows:

**0xFF 0xFF**

This signal notifies the beginning of the packet

**ID**

It is the ID of Dynamixel which will receive Instruction Packet. It can use 254 IDs from 0 to 253 (0X00~0XFD).

### Broadcasting ID

ID = 254 (0XFE)

If Broadcast ID is used, all linked Dynamixels execute command of Instruction Packet, and Status Packet is not returned.

**LENGTH**

It is the length of the packet. The length is calculated as “the number of Parameters (N) + 2”.

**INSTRUCTION**

This command gives an instruction to Dynamixel and has the following types.

Value	Name	Function	No.of Parameters
0x01	PING	No execution. It is used when controller is ready to receive Status Packet	0
0x02	READ_DATA	This command reads data from Dynamixel	2
0x03	WRITE_DATA	This command writes data to Dynamixel	2 or more
0x04	REG WRITE	It is similar to WRITE_DATA, but it remains in the standby state without being executed until the ACTION command arrives.	2 or more
0x05	ACTION	This command initiates motions registered with REG WRITE	0
0x06	RESET	This command restores the state of Dynamixel to the factory default setting.	0
0x83	SYNC WRITE	This command is used to control several Dynamixels simultaneously at a time.	4 or more



Bit	Name	Contents
Bit 7	0	-
Bit 6	Instruction Error	In case of sending an undefined instruction or delivering the action command without the reg_write command, it is set as 1.
Bit 5	Overload Error	When the current load cannot be controlled by the set Torque, it is set as 1.
Bit 4	Checksum Error	When the Checksum of the transmitted Instruction Packet is incorrect, it is set as 1.
Bit 3	Range Error	When a command is out of the range for use, it is set as 1.
Bit 2	Overheating Error	When internal temperature of Dynamixel is out of the range of operating temperature set in the Control table, it is set as 1.
Bit 1	Angle Limit Error	When Goal Position is written out of the range from CW Angle Limit to CCW Angle Limit , it is set as 1.
Bit 0	Input Voltage Error	When the applied voltage is out of the range of operating voltage set in the Control table, it is as 1.

For example, when Status Packet is returned as below

0xFF 0xFF 0x01 0x02 0x24 0xD8

It means that the error of 0x24 occurs from Dynamixel whose ID is 01. Since 0x24 is 00100100 as binary, Bit5 and Bit2 become 1. In other words, Overload and Overheating Errors have occurred.

The error types on the table above are related to actuators, and the contents may vary depending on the type of Dynamixel.

#### PARAMETER 0...N

It returns data except ERROR. For the usage of parameters, refer to "3-5 How to Use Packet".

#### CHECK SUM

It is used to check if packet is damaged during communication. The below formula defines Check Sum. This formula is constructed in the same way as the Check Sum of Instruction Packet.

Check Sum =  $\sim ( ID + Length + Error + Parameter1 + \dots + Parameter N )$

## Kind of Instruction

To operate Dynamixel, Instruction Packet, which is binary type data, should be sent to Dynamixel from Main Controller. Instruction Packet has seven kinds of commands. (Refer to “[Instruction Packet](#)”)

In addition, Dynamixel receives Instruction Packet to perform a command and returns the result as Status Packet to Main Controller. This section describes examples of the usage of each command of Instruction Packet.

The following example is written based on Dynamixel Actuator RX-64. Since other Dynamixels such as AX-12/12+, DX etc. consist of equal command, the same Packet type can be used.

## READ DATA

**Function** This command is to read data in the Control Table inside of RX-64.

**Length** 0X04

**Instruction** 0X02

**Parameter1** Start Address of data to be read

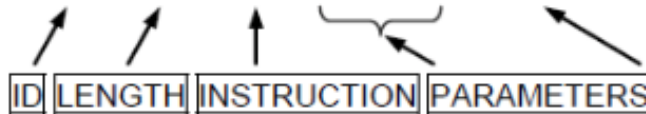
**Parameter2** Length of Data to be read

### Example 1

Reads the current internal temperature of RX-64 whose ID is 1.

Reads 1 byte from the value of Address 43 (0x2B) in the Control Table.

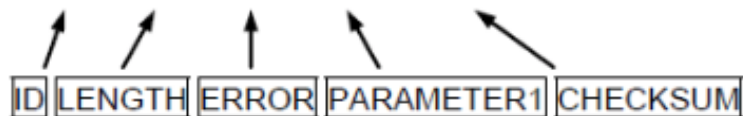
Instruction Packet : 0XFF 0XFF 0X01 0X04 0X02 0X2B 0X01 0XCC



### CHECKSUM

Status Packet returned is as follows:

Status Packet : 0XFF 0XFF 0X01 0X03 0X00 0X20 0XDB



Data value read is 0x20 (i.e., 32 in decimal). Thus, the current internal temperature

## WRITE DATA

**Function** This command is to write data to the Control Table inside of RX-64.

**Length** N+3 (if the number of writing data is N)

**Instruction** 0X03

**Parameter1** Start address to write data

**Parameter2** First data to write

**Parameter3** Second data to write

**Parameter N+1** Nth Data to write

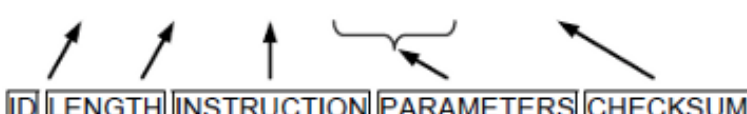
**Example 2**    Sets the ID of RX-64 as "1".

Writes 1 to the Address 3 in the Control Table.

Sends ID as Broadcasting ID(0xFE).

Instruction Packet : 0XFF 0XFF 0XFE 0X04 0X03 0X03 0X01 0XF6'

ID	LENGTH	INSTRUCTION	PARAMETERS	CHECKSUM
----	--------	-------------	------------	----------



Status Packet is not returned since Broadcast ID (0xFE) is transmitted.

## REG WRITE

**Function** The REG\_WRITE command is similar to the WRITE\_DATA command in terms of function, but differs in terms of the timing that a command is executed. When Instruction Packet arrives, it is saved in Buffer and the Write operation remains in the standby state. At this moment, Registered Instruction (Address 44 (0x2C)) is set as "1". Then, when Action Instruction Packet arrives, Registered Instruction changes into "0" and the registered Write command is finally executed.

**Length** N+3 (if the number of Writing Data is N)

**Instruction** 0X04

**Parameter1** Start Address to write Data

**Parameter2** First data to write

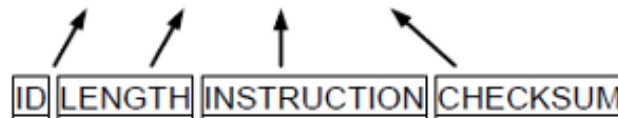
**Parameter N+1** Nth data to write

**Example 3**

Receives Status Packet of RX-64 whose ID is 1.

Reads 1 byte from the value of Address 43 (0x2B) in the Control Table.

Instruction Packet : 0xFF 0xFF 0x01 0x02 0x01 0xFB'



Status Packet returned is as follows:

Status Packet : 0xFF 0xFF 0x01 0x02 0x00 0xFC



## ACTION

**Function** This command is to execute the Write action registered by REG\_WRITE

**Length** 0x02

**Instruction** 0x05

**Parameter** NONE

The Action command is useful when several RX-64s are moved with accuracy at the same time. When several running gears are controlled via communication, there is a little time difference in terms of enabling time between the first and the last running gear getting commands. RX-64 has resolved this problem by using Action Instruction.

## PING

**Function** This command does not instruct anything. It is only used when receiving Status Packet or confirming the existence of RX-64 with a specific ID. .

**Length** 0x02

**Instruction** 0x01

**Parameter** NONE

Although Status Return Level (Address 16 (0x10)) is 0, it returns Status Packet all the time for Ping Instruction. But, it does not return Status Packet when Check Sum Error occurs in spite of using PING Instruction.

## RESET

**Function** This command is to reset the Control Table of RX-64 to the factory default setting

Please be careful since the value set by users can be erased if RESET command is used.

**Length** 0X02

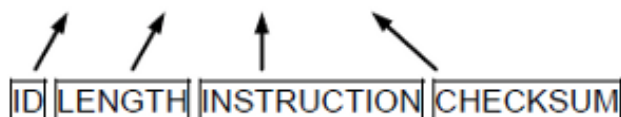
**Instruction** 0X06

**Parameter** NONE

### Example 4

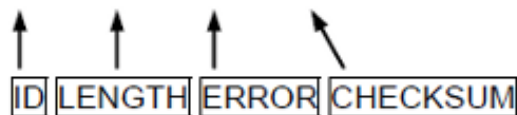
Resets the Control Table of RX-64 whose ID is 0.

Instruction Packet : 0XFF 0XFF 0X00 0X02 0X06 0XF7



Status Packet returned is as follows:

Status Packet : 0XFF 0XFF 0X00 0X02 0X00 0XFD



Please note that ID is changed into "1" after the execution of the RESET command.

## SYNC WRITE

**Function** This command is used to control several RX-64s simultaneously with one Instruction Packet transmission. When this command is used, several commands are transmitted at once, so that the communication time is reduced when multiple RX-64s are controlled. However, the SYNC WRITE command can be used only if both of the address and length of the Control Table to write is identical. Besides, ID should be transmitted as Broadcasting ID.

Generally, in the event 1 command packet is 4 byte, 26 Dynamixel can be controlled simultaneously. Make sure that the length of packet does not to exceed 143 bytes since the volume of receiving buffer of RX-64 is 143 bytes.

ID 0XFE

Length (L+1) X N + 4 (L: Data Length per RX-64, N: the number of RX-64s)

Instruction 0X83

Parameter1 Start address to write Data

Parameter2 Length of Data to write

Parameter3 First ID of RX-64

Parameter4 First data of the first RX-64

Parameter5 Second data of the first RX-64

...

Parameter L+3 Lth Data of the first RX-64

Parameter L+4 ID of the second RX-64

Parameter L+5 First data of the second RX-64

Parameter L+6 Second data of the second RX-64

...

Parameter 2L+4 Lth data of the second RX-64

#### Example 5

Moves to the following position and speed for each RX-64.

RX-64 with ID 0 : Moves to the position of 0x010 at the speed of 0x150

RX-64 with ID 1 : Moves to the position of 0x220 at the speed of 0x360

RX-64 with ID 2: Moves to the position of 0x030 at the speed of 0x170

RX-64 with ID 3: Moves to the position of 0x220 at the speed of 0x380

Instruction Packet : 0XFF 0XFF 0XFE 0X18 0X83 0X1E 0X04 0X00 0X10 0X00

0X50 0X01 0X01 0X20 0X02 0X60 0X03 0X02 0X30 0X00

0X70 0X01 0X03 0X20 0X02 0X80 0X03 0X12`

Status Packet is not returned since ID is transmitted as Broadcasting ID.

## BULK READ (This command only works for MX series)

**Function** This command is used for reading the values of several DYNAMIXELs simultaneously, by sending a single Instruction Packet. The packet length is lessened compared to sending many READ commands, and the idle time between the status packets being returned is also lessened to save communication time. But, this cannot be used to read many times on a single module, and if several of the same module ID is designated, only the firstly designated parameter will be processed.

ID 0XFE

Length 3N3+3

Instruction 0X92

Parameter1 0X00

Parameter2 Length of the data to be read from the first module [L]

Parameter3 ID of the first module

Parameter4 Starting address of the data to be read from the first module

...

**Parameter 3N+2** : Length of the data to be read from the Nth module [L]

**Parameter 3N+3** : ID of the Nth module

**Parameter 3N+4** : Starting address of the data to be read from the Nth module

**example)**

DYANMIXEL with ID 1 : Brings the goal position value (2 bytes from 0x1E).

DYNAMIXEL with ID 2 : Brings the current position value (2 bytes from 0x24).

The command packet to order this movement is as follows;

0XFF 0XFF 0XFE 0X09 0X92 0X00 0X02 0X01 0X1E 0X02 0X02 0X24 0X1D

During this time, module with ID 2 monitors the status packet being sent from ID 1 of the data bus (the very previous parameter ID), then right when module ID 1's status packet completes transmission, sends its own status packet. The returned status packet is as follows;

0XFF 0XFF 0X01 0X04 0X00 0X00 0X80 0X7A 0XFF 0XFF 0X02 0X04 0X00 0X00 0X80 0X79

Status packets from each of module ID 1 and ID 2 will come in one after another.

## Other Example

---

The following examples are assumed that ID = 1, and Baud rate = 57142 BPS.

Example 6		Reads the Model Number and Firmware Version.	
<b>Hint</b>		Instruction = READ_DATA,	Address = 0x00, Length = 0x04
<b>Communication</b>		Instruction Packet	: FF FF 01 04 02 00 03 F5 Status Packet : FF FF 01 05 00 40 00 08 B1
<b>Status Packet Result</b>		Model Number = 64 (0x40)	Firmware Version = 0x08

**Example 7**

Changes the ID of RX-64 from 1 to 0.

**Hint** Instruction = WRITE\_DATA, Address = 0x03, DATA = 0x00**Communication** Instruction Packet : FF FF 01 04 03 03 00 F4  
Status Packet : FF FF 01 02 00 FC**Status Packet Result** NO ERROR**Example 8**

Changes the Baud Rate to 1M bps.

**Hint** Instruction = WRITE\_DATA, Address = 0x04, DATA = 0x01**Communication** Instruction Packet : FF FF 01 04 03 04 01 F2  
Status Packet : FF FF 01 02 00 FC**Status Packet Result** NO ERROR**Example 9**

Resets Return Delay Time as 4usec.

**Hint** Instruction = WRITE\_DATA, Address = 0x05,  
DATA = 0x02**Communication** Instruction Packet : FF FF 01 04 03 05 02 F0  
Status Packet : FF FF 01 02 00 FC**Status Packet Result** NO ERROR

**Example 10**

Restricts the movement angle from 0 to 150°.

**Hint**

Since CCW Angle Limit 0x3FF means 300°,  
150° corresponds to 0x200.

Instruction = WRITE\_DATA, Address = 0x08,  
DATA = 0x00, 0x02

**Communication**

Instruction Packet : FF FF 01 05 03 08 00 02 EC

Status Packet : FF FF 01 02 00 FC

**Status Packet Result**

NO ERROR

**Example 11**

Resets the highest limit of operating temperature as 80°.

**Hint**

Instruction = WRITE\_DATA, Address = 0x0B,  
DATA = 0x50

**Communication**

Instruction Packet : FF FF 01 04 03 0B 50 9C

Status Packet : FF FF 01 02 00 FC

**Status Packet Result**

NO ERROR

**Example 12**

Sets the operating voltage as 10 to 17V.

**Hint**

Data of 10V is 100 (0x64) while 17V is 170 (0xAA).  
Instruction = WRITE\_DATA, Address = 0x0C,  
DATA = 0x64, 0xAA

**Communication**

Instruction Packet : FF FF 01 05 03 0C 64 AA DC

Status Packet : FF FF 01 02 00 FC

**Status Packet Result**

NO ERROR

**Example 13**

Only generates 50% of the maximum torque.

**Hint** Sets the value of MAX Torque located in the EEPROM area

as 0x1FF, which is 50% of the maximum value 0x3FF.

Instruction = WRITE\_DATA, Address = 0x0E,

DATA = 0xff, 0x01

**Communication**

Instruction Packet: FF FF 01 05 03 0E FF 01 E8

Status Packet : FF FF 01 02 00 FC

**Status Packet Result** NO ERROR

The change of Max Torque can be checked by turning the power off and then on.

**Example 15**

Sets the Alarm as such that LED flickers and shutdown (torque off) when the operating temperature is higher than the limit temperature.

**Hint** Since Overheating Error is Bit 2, set up Alarm value as 0x04. ( 0x04=00000100 )

Instruction = WRITE\_DATA, Address = 0x11,

DATA = 0x04, 0x04

**Communication**

Instruction Packet: FF FF 01 05 03 11 04 04 DD

Status Packet : FF FF 01 02 00 FC

**Status Packet Result** NO ERROR

**Example 16**

Turns on the LED and enables Torque.

**Hint** Instruction = WRITE\_DATA, Address = 0x18,  
DATA = 0x01, 0x01

**Communication** Instruction Packet: FF FF 01 05 03 18 01 01 DC  
Status Packet : FF FF 01 02 00 FC

**Status Packet Result** NO ERROR

You can check the Torque Enable state by touching the axis of Dynamixel you're your hand.

**Example 17**

Locates at the Position 180° with the speed of 57RPM.

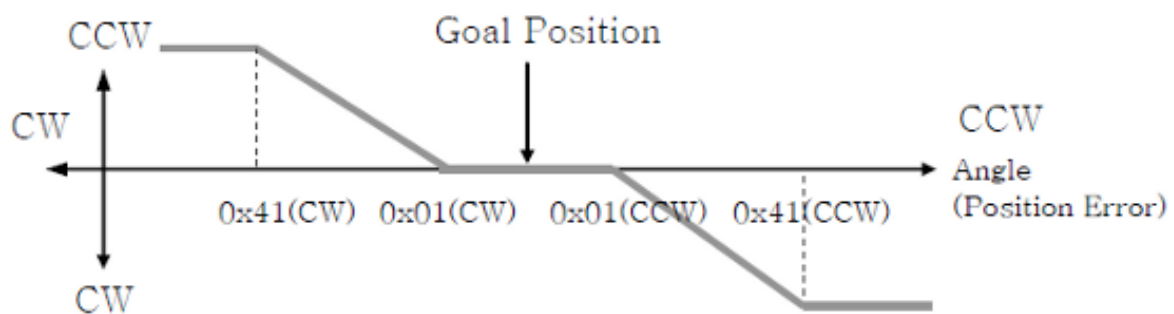
**Hint** Sets Goal Position (Address 30 (0x1E))= 512 (0x200) and  
Moving Speed (Address 0x20)= 512 (0x200).  
Instruction = WRITE\_DATA, Address = 0x1E,  
DATA = 0x00, 0x02, 0x00, 0x02

**Communication** Instruction Packet: FF FF 01 07 03 1E 00 02 00 02 D2  
Status Packet : FF FF 01 02 00 FC

**Status Packet Result** NO ERROR

**Example 18**

Sets Compliance Margin=1 and Compliance Slope=0x40.

**Hint** The suggested condition can be depicted in a graph as below.

- A: CCW Compliance Slope (Address 29 (0x1D)) = 0x40 (about 18.8°)  
 B: CCW Compliance Margin (Address 27 (0x1B)) = 0x01 (about 0.3°)  
 C: CW Compliance Margin (Address 26 (0x1A)) = 0x01 (about 0.3°)  
 D: CW Compliance Slope (Address 28 (0x1C)) = 0x40 (about 18.8°)

Instruction = WRITE\_DATA, Address = 0x1A,  
 DATA = 0x01, 0x01, 0x40, 0x40

**Communication** Instruction Packet: FF FF 01 07 03 1A 01 01 40 40 58  
 Status Packet : FF FF 01 02 00 FC

**Status Packet Result** NO ERROR

**Example 19**

Sets the minimum output Torque (Punch) as 0x40.

**Hint** Instruction = WRITE\_DATA, Address = 0x30,  
 DATA = 0x40, 0x00

**Communication** Instruction Packet : FF FF 01 05 03 30 40 00 86  
 Status Packet : FF FF 01 02 00 FC

**Status Packet Result** NO ERROR

**Example 20** Locates RX-64 with ID 0 at Position 0° and RX-64 with ID 1 at Position 300°. Start only two RX-64s at the same point.

**Hint** When the WRITE\_DATA command is used, two RX-64s cannot be started at the same point.  
Thus, REG\_WRITE and ACTION are used.  
ID=0, Instruction = REG\_WRITE, Address = 0x1E,  
DATA = 0x00, 0x00  
ID=1, Instruction = REG\_WRITE, Address = 0x1E,  
DATA = 0xff, 0x03  
ID=0xfe(Broadcasting ID), Instruction = ACTION,

**Communication** Instruction Packet: FF FF 00 05 04 1E 00 00 D8  
Status Packet : FF FF 00 02 00 FD  
Instruction Packet: FF FF 01 05 04 1E FF 03 D5  
Status Packet : FF FF 01 02 00 FC  
Instruction Packet: FF FF FE 02 05 FA (LEN:006)  
Status Packet //No return packet

**Status Packet Result** NO ERROR

**Example 21** Unable to change values except Address 24 to Address 35.

**Hint** Sest Lock ( Address 47 (0x2F) ) as 1.  
Instruction = WRITE\_DATA, Address = 0x2F,  
DATA = 0x01

**Communication** Instruction Packet : FF FF 01 04 03 2F 01 C7  
Status Packet : FF FF 01 02 00 FC

**Status Packet Result** Status Packet Result NO ERROR

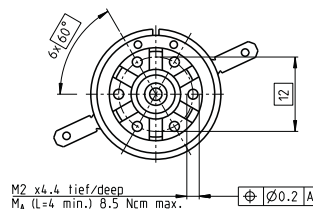
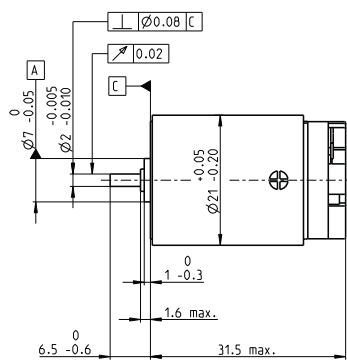
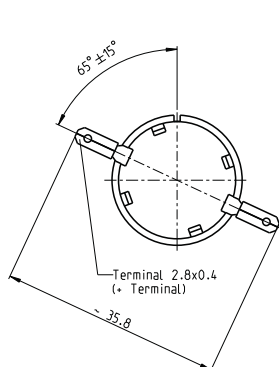
Once locked, It is impossible to unlock unless the power is off.

When other data is accessed while locked, an error is returned.

Características y parámetros físicos del motor  
Maxon RE-max 21, modelo 250002



# RE-max 21 Ø21 mm, Escobillas de grafito, 6 W



maxon RE-max

M 1:1

- Programa Stock
- Programa Estándar
- Programa Especial (previo encargo)

## Referencia

250000 250001 250002 250003 250004 250005 250006 250007 250008

## Datos del motor

		250000	250001	250002	250003	250004	250005	250006	250007	250008	
<b>Valores a tensión nominal</b>											
1	Tensión nominal	V	4	6	9	15	18	21	24	36	48
2	Velocidad en vacío	rpm	11600	9730	10200	10600	9990	9770	8930	10100	9620
3	Corriente en vacío	mA	155	84.2	59.1	37.1	28.8	24.1	18.9	14.6	10.3
4	Velocidad nominal	rpm	11000	8500	8500	8410	7830	7560	6690	7830	7320
5	Par nominal (máx. par en continuo)	mNm	1.84	3.68	5.49	6.87	6.97	6.84	6.89	6.65	6.62
6	Corriente nominal (máx. corriente en continuo)	A	0.72	0.72	0.72	0.551	0.439	0.362	0.291	0.212	0.151
7	Par de arranque	mNm	43.9	29.9	33.7	34.1	32.7	30.6	27.9	30.2	28.2
8	Corriente de arranque	A	13.6	5.19	4.07	2.56	1.93	1.52	1.11	0.9	0.602
9	Máx. rendimiento	%	79	76	77	77	77	77	76	76	76
<b>Características</b>											
10	Resistencia en bornes	Ω	0.295	1.16	2.21	5.86	9.32	13.8	21.7	40	79.7
11	Inductancia en bornes	mH	0.013	0.0411	0.0848	0.22	0.354	0.503	0.786	1.39	2.71
12	Constante de par	mNm/A	3.24	5.76	8.29	13.3	16.9	20.2	25.2	33.5	46.8
13	Constante de velocidad	rpm/V	2950	1660	1150	716	564	473	379	285	204
14	Relación velocidad/par	rpm/mNm	268	332	307	315	311	324	325	340	347
15	Constante de tiempo mecánica	ms	7.22	7.32	7.12	7.16	7.14	7.2	7.22	7.44	7.33
16	Inercia del rotor	gcm <sup>2</sup>	2.57	2.1	2.21	2.17	2.2	2.12	2.12	2.09	2.02

## Especificaciones

- Datos térmicos**
- 17 Resistencia térmica carcasa/ambiente 28 K/W
  - 18 Resistencia térmica bobinado/carcasa 8.0 K/W
  - 19 Constante de tiempo térmica del bobinado 10.5 s
  - 20 Constante de tiempo térmica del motor 501 s
  - 21 Temperatura ambiente -30...+85°C
  - 22 Máx. temperatura del bobinado +125°C

- Datos mecánicos (cojinete sinterizado)**
- 23 Máx. velocidad permitida 12000 rpm
  - 24 Juego axial 0.05 - 0.15 mm
  - 25 Juego radial 0.012 mm
  - 26 Carga axial máx. (dinámica) 1 N
  - 27 Máx. fuerza de empuje a presión (estática) 80 N
  - 28 Carga radial máx. a 5 mm de la brida 2.7 N

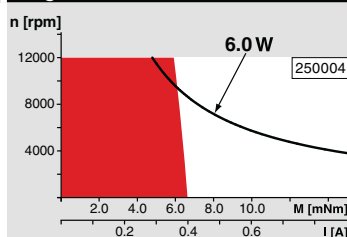
- Datos mecánicos (rodamiento a bolas)**
- 23 Máx. velocidad permitida 12000 rpm
  - 24 Juego axial 0.05 - 0.15 mm
  - 25 Juego radial 0.025 mm
  - 26 Carga axial máx. (dinámica) 3.3 N
  - 27 Máx. fuerza de empuje a presión (estática) 45 N
  - 28 Carga radial máx. a 5 mm de la brida 11.9 N

- Otras especificaciones**
- 29 Número de pares de polos 1
  - 30 Número de delgas del colector 9
  - 31 Peso del motor 42 g

Los datos de la tabla son valores nominales.  
Explicación del diagrama en página 79.

- Opción**
- Rodamientos a bolas en lugar de cojinetes sinterizados
  - Cablecillos en lugar de terminales para soldar

## Rango de funcionamiento

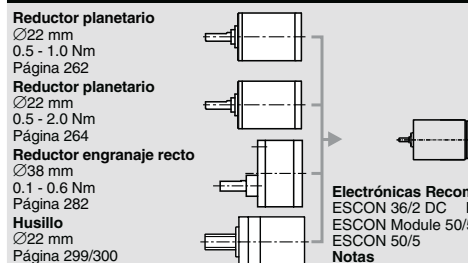


## Leyenda

- Funcionamiento continuo**  
Teniendo en cuenta los valores de resistencia térmica antes mencionados (líneas 17 y 18). El rotor alcanzará la máxima temperatura durante funcionamiento continuo a 25°C de temperatura ambiente = límite térmico.
- Funcionamiento intermitente**  
El motor puede ser sobrecargado durante cortos periodos (cíclicamente).
- Potencia nominal asignada**

## Sistema Modular maxon

Esquema general en página 20-25



- Electrónicas Recomendadas:**
- ESCON 36/2 DC Página 342
  - ESCON Module 50/5 343
  - ESCON 50/5 344
- Notas** 22



Características del codificador angular AVAGO, modelo AEAT-6012



# AEAT-6010/6012 Magnetic Encoder

## 10 or 12 bit Angular Detection Device

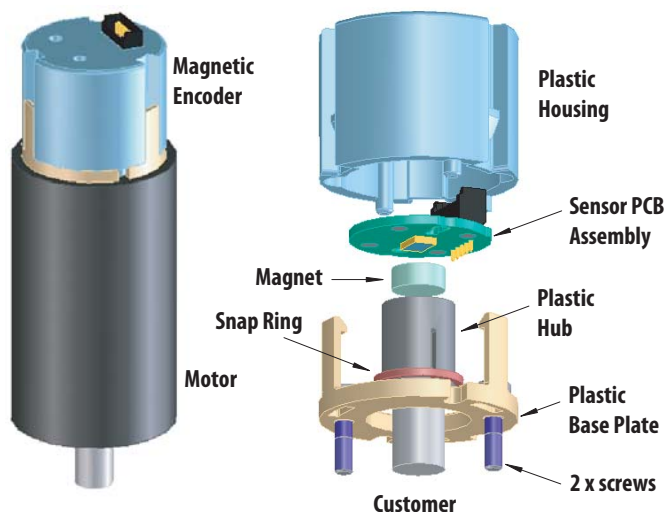


## Data Sheet

### Description

Avago Technologies' AEAT-60xx series of magnetic encoders provides an integrated solution for angular detection. With ease of use in mind, these magnetic encoders are ideal for angular detection within 360°. Based on magnetic technologies, the device is non-contact and ensures reliable operations. It is able to provide absolute angle detection upon power-up, with a resolution of 0.0879°(12 bits version) or 0.35°(10bits version), which is equivalent to 4096 and 1024 positions per revolution respectively. The positional data is provided in serial bit stream. There is no upper speed limit; the only restriction is that there will be fewer samples per revolution as the speed increases.

### Exploded View



### Features

- 10 or 12 bits resolution
- Contactless sensing technologies
- Wide temperature range from -40° to 125°C
- Absolute angular position detection
- Synchronous serial interface (SSI) output for absolute position data (binary format)
- Code monotony error =  $\pm 1$  LSB
- 5V supply
- Easy Assembly, No Signal Adjustment required
- RoHS compliant

### Applications

- Flow meter
- Angular detection
- Knob control
- Rotary encoder

Note: "This product is not specifically designed or manufactured for use in any specific device. Customers are solely responsible for determining the suitability of this product for its intended application and solely liable for all loss, damage, expense or liability in connection with such use."

## Device Selection Guide <sup>[1]</sup>

Part Number	Resolution (bit)	Operating Temperature (°C)	Output Communication	DC Supply Voltage (V), V <sub>DD</sub>
AEAT-6012-A06	12	-40 to +125	Serial	+5.0
AEAT-6010-A06	10	-40 to +125	Serial	+5.0

Notes:

- For other options of Magnetic Encoder, please refer to factory.

**Table 1. Absolute Maximum Ratings <sup>[2, 3]</sup>**

Parameter	Symbol	Limits	Units	Notes
DC Supply Voltage at pin V <sub>DD</sub> = 5V	V <sub>DD</sub>	-0.3 to + 7	V	
Input Voltage	V <sub>i</sub>	-0.3 to V <sub>DD</sub> +0.3	V	
Storage Temperature	T <sub>STG</sub>	-40 to 125	°C	

Notes:

- Stresses greater than those listed under Absolute Maximum Ratings may cause permanent damage to the device. This is stress rating only and functional operation of the device at these or any other conditions above those indicated in the operational sections of this specification is not implied.
- Exposure to absolute maximum rating conditions for extended periods may affect reliability.

**Table 2. Recommended Operating Condition**

Parameter	Symbol	Values	Units	Notes
DC Supply Voltage at pin V <sub>DD</sub> = 5V	V <sub>DD</sub>	+4.5 / +5.5	V	
Ambient Temperature	T <sub>amb</sub>	-40 to +125	°C	
Maximum Read-out Frequency	f <sub>CLK</sub>	≤1	MHz	>0 MHz

**Table 3. DC Characteristics**

DC Characteristics over Recommended Operating Range, typical at 25 °C

Parameter	Symbol	Condition	Values			Units	Notes
			Min	Typ.	Max		
VDD Supply Current	I <sub>DD</sub>			16	20	mA	
Output High Voltage D0	V <sub>OH</sub>		V <sub>DD</sub> -0.5			V	
Output Low Voltage D0	V <sub>OL</sub>				V <sub>SS</sub> +0.4	V	
Output Current D0	I <sub>O</sub>				4	mA	V <sub>DD</sub> pin = 4.5V
Input High Voltage CLK, CSn	V <sub>IH</sub>		0.7*V <sub>DD</sub>				4
Input Low Voltage CLK, CSn	V <sub>IL</sub>				0.3*V <sub>DD</sub>		

Note:

- CSn is internal pull-up.

## Package Dimensions

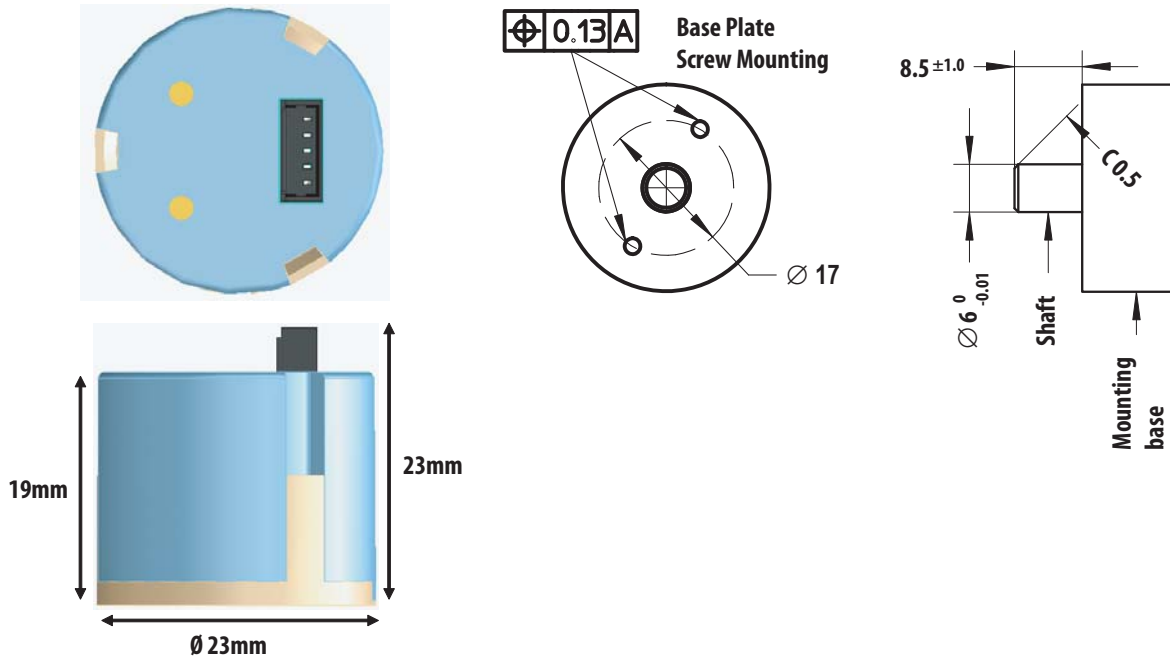


Figure 1. Package and recommended mounting dimension

## Parameters

No.	Parameter	Value
1	Operating Temp(°C)	- 40 to +125
2	Shaft axial play (mm)	± 0.08
3	Shaft TIR (mm)	0.05
4	Mechanical speed (rpm)	12,000
5	Shaft diameter (mm)	6 + 0 / -0.01
6	Moment inertia (g-cm <sup>2</sup> )	0.104
7	Shaft length – (mm)	8.5 ± 1.0
8	Mounting screw size (mm)	M2 x 0.4 x 8 (socket head cap screw, head Ø3.8 ± 0.18 mm)
9	Recommended screw torque	0.6 lb.inch
10	Encoder base plate thickness (mm)	2
11	Bolt circle	± 0.13

\* Note:- For high temperature application, it is highly recommended that adhesive be applied at least to the screw and the base plate interface. Refer Application Note for further details.

**Table 4. Timing Characteristics**

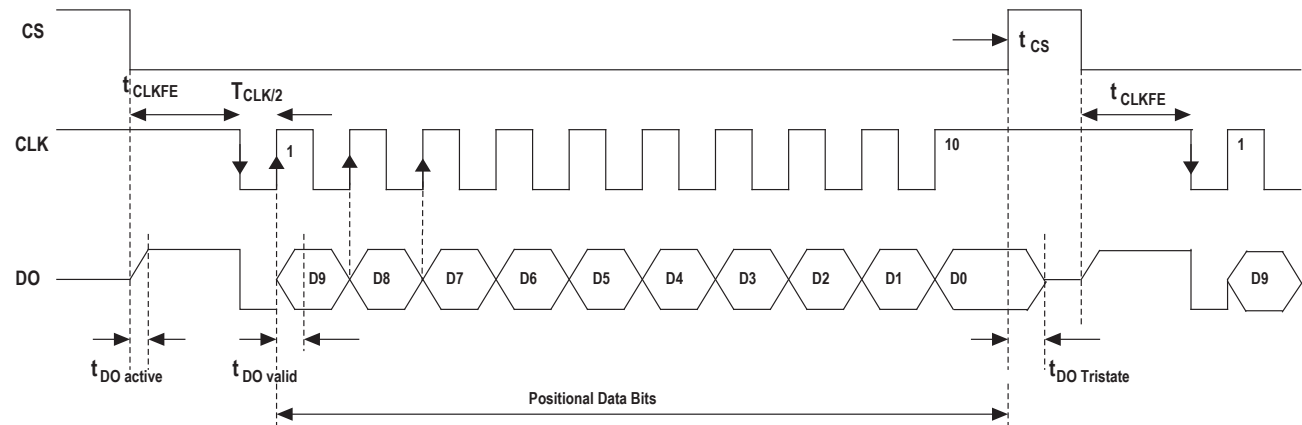
Timing Characteristics over Recommended Operating Range, typical at 25 °C

Parameter	Symbol	Condition	Values			Units	Notes
			Min	Typ.	Max		
Data output activated (logic high)	$T_{DO\ active}$				100	ns	1
First data shifted to output register	$t_{CLK\ FE}$		500			ns	2
Start of data output	$T_{CLK/2}$		500			ns	3
Data output valid	$T_{DO\ valid}$				375	ns	4
Data output tristate	$T_{DO\ tristate}$				100	ns	5
Pulse width of CSn	$T_{CSn}$		500			ns	6
Sampling rate for absolute output	$f_{abs}$		9.9	10.42	10.94	kHz	7
Power-up time	$t_{CF}$						8
10-bit version			-	-	50	ms	
12-bit version			-	-	20	ms	

Notes:

1. Time between falling edge of CSn and data output activated
2. Time between falling edge of CSn and first falling edge of CLK
3. Rising edge of CLK shifts out one bit a time
4. Time between rising edge of CLK and data output valid
5. After the last bit DO changes back to “tristate”
6. CSn=high; To initiate read-out of next angular position
7. Internal sampling rate.
8. Until internal compensation finished

**Timing Characteristics**



Notes:

1. Please refer to Table 4 for Timing Characteristics.
2. For 12 bits version; the Positional Data Bits will start with D11 instead and end at D0.

**Figure 2. Timing Diagram for 10 bit Magnetic Encoder**

**Table 5. Linearity**

Parameter	Symbol	Min.	Typ.	Max	Units	Notes
Integral Non-Linearity	INL	-	$\pm 0.8$ [1]	$\pm 2.4$ [2]	Deg.	
Differential Non-Linearity						
10-bit version	DNL	-	-	$\pm 0.176$	Deg.	No missing codes
12-bit version		-	-	$\pm 0.044$	Deg.	No missing codes

Notes:

1. Average value at typical operating and mounting conditions.
2. Maximum value over recommended operating range and over radial & axial mounting tolerances.

## Linearity Definitions

### Integral non-linearity

Integral non-linearity (INL) is the maximum deviation between actual angular position and the position indicated by the encoder's output count, over one revolution. It is defined as the most positive linearity error +INL or the most negative linearity error -INL from the best fit line, whichever is larger.

### Differential non-linearity

Differential non-linearity (DNL) is the maximum deviation of the step length from one position to the next.

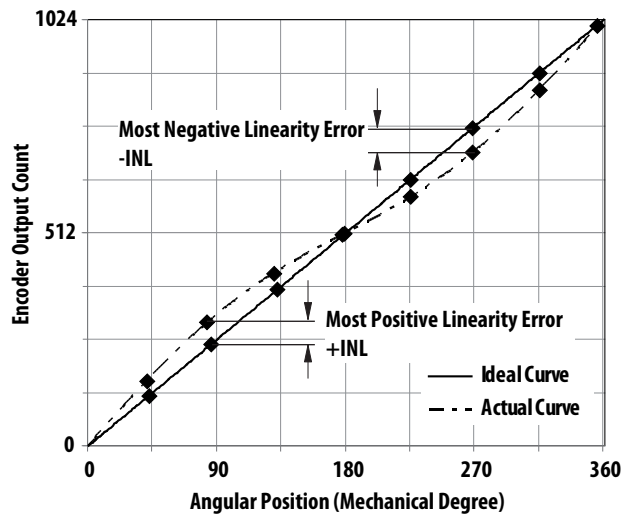


Figure 3. Integral non-linearity

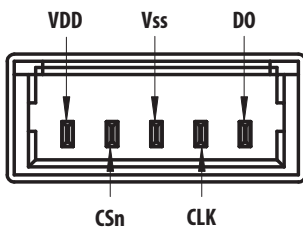
**Table 6. Environmental Specifications**

Parameter	Reference Standard	Test Conditions	Level
<b>Electromagnetic Compatibility (EMC) [1]</b>			
Electrostatic discharge (ESD) immunity	IEC/EN 61000-4-2	8kV	
Power frequency magnetic field immunity	IEC/EN 61000-4-8	30 A/m (continuous field) 300 A/m (short duration field)	Level 4
Pulse magnetic field immunity	IEC/EN 61000-4-97	1000 A/m	Level 5
Damped oscillatory magnetic field immunity	IEC/EN 61000-4-10	100 A/m	Level 5
<b>Mechanical Durability</b>			
Vibration (Operating)	IEC/EN 60068-2-6	10-500Hz at 5G	
Shock	IEC/EN 60068-2-27	6ms at 200G	

Notes:

1. Suitable for applications in Industrial Environment Class 4.

## Electrical Connections



Pin	Symbol	Description
1	VDD	5V Supply Voltage
2	CSn	Chip Select - Input (See Figure 2)
3	VSS	Supply Ground
4	CLK	Serial Clock - Input (See Figure 2)
5	DO	Serial Data - Output. (See Figure 2)

Figure 4. Electrical Connections

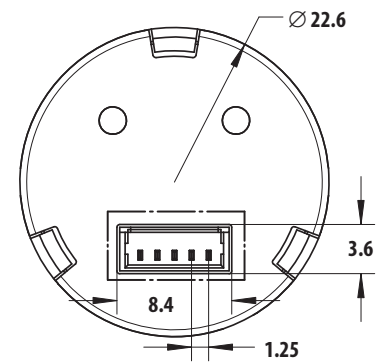


Figure 5. Basic connector dimensions

## Alignment Tool Set - Part number HEDS-8934

This optional alignment tool set consists of a gap setting plate and a centering jig. Refer to Application Note 5317 for the assembly guide.

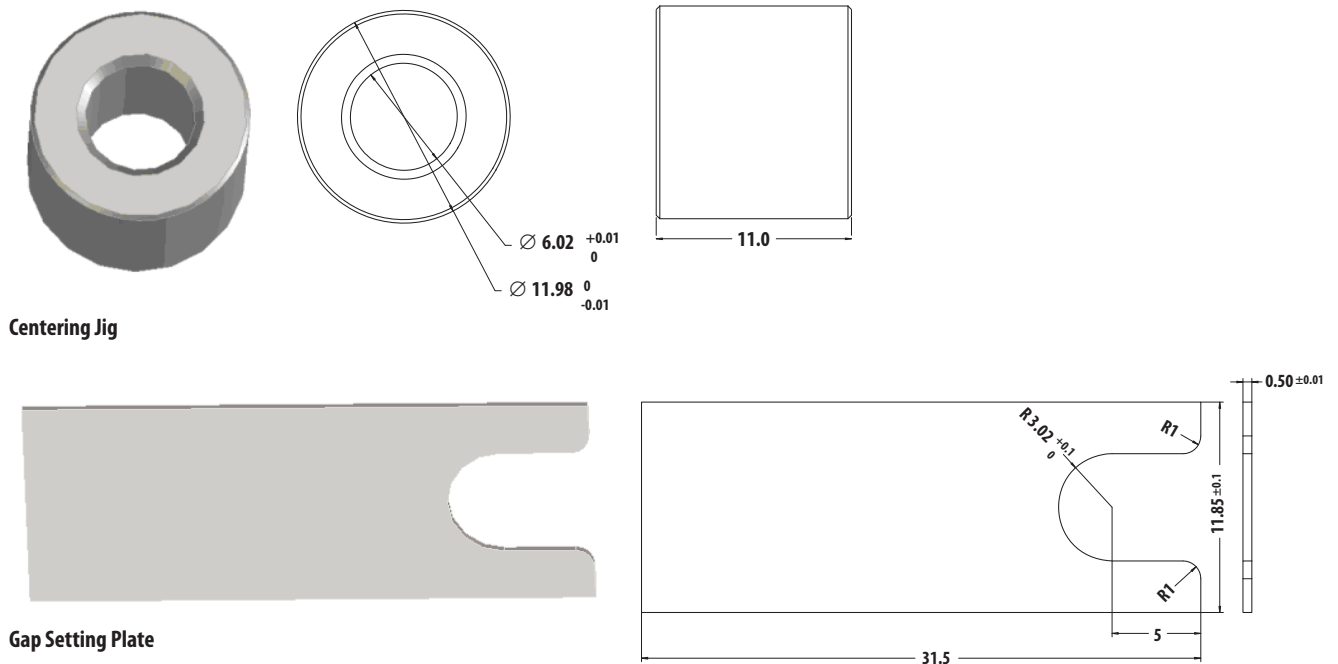
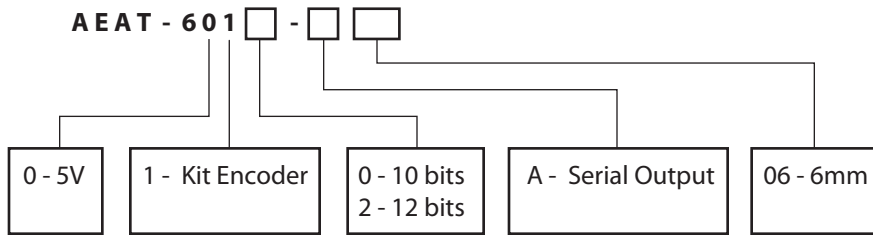


Figure 6. Alignment tool set and recommended dimensions

## Ordering Information



For product information and a complete list of distributors, please go to our web site: [www.avagotech.com](http://www.avagotech.com)

Avago, Avago Technologies, and the A logo are trademarks of Avago Technologies in the United States and other countries. Data subject to change. Copyright © 2005-2011 Avago Technologies. All rights reserved.  
AV02-0188EN - August 12, 2011

**Avago**  
TECHNOLOGIES



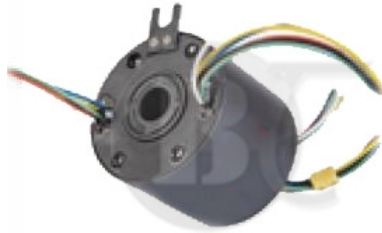
Características del conector rotativo BTH1256  
de la marca ByTune Electronics



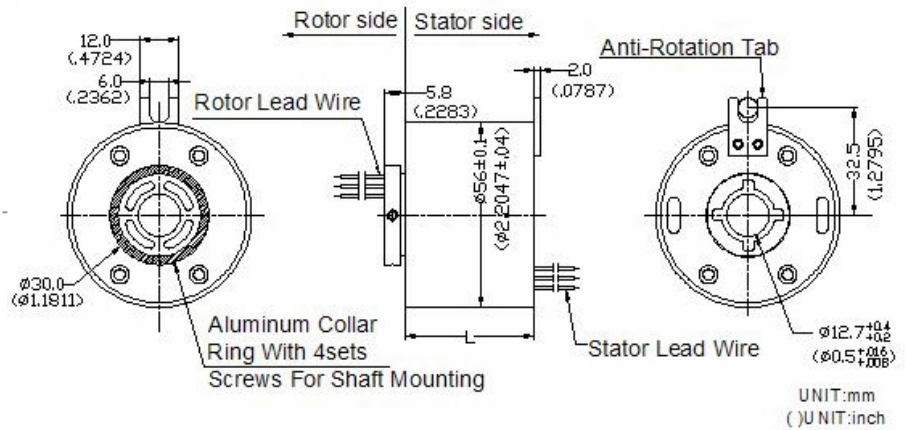


## Through hole slip ring---BTH1256

Picture



Drawing



Parameters:

### Mechanical :

Working speed	1000rpm
Operating temperature	-40°C ~ +100°C
Contact material	Precious metal
IP Grade	IP 54

### Electrical:

Circuit	6 ,12,18,24
Current	5A,10A ,15A,20A or combined rings to get higher current
Voltage	$\leq 380V, 600V$ optional
Dielectric strength	$\geq 1000V@50Hz$ between each circuit
Insulation resistance	$1000M\Omega@ 500VDC$
Electric noise	$\leq 7m\Omega$
Lead wire size	22AWG, 17AWG,UL, color Teflon, silver or tin plated
Lead wire length	200mm

### Critical Dimension:

Model	Length "L"				
	Current	Formula (A means No. of ring)	6 circuits	12 circuits	18circuits
BTH1256	2A/5A	$20+2.3 \times A$	33.8mm	47.6mm	61.4mm
	10A	$20+2.8 \times A$	37.8mm	53.6mm	70.4mm
	15A/20A	$20+3.8 \times A$	42.8mm	65.6mm	88.4mm

*Customization is available, OEM&ODM is welcome!*

*Further information , please feel free to contact our sales.*



Características de la memoria externa SPI SRAM de 512 kbits,  
modelo 23LCV512, de Microchip Technology Inc.

Sólo se incluyen las características principales.

El manual completo se puede descargar de <http://goo.gl/0azS2F>.



## 512 Kbit SPI Serial SRAM with Battery Backup and SDI Interface

### Device Selection Table

Part Number	Vcc Range	Dual I/O (SDI)	Battery Backup	Max. Clock Frequency	Packages
23LCV512	2.5-5.5V	Yes	Yes	20 MHz	SN, ST, P

### Features:

- SPI-Compatible Bus Interface:
  - 20 MHz Clock rate
  - SPI/SDI mode
- Low-Power CMOS Technology:
  - Read Current: 3 mA at 5.5V, 20 MHz
  - Standby Current: 4  $\mu$ A at +85°C
- Unlimited Read and Write Cycles
- External Battery Backup support
- Zero Write Time
- 64K x 8-bit Organization:
  - 32-byte page
- Byte, Page and Sequential mode for Reads and Writes
- High Reliability
- Temperature Range Supported:
  - Industrial (I): -40°C to +85°C
- Pb-Free and RoHS Compliant, Halogen Free.
- 8-Lead SOIC, TSSOP and PDIP Packages

### Description:

The Microchip Technology Inc. 23LCV512 is a 512 Kbit Serial SRAM device. The memory is accessed via a simple Serial Peripheral Interface (SPI) compatible serial bus. The bus signals required are a clock input (SCK) plus separate data in (SI) and data out (SO) lines. Access to the device is controlled through a Chip Select (CS) input. Additionally, SDI (Serial Dual Interface) is supported if your application needs faster data rates.

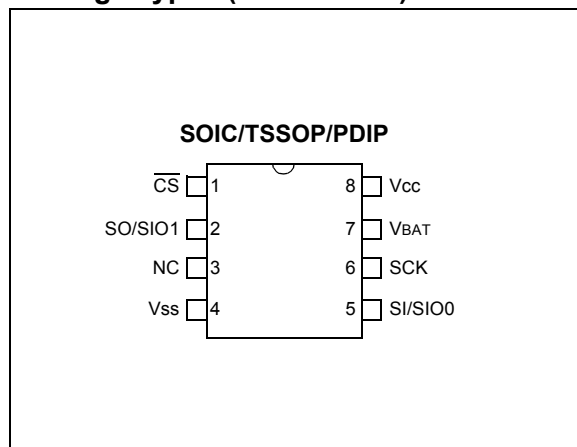
This device also supports unlimited reads and writes to the memory array, and supports data backup via external battery/coin cell connected to VBAT (pin 7).

The 23LCV512 is available in standard packages including 8-lead SOIC, PDIP and advanced 8-lead TSSOP.

### Pin Function Table

Name	Function
$\overline{\text{CS}}$	Chip Select Input
SO/SIO1	Serial Output/SDI pin
Vss	Ground
SI/SIO0	Serial Input/SDI pin
SCK	Serial Clock
VBAT	External Backup Supply Input
Vcc	Power Supply

### Package Types (not to scale)



## 2.0 FUNCTIONAL DESCRIPTION

### 2.1 Principles of Operation

The 23LCV512 is an 512 Kbit Serial SRAM designed to interface directly with the Serial Peripheral Interface (SPI) port of many of today's popular microcontroller families, including Microchip's PIC® microcontrollers. It may also interface with microcontrollers that do not have a built-in SPI port by using discrete I/O lines programmed properly in firmware to match the SPI protocol. In addition, the 23LCV512 is also capable of operating in SDI (or dual SPI) mode.

The 23LCV512 contains an 8-bit instruction register. The device is accessed via the SI pin, with data being clocked in on the rising edge of SCK. The  $\overline{CS}$  pin must be low for the entire operation.

Table 2-1 contains a list of the possible instruction bytes and format for device operation. All instructions, addresses and data are transferred MSB first, LSB last.

### 2.2 Modes of Operation

The 23LCV512 has three modes of operation that are selected by setting bits 7 and 6 in the MODE register. The modes of operation are Byte, Page and Burst.

**Byte Operation** – is selected when bits 7 and 6 in the MODE register are set to 00. In this mode, the read/write operations are limited to only one byte. The command followed by the 16-bit address is clocked into the device and the data to/from the device is transferred on the next eight clocks (Figure 2-1, Figure 2-2).

**Page Operation** – is selected when bits 7 and 6 in the MODE register are set to 10. The 23LCV512 has 2048 pages of 32 bytes. In this mode, the read and write operations are limited to within the addressed page (the address is automatically incremented internally). If the data being read or written reaches the page boundary, then the internal address counter will increment to the start of the page (Figure 2-3, Figure 2-4).

**Sequential Operation** – is selected when bits 7 and 6 in the MODE register are set to 01. Sequential operation allows the entire array to be written to and read from. The internal address counter is automatically incremented and page boundaries are ignored. When the internal address counter reaches the end of the array, the address counter will roll over to 0x0000 (Figure 2-5, Figure 2-6).

### 2.3 Read Sequence

The device is selected by pulling  $\overline{CS}$  low. The 8-bit READ instruction is transmitted to the 23LCV512 followed by the 16-bit address. After the correct READ instruction and address are sent, the data stored in the memory at the selected address is shifted out on the SO pin.

If operating in Sequential mode, the data stored in the memory at the next address can be read sequentially by continuing to provide clock pulses. The internal Address Pointer is automatically incremented to the next higher address after each byte of data is shifted out. When the highest address is reached (FFFFh), the address counter rolls over to address 0000h, allowing the read cycle to be continued indefinitely. The read operation is terminated by raising the  $\overline{CS}$  pin.

### 2.4 Write Sequence

Prior to any attempt to write data to the 23LCV512, the device must be selected by bringing  $\overline{CS}$  low.

Once the device is selected, the Write command can be started by issuing a WRITE instruction, followed by the 16-bit address, and then the data to be written. A write is terminated by the  $\overline{CS}$  being brought high.

If operating in Page mode, after the initial data byte is shifted in, additional bytes can be shifted into the device. The Address Pointer is automatically incremented. This operation can continue for the entire page (32 bytes) before data will start to be overwritten.

If operating in Sequential mode, after the initial data byte is shifted in, additional bytes can be clocked into the device. The internal Address Pointer is automatically incremented. When the Address Pointer reaches the highest address (FFFFh), the address counter rolls over to (0000h). This allows the operation to continue indefinitely, however, previous data will be overwritten.

# 23LCV512

## 3.0 PIN DESCRIPTIONS

The descriptions of the pins are listed in [Table 3-1](#).

**TABLE 3-1: PIN FUNCTION TABLE**

Name	SOIC/ PDIP TSSOP	Function
$\overline{\text{CS}}$	1	Chip Select Input
SO/SIO1	2	Serial Data Output/SDI Pin
NC	3	No Connect
Vss	4	Ground
SI/SIO0	5	Serial Data Input/SDI Pin
SCK	6	Serial Clock Input
VBAT	7	External Backup Supply
Vcc	8	Power Supply

### 3.1 Chip Select ( $\overline{\text{CS}}$ )

A low level on this pin selects the device. A high level deselects the device and forces it into Standby mode. When the device is deselected, SO goes to the high-impedance state, allowing multiple parts to share the same SPI bus. After power-up, a low level on  $\overline{\text{CS}}$  is required, prior to any sequence being initiated.

### 3.2 Serial Output (SO)

The SO pin is used to transfer data out of the 23LCV512. During a read cycle, data is shifted out on this pin after the falling edge of the serial clock.

### 3.3 Serial Input (SI)

The SI pin is used to transfer data into the device. It receives instructions, addresses, and data. Data is latched on the rising edge of the serial clock.

### 3.4 Serial Dual Interface Pins(SIO0, SIO1)

The SIO0 and SIO1 pins are used for SDI mode of operation. Functionality of these I/O pins is shared with SO and SI.

### 3.5 Serial Clock (SCK)

The SCK is used to synchronize the communication between a master and the 23LCV512. Instructions, addresses or data present on the SI pin are latched on the rising edge of the clock input, while data on the SO pin is updated after the falling edge of the clock input.

### 3.6 VBAT supply Input

The VBAT pin is used as an input for external backup supply to maintain SRAM data when VCC is below the VTRIP point. If the VBAT function is not being used, it is recommended to connect this pin to VSS.

### 3.7 SPI and SDI Pin Designations

